

Projections démographiques nationales

Étude actuarielle n° 4

Mai 2005



Bureau du surintendant des
institutions financières Canada

Office of the Superintendent of
Financial Institutions Canada

Bureau de l'actuaire en chef

Office of the Chief Actuary

Canada

Bureau de l'actuaire en chef
Bureau du surintendant des institutions financières Canada
16^e étage, Immeuble Carré Kent
255, rue Albert
Ottawa (Ontario)
K1A 0H2

Télécopieur : (613) 990-9900
Courriel : oca-bac@osfi-bsif.gc.ca

Vous pouvez vous procurer une copie électronique de ce rapport
sur notre site Web, à l'adresse www.osfi-bsif.gc.ca

TABLE DES MATIÈRES

	Page
I. Sommaire	7
A. But de l'étude.....	7
B. Principales observations.....	7
C. Conclusions générales.....	10
II. Introduction	11
A. But.....	11
B. Portée.....	11
III. Résultats	12
A. Taille de la population	12
B. Fécondité, mortalité et migration.....	14
C. Structure par âge	17
IV. Hypothèses basées sur la meilleure estimation	24
V. Population initiale	24
VI. Taux de fécondité	25
A. Taux de fécondité selon le groupe d'âge et selon la cohorte	25
B. Sexe à la naissance.....	29
VII. Mortalité	30
A. Évolution historique de l'espérance de vie	30
B. Améliorations futures des taux de mortalité selon l'âge.....	31
C. Espérance de vie	33
D. Comparaison des indicateurs du vieillissement entre les pays du G-8	42
VIII. Migration	45
A. Immigration et émigration	45
B. Hypothèses de migration à court et à long terme.....	45
C. Répartition selon l'âge et le sexe	47
IX. Analyses de sensibilité	51
A. Fécondité.....	51
B. Mortalité.....	55
C. Migration.....	61
X. Annexes	67
A. Méthodologie	67
B. Population du Canada projetée selon l'âge et le sexe, 2003-2075.....	68
C. Accès aux données.....	69
D. Bibliographie.....	70
E. Remerciements.....	70

LISTE DES TABLEAUX

	Page
Tableau 1	Population du Canada selon le sexe..... 12
Tableau 2	Indice synthétique de fécondité par femme et âge moyen à la maternité 14
Tableau 3	Espérance de vie à la naissance et âge moyen au décès 15
Tableau 4	Migration nette selon l'âge et le sexe 16
Tableau 5	Proportions de migration nette selon l'âge et le sexe 16
Tableau 6	Composantes de la croissance démographique..... 17
Tableau 7	Population masculine du Canada selon le groupe d'âge..... 19
Tableau 8	Population féminine du Canada selon le groupe d'âge..... 19
Tableau 9	Population totale du Canada selon le groupe d'âge 20
Tableau 10	Proportions de la population totale du Canada selon le groupe d'âge..... 20
Tableau 11	Hypothèses démographiques basées sur la meilleure estimation 24
Tableau 12	Taux de fécondité selon le groupe d'âge, l'année civile et la cohorte..... 27
Tableau 13	Taux de fécondité selon le groupe d'âge et l'année de naissance de la mère, selon la cohorte 27
Tableau 14	Amélioration annuelle des taux de mortalité 32
Tableau 15	Taux de mortalité 32
Tableau 16	Espérances de vie, sans améliorations après l'année indiquée 34
Tableau 17	Espérances de vie, avec améliorations après l'année indiquée..... 34
Tableau 18	Population atteignant des âges plus avancés, nombre et proportions 40
Tableau 19	Répartition des décès selon le groupe d'âge, nombre et proportions 41
Tableau 20	Âge moyen au décès 41
Tableau 21	Évolution de la fourchette d'âge dans laquelle un pourcentage donné de décès est prévu..... 41
Tableau 22	Comparaison des indicateurs du vieillissement entre les pays du G-8 44
Tableau 23	Évolution de la migration selon la composante 47
Tableau 24	Migration nette selon le sexe 50
Tableau 25	Indice synthétique de fécondité et âge moyen à la maternité sous diverses hypothèses de fécondité 52
Tableau 26	Population par groupe d'âge (en milliers) et proportions relatives sous diverses hypothèses de fécondité..... 53
Tableau 27	Ratios de dépendance sous diverses hypothèses de fécondité..... 55
Tableau 28	Espérances de vie sous diverses hypothèses de mortalité sans améliorations après l'année indiquée 56
Tableau 29	Espérances de vie sous diverses hypothèses de mortalité avec améliorations après l'année indiquée 57
Tableau 30	Population selon l'âge (en milliers) et proportions relatives sous diverses hypothèses de mortalité..... 59
Tableau 31	Ratios de dépendance sous diverses hypothèses de mortalité 61
Tableau 32	Migration nette sous diverses hypothèses de migration 62
Tableau 33	Population selon le groupe d'âge (en milliers) et proportions relatives sous diverses hypothèses de migration 64
Tableau 34	Ratios de dépendances sous diverses hypothèses de migration..... 66

LISTE DES GRAPHIQUES

	Page
Graphique 1 Population du Canada	13
Graphique 2 Structure par âge de la population canadienne	13
Graphique 3 Répartition de la population selon l'âge	21
Graphique 4 Ratios de dépendance.....	22
Graphique 5 Ratio des personnes quittant le marché du travail (60 à 64 ans) à ceux y entrant (20 à 24 ans)	23
Graphique 6 Répartition de la population âgée de 60 ans et plus.....	23
Graphique 7 Indice synthétique de fécondité et taux de fécondité selon la cohorte.....	28
Graphique 8 Âge moyen à la maternité	29
Graphique 9 Évolution historique de l'espérance de vie à la naissance	30
Graphique 10 Évolution historique de l'espérance de vie à 65 ans	31
Graphique 11 Espérance de vie à la naissance	35
Graphique 12 Espérance de vie à 65 ans	35
Graphique 13 Contribution à l'augmentation de l'espérance de vie à la naissance	36
Graphique 14 Courbes de survie à la naissance.....	38
Graphique 15 Courbes de survie à 65 ans.....	39
Graphique 16 Évolution de la migration.....	46
Graphique 17 Évolution de la migration en pourcentage de la population	46
Graphique 18 Répartition des migrants nets selon l'âge et le sexe en 2003.....	48
Graphique 19 Répartition des migrants nets selon l'âge	49
Graphique 20 Structure par âge de la population sous diverses hypothèses de fécondité.....	54
Graphique 21 Espérance de vie à la naissance sous diverses hypothèses de mortalité sans améliorations après l'année indiquée.....	58
Graphique 22 Structure par âge de la population sous diverses hypothèses de mortalité	60
Graphique 23 Migration nette selon l'âge sous diverses hypothèses de migration	62
Graphique 24 Structure par âge de la population sous diverses hypothèses de migration	65

I. Sommaire

A. But de l'étude

Ceci est la première étude réalisée par le Bureau de l'actuaire en chef (BAC) sur des projections démographiques nationales pour le Canada. Cette étude vise principalement à estimer la taille et la composition de la population canadienne dans les années à venir. Plus précisément, les projections fournissent des estimations à long terme sur le nombre de naissances, de décès, d'immigrants et d'émigrants, ainsi que sur la composition de la population canadienne selon l'âge et le sexe.

L'étude examine également la sensibilité de l'évolution future de la population à certaines hypothèses clés. Elle compare plusieurs indicateurs clés du vieillissement entre le Canada et les autres pays du G-8 (la France, l'Italie, l'Allemagne, le Japon, la Russie, le Royaume-Uni et les États-Unis).

B. Principales observations

La présente étude fournit des projections de la population canadienne à partir des données du Recensement de 2001 en utilisant les mêmes hypothèses « basées sur la meilleure estimation » que le 21^e rapport actuariel sur le Régime de pensions du Canada au 31 décembre 2003.

Taille et vieillissement de la population

- ♦ La population du Canada devrait augmenter, passant de 31,6 millions en 2003 à 44,3 millions en 2075. En 2003, il y avait 15,6 millions d'hommes et 16,0 millions de femmes. En 2075, le nombre d'hommes devrait atteindre 21,9 millions et le nombre de femmes, 22,4 millions.
- ♦ L'âge moyen de la population en 2003 était de 37,6 ans et l'âge médian, 37,9 ans. En 2030, l'âge moyen et l'âge médian devraient atteindre 43,1 et 43,9 ans respectivement. Ces âges devraient augmenter légèrement pour s'établir respectivement à 44,8 et 45,4 ans d'ici 2075.
- ♦ La population continuera d'augmenter, mais moins rapidement en raison de la faiblesse prévue des taux de fécondité. La population vieillira également au fil du temps en raison d'une faible fécondité, d'une espérance de vie plus élevée et du vieillissement de la génération du baby-boom.
- ♦ En 2003, la proportion de la population âgée de 65 ans et plus représentaient 12,8 % (4,1 millions de personnes). En 2030, lorsque la plupart des membres de la génération du baby-boom auront pris leur retraite, cette proportion devrait atteindre 23,0 % (8,9 millions). Chez les 80 ans et plus, la proportion croîtra, passant de 3,3 % (1,0 million) à 5,9 % (2,3 millions) au cours de cette même période.
- ♦ À mesure que la population vieillira, la dépendance à l'égard de la population en âge de travailler (les 20 à 64 ans) augmentera. En 2003, le ratio des jeunes (0 à 19 ans) et des retraités (65 ans et plus) à la population en âge de travailler

s'établissait à 61 jeunes et retraités par 100 travailleurs. Ce ratio de dépendance total devrait grimper à 78 jeunes et retraités par 100 travailleurs en 2030.

Fécondité

- ♦ L'indice synthétique de fécondité est en baisse depuis la fin des années 50. En 1959, il s'établissait à 3,9 enfants par femme. Il a augmenté quelque peu au début des années 90 pour s'établir à 1,7 avant de recommencer à diminuer. En 2001, l'indice synthétique de fécondité était de 1,5. Il est prévu qu'il augmentera de façon modérée pour atteindre un niveau ultime de 1,6 en 2016, surtout parce que les femmes continuent d'avoir des enfants à des âges plus avancés.
- ♦ L'âge moyen à la maternité augmente depuis le milieu des années 70 après une période de déclin amorcée au milieu des années 40. Il est prévu que cet âge continuera de progresser pour atteindre 29,4 ans en 2016. Les périodes d'étude prolongées, l'accroissement des taux d'activité des femmes et le report des mariages devraient inciter les femmes à avoir des enfants à un âge plus avancé.
- ♦ Le nombre de naissances devrait augmenter, passant de 333 000 en 2003 à 413 000 en 2075.
- ♦ Le ratio des garçons aux filles à la naissance devrait se maintenir à 1,056 ce qui reflète l'expérience des 25 dernières années.

Mortalité

- ♦ L'espérance de vie a fait d'énormes progrès au cours du XX^e siècle. Ces gains sont principalement attribuables à une réduction marquée de la mortalité infantile par suite des campagnes de vaccination, à d'autres interventions d'ordre médical, à de meilleures conditions sanitaires et à une qualité de vie améliorée.
- ♦ D'autres progrès de l'espérance de vie sont prévus, mais à un rythme plus lent qu'auparavant. Puisque les jeunes ont déjà profité d'une bonne partie des progrès de l'espérance de vie qui les toucheront, d'autres augmentations de la longévité devront survenir à des âges plus avancés. Cela constituera un défi puisque les maladies qui affligent les aînés et le processus de vieillissement lui-même suscitent encore beaucoup de questions.
- ♦ En 2003, les garçons et les filles pourront compter sur une espérance de vie à la naissance de 83 et 86 ans respectivement. En 2075, l'espérance de vie à la naissance devrait atteindre 87 ans pour les hommes et 90 ans pour les femmes.
- ♦ L'écart entre l'espérance de vie des femmes et celle des hommes à la naissance devrait continuer de diminuer en accord avec la tendance des dernières décennies, mais à un rythme plus lent. Entre 2003 et 2075, cet écart devrait passer de 3,3 à 2,9 ans.

- ♦ La probabilité qu'un nouveau-né atteigne au moins l'âge de la retraite (65 ans) devrait croître. Elle devrait passer de 85 % en 2003 à 93 % en 2075 pour les hommes, et de 91 à 95 % pour les femmes au cours de cette même période.
- ♦ La population plus âgée devrait également vivre plus longtemps, avec l'écart entre les sexes diminuant au fil du temps. En 2025, les hommes et les femmes de 65 ans pourraient s'attendre à vivre encore 19,6 et 22,3 ans respectivement. À 65 ans, la probabilité d'atteindre l'âge de 85 ans devrait progresser, passant de 40 à 57 % pour les hommes et de 56 % à 69 % pour les femmes entre 2003 et 2075.
- ♦ Le nombre de décès devrait augmenter, passant de 225 000 en 2003 à 530 000 en 2075.

Migration

- ♦ Traditionnellement, l'immigration et l'émigration sont volatiles. Les données historiques font état de la volatilité de l'immigration et de l'émigration puisqu'elles sont largement tributaires de nombreux facteurs comme les décisions politiques, l'économie et les attitudes sociales. Toutefois, les données historiques montrent des niveaux relativement élevés comparativement à l'ensemble de la population.
- ♦ Le taux de migration nette devrait s'établir à 0,50 % de la population entre 2004 et 2015 pour ensuite augmenter progressivement pour atteindre 0,54 % de la population en 2020. Il est prévu que l'augmentation du nombre net de migrants passe de 158 000 en 2003 à 196 000 en 2020, puis à 239 000 en 2075.
- ♦ Selon les données historiques, les immigrants sont relativement jeunes par rapport à l'ensemble de la population, et cette tendance devrait se maintenir. En 2003, 79 % des immigrants et 80 % des immigrantes avaient moins de 40 ans, tandis que les immigrants de 55 ans et plus ne représentaient que 7 % de l'ensemble des immigrants.
- ♦ Les données historiques montrent que les émigrants sont également relativement jeunes, quoique légèrement plus âgés que les immigrants. En 2003, 69 % des émigrants nets (c.-à-d. émigrants moins ceux qui sont revenus) avaient moins de 40 ans.
- ♦ Il est prévu que les migrants nets ou, plus simplement, les « migrants », (c.-à-d. le nombre d'immigrants moins celui des émigrants nets), devraient être relativement jeunes, la majorité d'entre eux ayant moins de 40 ans. Il est aussi prévu qu'une forte proportion de ces migrants âgés de moins de 40 ans, aura soit entre 20 et 39 ans, et moins de 10 ans, comme dans le passé.
- ♦ Selon les données historiques, l'âge moyen des trois groupes migratoires est inférieur à celui de l'ensemble de la population. En 2003, l'âge moyen des immigrants, des émigrants nets et des migrants nets étaient de 28,3, de 33,0 et de 26,5 ans respectivement. Cette même année, l'âge moyen de la population générale était de 37,6 ans.

C. Conclusions générales

La population canadienne continuera d'augmenter, mais plus lentement qu'auparavant. Elle devrait aussi vieillir au fil du temps. Des taux de fécondité faibles, une espérance de vie accrue et le vieillissement de la génération du baby-boom contribueront au ralentissement de la croissance démographique et au vieillissement de la population.

Les taux de fécondité ont chuté avec la prévalence des méthodes de contraception, l'allongement des périodes d'études, l'accroissement des taux d'activité des femmes et le report des mariages. Il est peu probable que l'on retrouve, à court ou à long terme, les taux de fécondité observés à la fin des années 50.

L'espérance de vie a grandement progressé au XX^e siècle. La majeure partie des gains a été réalisée à des âges plus jeunes avec l'introduction de vaccins, l'amélioration des interventions de nature médicale et des conditions sanitaires et une progression générale de la qualité de vie. C'est ainsi que tout accroissement appréciable de l'espérance de vie devra être réalisé à des âges plus avancés alors que les maladies qui touchent les aînés et le processus de vieillissement lui-même suscitent encore beaucoup de questions. Cependant, l'incidence croissante de l'obésité chez les enfants et les adultes et la détérioration de la santé qui s'ensuit, de même que l'émergence de formes plus virulentes de maladies infectieuses à l'échelle planétaire, pourraient tempérer l'amélioration projetée de l'espérance de vie.

Le niveau de migration se répercute sur le vieillissement de la population. Puisque les migrants sont relativement plus jeunes que la population générale, les niveaux accrus de migration atténuent l'ampleur de ce vieillissement. Inversement, de faibles niveaux de migration accélèrent le vieillissement de la population. Cependant, l'impact de niveaux élevés ou faibles de migration sur le vieillissement de la population peut être plus marqué que les changements des taux de fécondité ou de mortalité.

Les membres de la génération du baby-boom devraient continuer d'avoir un impact significatif sur la population, des pénuries de main-d'œuvre étant anticipées au cours des prochaines décennies. La plupart des membres de ce groupe prendront leur retraite d'ici 2030, les proportions de personnes plus âgées au sein de la population augmenteront de façon notable.

Le Canada ne sera pas seul à constater ces changements démographiques au cours des années à venir. Les autres pays du G-8 devraient également être confrontés à des défis socioéconomiques semblables à mesure que les taux de croissance de leur population diminuera et que leur population vieillira.

II. Introduction

A. But

Cette étude donne un aperçu de la population historique et projetée du Canada et fournit des résultats plus détaillés sur les projections que ceux figurant dans le 21^e rapport actuariel sur le Régime de pensions du Canada au 31 décembre 2003 (le « 21^e rapport sur le RPC »). Chaque composante de l'évolution de la population, c'est-à-dire la fécondité, la mortalité et la migration, est discutée de façon plus détaillée. L'étude présente également des analyses de sensibilité visant la mortalité et la migration différentes de celles du 21^e rapport sur le RPC afin d'examiner les effets de divers scénarios futurs possibles sur la population. De plus, une comparaison d'indicateurs clés du vieillissement entre les pays du G-8 (le Canada, la France, l'Allemagne, l'Italie, le Japon, la Russie, le Royaume-Uni et les États-Unis) est effectuée afin d'examiner l'impact potentiel du vieillissement dans ces pays.

La présente étude pourrait servir aux démographes et aux actuaires qui s'intéressent aux projections démographiques.

B. Portée

Les projections présentées dans cette étude reposent sur les données du Recensement de 2001 et sur les hypothèses « basées sur la meilleure estimation » utilisées dans le 21^e rapport sur le RPC. Ces hypothèses reflètent l'application de notre meilleur jugement quant à la taille future de la population canadienne et à sa répartition selon l'âge et le sexe. Les projections de notre étude couvrent une période de 72 ans comprise entre 2004 et 2075 et insistent davantage sur les tendances historiques que sur celles à court terme.

La section III présente les résultats des projections de la taille et de la composition de la population sous l'angle des naissances, des décès, de la migration, de l'âge et du sexe. La section IV décrit les principales hypothèses basées sur la meilleure estimation sur lesquelles se fondent les projections. La section V décrit la population de départ sur laquelle les projections s'appuient. Les sections VI, VII et VIII abordent les caractéristiques historiques et les projections touchant la fécondité, la mortalité et la migration respectivement. Les analyses de sensibilité des diverses hypothèses sont ensuite présentées à la section IX. Enfin, diverses annexes de la section X décrivent la méthodologie, fournissent des renseignements plus détaillés au sujet des projections et donnent la liste des documents de référence et des personnes qui ont contribué à cette étude.

III. Résultats

A. Taille de la population

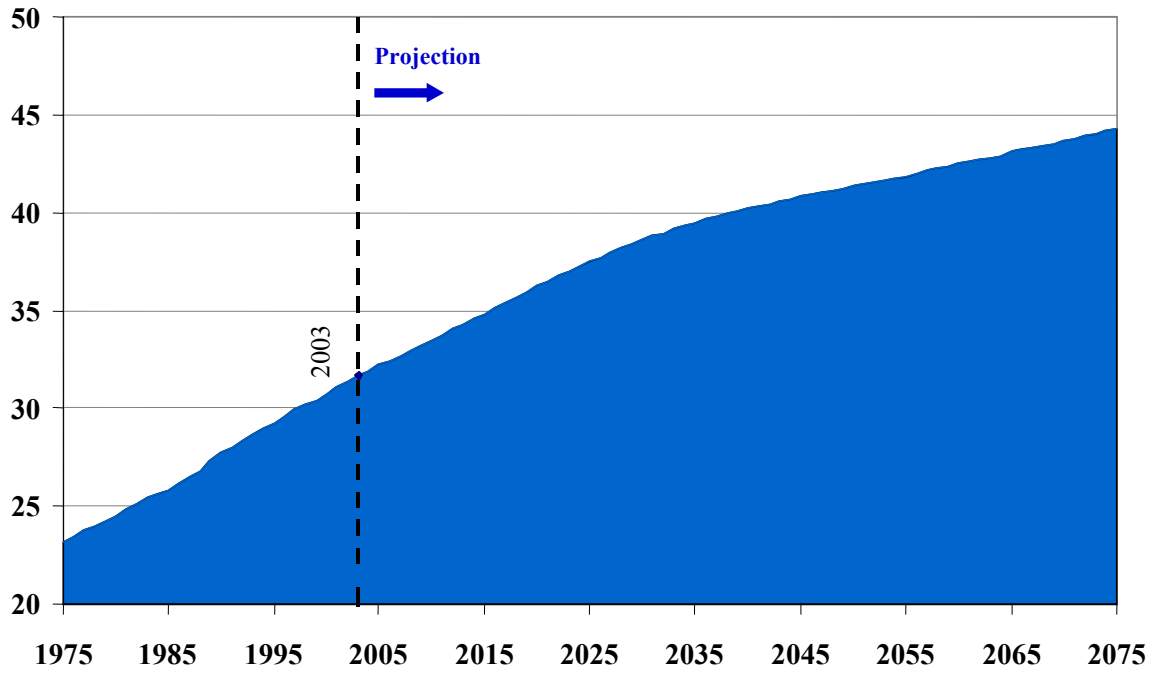
La population du Canada devrait augmenter, passant de 31,6 millions en 2003 à 44,3 millions en 2075, le nombre de femmes demeurant légèrement plus élevé que celui des hommes (tableau 1 et graphique 1). Les membres de la génération du baby-boom, c'est-à-dire principalement ceux nés entre 1945 et 1965, continueront d'avoir un effet marqué sur la réalité démographique du Canada, plus particulièrement en ce qui touche le vieillissement de la population. Le graphique 2 illustre la répartition de la population canadienne selon l'âge et le sexe en 1975, en 2003 et en 2075. L'effet de la génération du baby-boom se manifeste principalement par l'évolution de la forme de la courbe au fil du temps à mesure que la proportion de la population plus âgée croît. La faiblesse prévue des taux de fécondité et la progression de l'espérance de vie contribueront également à l'accroissement du poids démographique à des âges plus élevés au fil du temps.

Les sous-sections qui suivent abordent les projections des composantes de la croissance démographique, c'est-à-dire les naissances, les décès et la migration, de même que la structure par âge de la population résultante.

**Tableau 1 Population du Canada selon le sexe
(en milliers)**

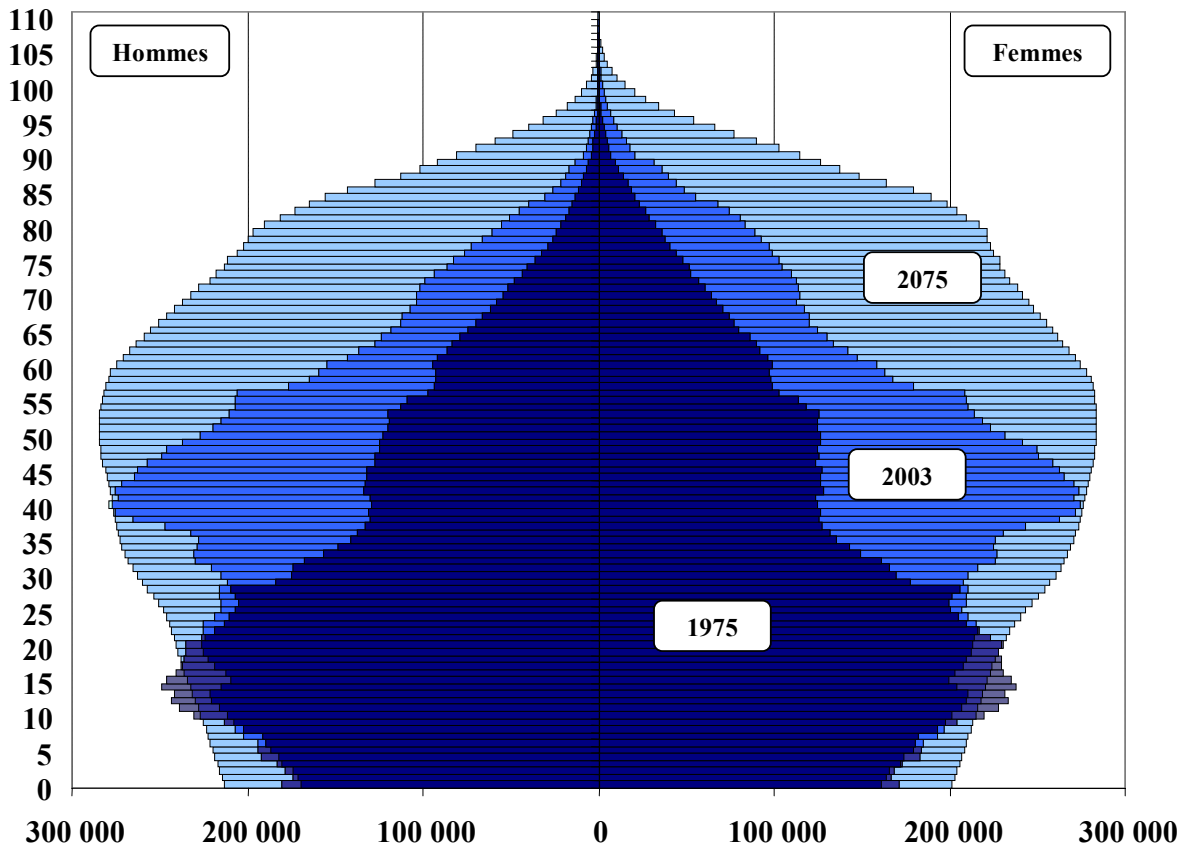
Année	Hommes	Femmes	Total
1975	11 580	11 563	23 143
1985	12 831	13 011	25 843
1995	14 503	14 799	29 302
2003	15 662	15 968	31 630
2005	15 928	16 233	32 162
2010	16 596	16 886	33 482
2015	17 276	17 544	34 819
2020	17 970	18 232	36 202
2025	18 606	18 889	37 495
2030	19 139	19 469	38 608
2035	19 559	19 945	39 504
2040	19 894	20 324	40 217
2045	20 181	20 636	40 817
2050	20 453	20 913	41 367
2075	21 897	22 377	44 274

Graphique 1 Population du Canada
(en millions)



Graphique 2 Structure par âge de la population canadienne

Âge (années)



B. Fécondité, mortalité et migration

À mesure que la population croîtra, sa composition changera non seulement au plan de l'âge, mais aussi du point de vue des trois principaux éléments de la croissance démographique : les naissances, les décès et la migration nette. La migration nette désigne l'excédent de l'immigration sur l'émigration, en tenant compte de ceux qui émigrent puis rentrent éventuellement au Canada. Aux fins de la présente étude, les termes « migration nette » et « migration » sont des synonymes.

Fécondité

L'indice synthétique de fécondité par femme et par année, c'est-à-dire le nombre total d'enfants qu'une femme peut espérer avoir au cours de sa vie compte tenu du taux de fécondité précis selon l'âge pour cette année, est en baisse globale depuis la fin des années 50, tandis que l'âge moyen à la maternité est en hausse depuis le milieu des années 70. L'indice synthétique de fécondité s'établissait à 1,51 en 2001 et devrait augmenter légèrement pour atteindre un niveau ultime de 1,60 en 2016. Cet accroissement est principalement attribuable à l'hypothèse que les femmes continueront d'avoir des enfants à des âges plus avancés. Cela se reflète dans l'âge moyen à la maternité, qui passe de 28,5 ans en 2001 à un niveau ultime de 29,4 ans en 2016. L'âge à la maternité correspond à l'âge moyen de toutes les mères qui ont entre 15 et 49 ans. Le tableau 2 indique les valeurs historiques et projetées de l'indice synthétique de fécondité et de l'âge moyen à la maternité.

Tableau 2 Indice synthétique de fécondité par femme et âge moyen à la maternité

Année	Indice synthétique de fécondité par femme	Âge moyen à la maternité
1941	2,83	28,7
1961	3,84	27,3
1981	1,65	26,6
2001	1,51	28,5
2010	1,53	29,1
2016+	1,60	29,4

Mortalité

Il est prévu que les tendances à la hausse de l'espérance de vie se maintiendront, mais à un rythme beaucoup plus lent. Il est peu probable que nous constaterons à nouveau les gains prodigieux de l'espérance de vie observés au cours du dernier siècle. Un garçon né en 2003 peut compter sur une espérance de vie de 78 ans et une fille, de 82 ans. Ces chiffres supposent que les taux de mortalité observés en 2003 s'appliqueront à chaque année subséquente, c'est-à-dire qu'il n'y aura aucune amélioration des taux de mortalité. Une mesure plus réaliste de l'espérance de vie inclurait les améliorations anticipées de la mortalité, c'est-à-dire que les taux de mortalité diminueront au fil du temps. Dans ce cas, un garçon né en 2003 pourrait compter sur une espérance de vie de 83 ans et une fille, de 86 ans. Comme il est

prévu que la population vieillira, l'âge moyen résultant au décès augmentera. Le tableau 3 indique les données historiques et projetées sur l'espérance de vie à la naissance et l'âge moyen au décès des hommes et des femmes.

Tableau 3 Espérance de vie à la naissance et âge moyen au décès

Année	Hommes			Femmes		
	Espérance de vie à la naissance		Âge moyen au décès	Espérance de vie à la naissance		Âge moyen au décès
	sans améliorations	avec améliorations		sans améliorations	avec améliorations	
1975	70,3	79,9	63,3	77,4	84,0	68,9
2003	77,5	82,9	70,1	82,4	86,2	76,4
2010	79,0	83,3	73,2	83,1	86,6	78,7
2025	80,7	84,2	76,3	84,1	87,4	80,1
2050	82,0	85,5	81,1	85,3	88,6	84,4
2075	83,4	86,8	82,5	86,5	89,7	85,5

Migration

Le niveau de migration a un impact sur le vieillissement de la population. Historiquement, l'âge moyen des immigrants, des émigrants nets (l'excédent des émigrants sur ceux qui reviennent) et des migrants nets résultants (c.-à-d. l'excédent des immigrants sur les émigrants nets) a été inférieur à l'âge moyen de la population. Cette tendance devrait se maintenir. En 2003, l'âge moyen des immigrants, des émigrants nets et des migrants nets était de 28,3, de 33,0 et de 26,5 ans respectivement. Pour fin de comparaison, l'âge moyen de la population en général était de 37,6 ans en 2003.

Chez les migrants en 2003, 84 % des hommes et 83 % des femmes avaient moins de 40 ans. Cette tendance devrait se maintenir, la majorité des migrants étant âgés de moins de 40 ans. Cela a pour effet de ralentir le vieillissement de la population. Les tableaux 4 et 5 présentent les niveaux historiques et projetés de migration selon l'âge et le sexe, de même que leurs proportions relatives.

Tableau 4 Migration nette selon l'âge et le sexe
 (en milliers)

Groupe d'âge/année	Hommes					Femmes				
	1975	2003	2010	2030	2075	1975	2003	2010	2030	2075
0 - 9	18,8	13,1	14,4	17,7	20,4	17,6	12,7	14,0	17,3	19,9
10 - 19	12,4	9,5	12,0	15,0	17,2	14,0	9,3	11,6	14,5	16,6
20 - 24	15,8	5,7	6,2	7,6	8,7	15,0	10,3	10,6	13,0	14,9
25 - 29	15,6	11,7	13,6	16,7	19,2	12,6	14,3	15,9	19,6	22,5
30 - 39	14,7	16,4	21,2	26,7	30,6	10,6	17,1	21,4	26,7	30,7
40 - 49	4,8	5,5	7,3	9,5	10,9	4,6	4,8	6,3	8,1	9,3
50 - 59	2,1	2,4	2,0	2,6	3,0	3,1	4,0	3,4	4,3	5,0
60 - 64	1,3	1,6	1,5	1,8	2,1	1,6	2,0	2,0	2,4	2,8
65+	1,6	1,3	1,1	1,5	1,7	2,6	1,9	1,9	2,4	2,8
0 - 19	31,2	22,6	26,4	32,7	37,6	31,6	22,0	25,7	31,8	36,5
0 - 39	77,3	56,3	67,3	83,7	96,1	69,7	63,7	73,5	91,1	104,6
40+	9,9	10,9	11,9	15,4	17,6	11,9	12,6	13,6	17,2	19,8
20 - 64	54,4	43,3	51,7	64,8	74,4	47,5	52,5	59,5	74,1	85,1
Total	87,2	67,2	79,2	99,0	113,7	81,6	76,4	87,1	108,3	124,4
Âge moyen des migrants nets (années)	23,5	26,0	25,9	26,1	26,1	24,1	26,9	26,7	26,9	26,9
Âge moyen de la population (années)	30,4	36,5	38,5	42,3	43,8	31,8	38,6	40,3	44,0	45,7

Tableau 5 Proportions de migration nette selon l'âge et le sexe

Groupe d'âge/année	Hommes					Femmes				
	1975	2003	2010	2030	2075	1975	2003	2010	2030	2075
	(%)	(%)	(%)	(%)	(%)	(%)	(%)	(%)	(%)	(%)
0 - 9	22	19	18	18	18	22	17	16	16	16
10 - 19	14	14	15	15	15	17	12	13	13	13
20 - 24	18	8	8	8	8	18	13	12	12	12
25 - 29	18	17	17	17	17	15	19	18	18	18
30 - 39	17	24	27	27	27	13	22	25	25	25
40 - 49	6	8	9	10	10	6	6	7	7	7
50 - 59	2	4	2	3	3	4	5	4	4	4
60 - 64	2	2	2	2	2	2	3	2	2	2
65+	2	2	1	1	1	3	2	2	2	2
0 - 19	36	34	33	33	33	39	29	29	29	29
0 - 39	89	84	85	84	84	85	83	84	84	84
40+	11	16	15	16	16	15	17	16	16	16
20 - 64	62	64	65	65	65	58	69	68	68	68
Total	100									

Population projetée

Le tableau 6 décrit l'évolution totale de la population projetée selon que l'effet est attribuable aux naissances, aux décès ou à la migration. L'accroissement naturel, c'est-à-dire l'excédent des naissances sur les décès, devrait diminuer à long terme pour éventuellement devenir négative en 2030 alors que le nombre de décès dépassera celui des naissances. La migration nette devrait compenser ce décroissement naturel, mais seulement dans une certaine mesure. Cela se traduira par un taux plus faible de croissance démographique.

L'évolution totale de la population englobe son accroissement naturel et l'augmentation attribuable à la migration. Les composantes de cette évolution peuvent être examinées en termes absolus ou en proportions relatives de la population totale. Ces proportions représentent les composantes respectives du taux global de croissance démographique. Par exemple, en 2003, la population a augmenté de 266 000, soit 0,84 %. L'accroissement naturel est de 108 000 personnes, soit 0,34 %, et la migration, pour les 158 000, ou 0,50 %, qui restent. À long terme, la croissance de la population devrait ralentir pour s'établir à environ 0,30 % lorsque l'accroissement naturel deviendra négative.

Tableau 6 Composantes de la croissance démographique
(en milliers)

Année	Population au 1 ^{er} juillet			Accroissement naturel		Migrants nets		Accroissement total	
	Naissances	Décès		% de la population		% de la population		% de la population	
2003	31 630	333	225	108	0,34	158	0,50	266	0,84
2004	31 896	334	229	106	0,33	160	0,50	265	0,83
2005	32 162	335	232	103	0,32	161	0,50	264	0,82
2006	32 426	338	236	101	0,31	162	0,50	264	0,81
2007	32 689	341	240	100	0,31	164	0,50	264	0,81
2008	32 954	344	245	99	0,30	165	0,50	264	0,80
2009	33 218	347	249	98	0,30	166	0,50	264	0,80
2010	33 482	351	254	97	0,29	168	0,50	265	0,79
2015	34 819	374	277	97	0,28	181	0,52	278	0,80
2020	36 202	377	303	73	0,20	196	0,54	269	0,74
2025	37 495	373	336	36	0,10	203	0,54	239	0,64
2030	38 608	365	378	(12)	(0,03)	208	0,54	196	0,51
2050	41 367	394	509	(115)	(0,28)	223	0,54	108	0,26
2075	44 274	413	530	(116)	(0,26)	239	0,54	122	0,28

C. Structure par âge

La population canadienne vieillit sous l'effet de faibles taux de fécondité, d'une espérance de vie accrue et de la retraite prochaine de la génération du baby-boom. Les tableaux 7 à 9 font état de la population historique et projetée selon le groupe d'âge, ainsi que l'âge moyen et médian des hommes, des femmes et de la population totale du Canada. Les proportions relatives de ces groupes d'âge figurent au tableau 10.

Il est prévu que le nombre de femmes demeurera légèrement supérieur à celui des hommes, et que, en moyenne, les femmes seront plus âgées que les hommes en raison de leur espérance de vie accrue. L'âge moyen de la population devrait augmenter, passant de 37,6 ans en 2003 à 43,1 ans en 2030, puis à 44,8 ans en 2075. L'âge médian devrait afficher une progression semblable au cours de cette période. L'âge médian représente celui auquel la moitié de la population est d'un âge plus élevé, ce qui contraste avec l'âge moyen.

En 1975, la population totale des 65 ans et plus (les retraités) s'établissait à 2,0 millions de personnes, soit 8 % de la population (tableaux 9 et 10). En 2003, 4,1 millions de personnes, soit 13 % de la population faisaient partie de ce groupe d'âge. Il est prévu qu'au cours des 25 prochaines années, la taille de la population des 65 ans et plus aura plus que doublé en 2030, pour atteindre 8,9 millions de personnes, soit 23 % de la population, pour ensuite continuer d'augmenter, dépassant 11,2 millions de personnes, soit 25 % de la population, en 2075.

Le nombre des 80 ans et plus a aussi beaucoup augmenté, représentant l'un des segments démographiques dont la croissance est la plus forte. Entre 1975 et 2003, ce groupe d'âge est passé de 400 000 à 1,0 millions de personnes, soit de 2 à 3 % de la population. Il est prévu que ce nombre de personnes fera plus que doubler d'ici 2030 pour atteindre 2,3 millions, soit 6 % de la population, pour ensuite continuer d'augmenter et s'établir à 4,3 millions de personnes, soit 10 % de la population, en 2075. D'importantes augmentations sont prévues dans les segments plus âgés de la population au fur et à mesure que les gens atteignent des âges plus avancés.

En contre-partie, le nombre de jeunes (c.-à-d. les 19 ans et moins) ne devrait augmenter que de 154 000 entre 2003 et 2030, puis de 755 000 entre 2030 et 2075, ce qui représente une hausse totale de 909 000 personnes entre 2003 et 2075. Par ailleurs, la population en âge de travailler (les 20 à 64 ans) devrait augmenter de 4,6 millions et celle des retraités (les 65 ans et plus), de 7,2 millions au cours de cette même période. La proportion des jeunes et celle des gens en âge de travailler (travailleurs) chuteront par rapport à leurs niveaux de 2003 de 25 % et de 62 % respectivement pour s'établir, d'une part, à 21 % et, d'autre part, à 56 % de la population d'ici 2030. En 2075, la proportion des jeunes diminuera un peu plus pour atteindre 20 %, tandis que celle des travailleurs chutera à 55 %.

Tableau 7 Population masculine du Canada selon le groupe d'âge
(en milliers)

Groupe d'âge	1975	2003	2010	2020	2030	2050	2075
0 - 19	4 298	4 049	3 896	3 918	4 136	4 228	4 524
20 - 24	1 103	1 119	1 110	1 048	1 036	1 130	1 216
25 - 49	3 802	6 062	6 098	6 168	6 242	6 366	6 786
50 - 54	595	1 079	1 293	1 203	1 260	1 298	1 421
55 - 59	485	914	1 117	1 346	1 175	1 351	1 402
60 - 64	435	685	967	1 240	1 162	1 295	1 334
20 - 64	6 420	9 859	10 585	11 005	10 874	11 439	12 159
65+	862	1 754	2 116	3 047	4 128	4 787	5 214
75+	293	717	893	1 172	1 781	2 450	2 871
80+	146	359	484	623	957	1 552	1 855
85+	60	137	204	287	395	838	989
Tous les âges	11 580	15 662	16 596	17 970	19 139	20 453	21 897
Âge moyen	30,4	36,5	38,5	40,6	42,3	43,5	43,8
Âge médian	26,9	37,0	39,1	41,1	43,1	44,1	44,4

Tableau 8 Population féminine du Canada selon le groupe d'âge
(en milliers)

Groupe d'âge	1975	2003	2010	2020	2030	2050	2075
0 - 19	4 109	3 853	3 699	3 701	3 920	4 001	4 288
20 - 24	1 086	1 069	1 075	1 018	996	1 097	1 174
25 - 49	3 677	6 001	6 001	6 082	6 198	6 320	6 744
50 - 54	620	1 098	1 304	1 197	1 239	1 299	1 418
55 - 59	511	929	1 153	1 350	1 172	1 355	1 405
60 - 64	464	712	1 003	1 277	1 179	1 313	1 342
20 - 64	6 358	9 809	10 536	10 923	10 784	11 384	12 083
65+	1 096	2 306	2 652	3 608	4 765	5 528	6 007
75+	439	1 156	1 320	1 585	2 292	3 113	3 572
80+	233	675	822	944	1 340	2 122	2 451
85+	101	313	422	503	633	1 263	1 433
Tous les âges	11 563	15 968	16 886	18 232	19 469	20 913	22 377
Âge moyen	31,8	38,6	40,3	42,3	44,0	45,5	45,7
Âge médian	27,9	38,8	40,9	42,9	44,8	46,2	46,4

Tableau 9 Population totale du Canada selon le groupe d'âge
 (en milliers)

Groupe d'âge	1975	2003	2010	2020	2030	2050	2075
0 - 19	8 407	7 902	7 595	7 619	8 056	8 229	8 811
20 - 24	2 189	2 189	2 184	2 066	2 031	2 227	2 390
25 - 49	7 479	12 063	12 099	12 250	12 440	12 685	13 530
50 - 54	1 215	2 176	2 597	2 399	2 499	2 597	2 839
55 - 59	996	1 842	2 270	2 696	2 347	2 706	2 807
60 - 64	899	1 397	1 969	2 516	2 341	2 608	2 676
20 - 64	12 779	19 667	21 120	21 928	21 659	22 824	24 242
65+	1 958	4 060	4 767	6 655	8 894	10 314	11 220
75+	733	1 873	2 212	2 757	4 073	5 563	6 442
80+	379	1 034	1 306	1 566	2 297	3 674	4 305
85+	161	450	626	790	1 029	2 101	2 422
Tous les âges	23 143	31 630	33 482	36 202	38 608	41 367	44 274
Âge moyen	31,1	37,6	39,4	41,5	43,1	44,5	44,8
Âge médian	27,4	37,9	40,0	42,0	43,9	45,1	45,4

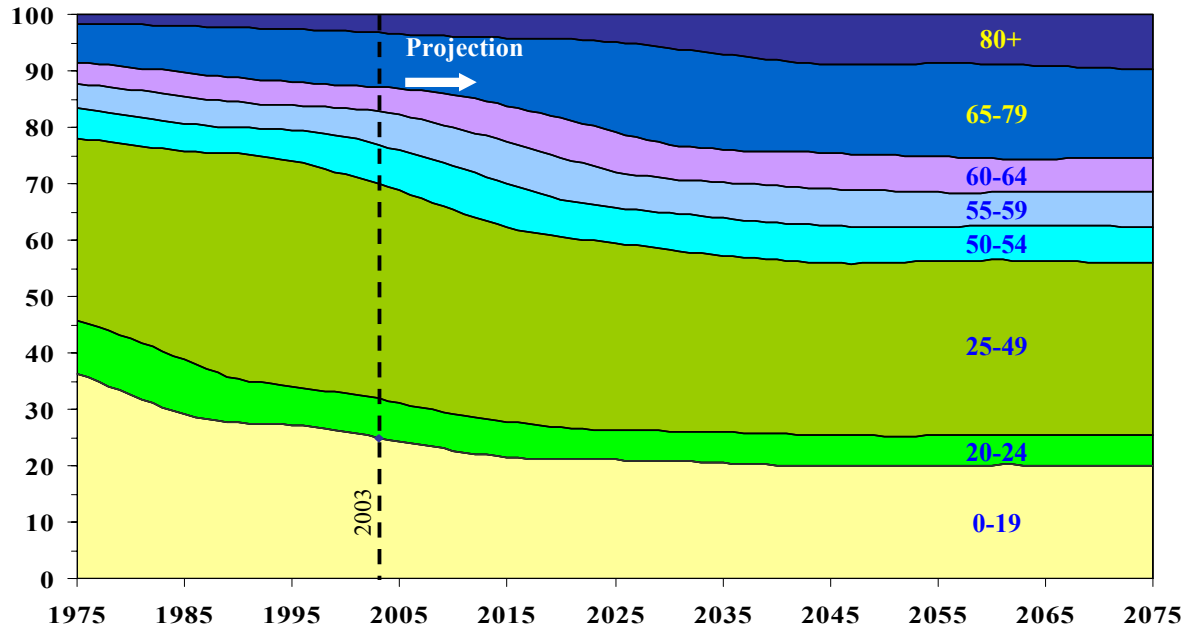
Tableau 10 Proportions de la population totale du Canada selon le groupe d'âge

Groupe d'âge	1975	2003	2010	2020	2030	2050	2075
	(%)	(%)	(%)	(%)	(%)	(%)	(%)
0 - 19	36,3	25,0	22,7	21,0	20,9	19,9	19,9
20 - 24	9,5	6,9	6,5	5,7	5,3	5,4	5,4
25 - 49	32,3	38,1	36,1	33,8	32,2	30,7	30,6
50 - 54	5,2	6,9	7,8	6,6	6,5	6,3	6,4
55 - 59	4,3	5,8	6,8	7,4	6,1	6,5	6,3
60 - 64	3,9	4,4	5,9	7,0	6,1	6,3	6,0
20 - 64	55,2	62,2	63,1	60,6	56,1	55,2	54,8
65+	8,5	12,8	14,2	18,4	23,0	24,9	25,3
75+	3,2	5,9	6,6	7,6	10,6	13,4	14,6
80+	1,6	3,3	3,9	4,3	5,9	8,9	9,7
85+	0,7	1,4	1,9	2,2	2,7	5,1	5,5

Le graphique 3 indique l'évolution de la répartition par âge de la population. La hausse substantielle de la proportion des 65 ans et plus et des 80 ans et plus est évidente.

Graphique 3 Répartition de la population selon l'âge

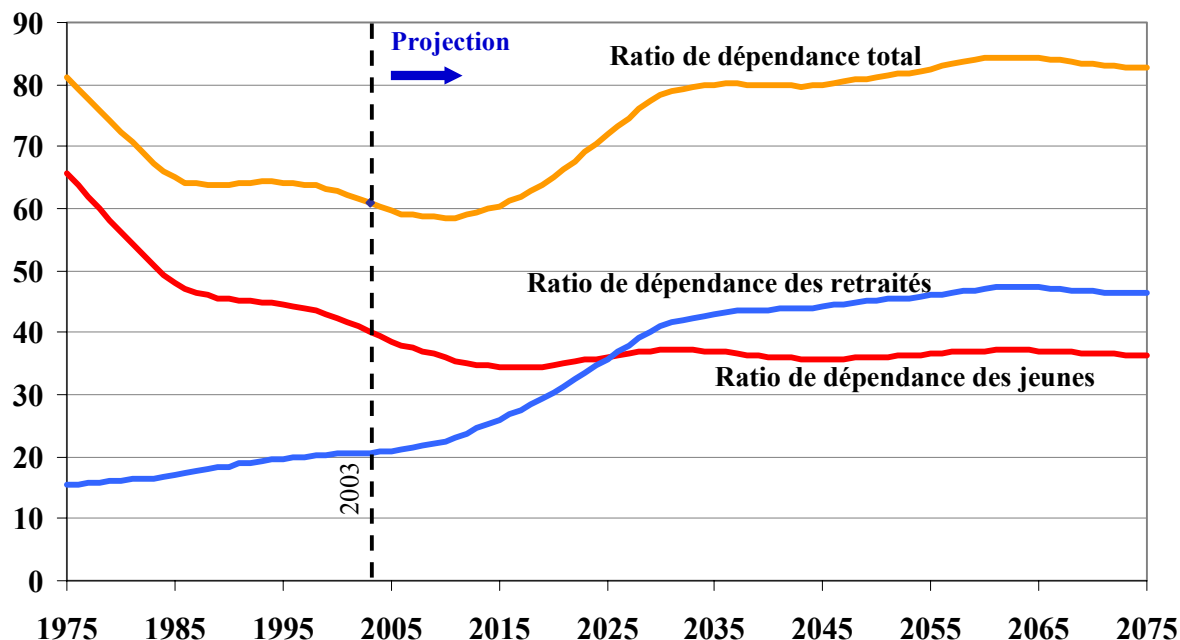
% de la population totale



À mesure que la population évoluera, la dépendance sur les personnes en âge de travailler augmentera puisqu'un nombre croissant de jeunes et de retraités dépendront des personnes sur le marché du travail. Le ratio de dépendance des jeunes (c.-à-d. la proportion des jeunes à la population en âge de travailler) a chuté, passant de 66 à 40 jeunes par 100 travailleurs entre 1975 et 2003 en raison de la diminution des taux de fécondité. Pendant cette même période, le ratio de dépendance des retraités (c.-à-d. la proportion des retraités à la population en âge de travailler) a augmenté, passant de 15 à 21 retraités par 100 travailleurs.

Étant donné qu'il est prévu que les taux de fécondité resteront bas et que l'espérance de vie augmentera, le ratio de dépendance des jeunes devrait chuter à 36 jeunes par 100 travailleurs et celui des retraités devrait atteindre 46 retraités par 100 travailleurs en 2075. En 2030, lorsque la plupart des membres de la génération du baby-boom auront pris leur retraite, le ratio de dépendance des retraités dépassera celui des jeunes pour ensuite continuer d'augmenter de façon modérée. Il en résulte ainsi un ratio de dépendance total (retraités et jeunes à la population en âge de travailler) de 82 jeunes et retraités par 100 travailleurs en 2075. Le graphique 4 illustre l'évolution du ratio de dépendance des jeunes, de celui des retraités et du ratio de dépendance total.

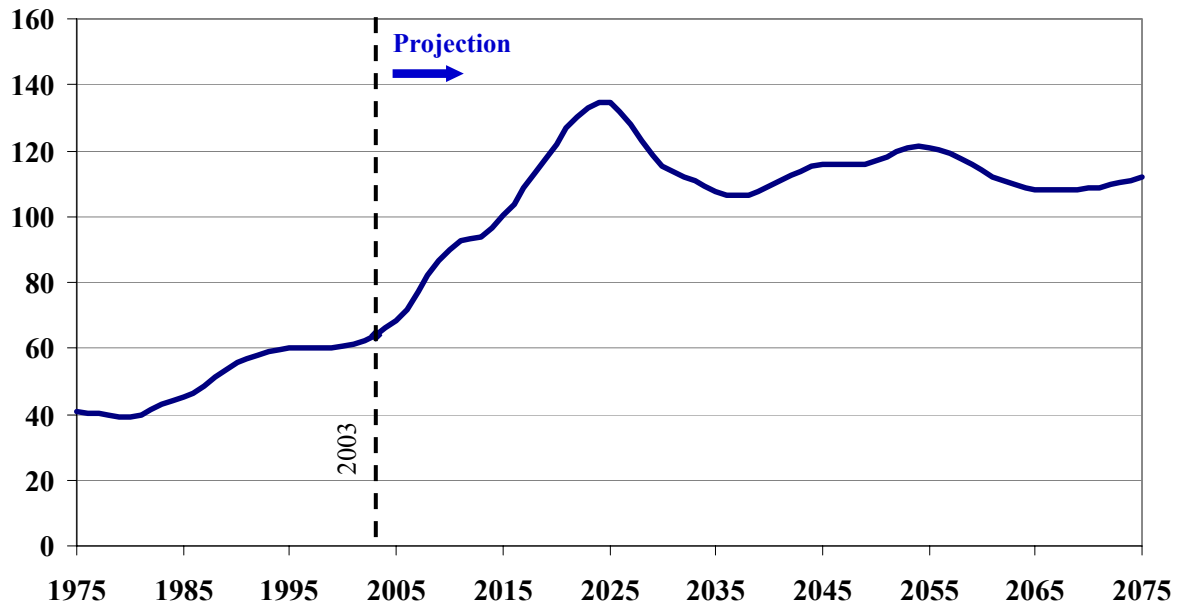
Graphique 4 Ratios de dépendance
(pour 100 personnes en âge de travailler)



Le ratio des personnes quittant le marché du travail (les 60 à 64 ans) à celui des personnes qui s’y joignent (les 20 à 24 ans) est un autre indice du vieillissement de la population. Plus précisément il indique une pénurie de main-d’œuvre anticipée au fur et à mesure que les membres de la génération du baby-boom prendront leur retraite au cours des prochaines décennies.

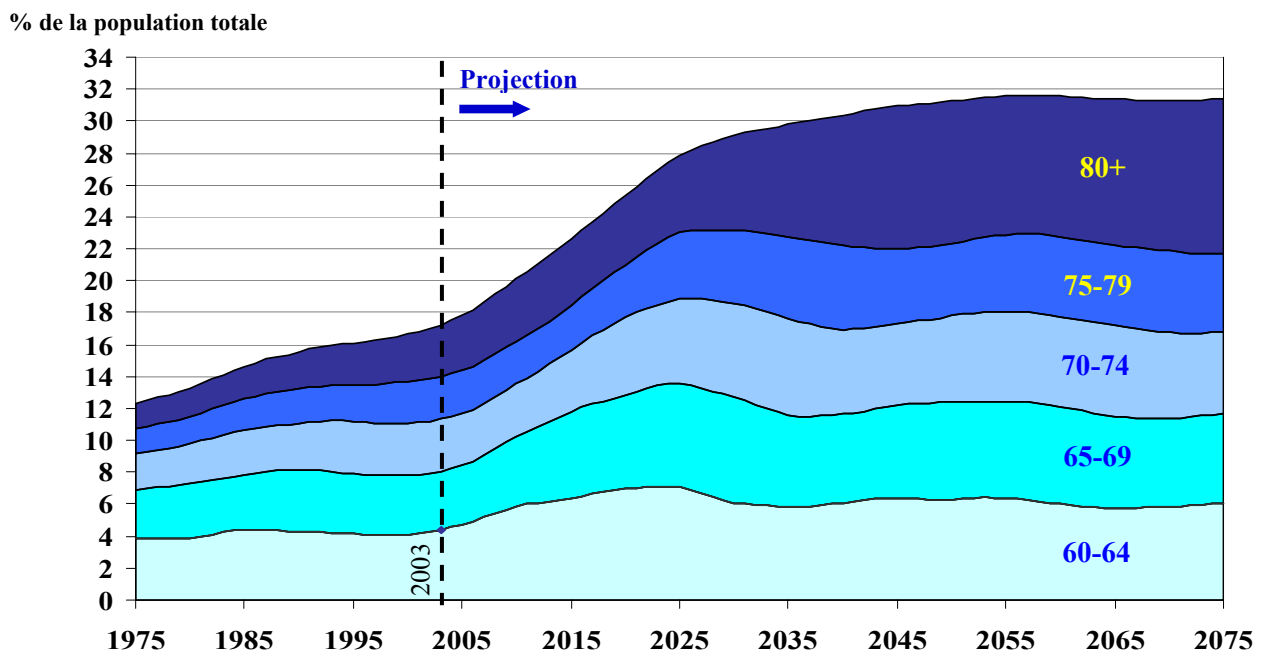
Historiquement, ce ratio a toujours été nettement inférieur à 1. Toutefois, cette situation devrait se renverser à l’avenir au fur et à mesure que les membres de la génération du baby-boom approcheront de la retraite. En 1975, pour chaque 100 personnes entrant sur le marché du travail, 41 en sortaient. En 2003, le ratio avait augmenté pour s’établir à 64 personnes sur 100. Il est prévu qu’il continuera d’augmenter pour atteindre un sommet de plus de 134 sur 100 en 2025. Par la suite, il affichera un autre sommet modéré autour du milieu des années 2050 à mesure que les membres de la génération écho (les enfants des membres de la génération du baby-boom) atteindront l’âge de la retraite, mais demeurera supérieur à 1. Le graphique 5 illustre l’évolution de ce ratio.

**Graphique 5 Ratio des personnes quittant le marché du travail (60 à 64 ans)
 à ceux y entrant (20 à 24 ans)**
 (pour 100 personnes entrant sur le marché de travail)



En terminant, comme il a été mentionné, la population en âge avancé devrait augmenter de façon marquée à l'avenir. Le graphique 6 illustre l'évolution de la répartition de la population selon l'âge chez les 60 ans et plus. Il convient particulièrement de noter la hausse anticipée de la population des 80 ans et plus, qui passera de 3 à 10 % de la population totale entre 2003 et 2075. L'âge moyen des 60 ans et plus devrait augmenter, passant de 72 à 74 ans entre 2003 et 2075.

Graphique 6 Répartition de la population âgée de 60 ans et plus



IV. Hypothèses basées sur la meilleure estimation

Les projections de cette étude couvrent une longue période (72 ans) et les hypothèses retenues sont les mêmes que celles du 21^e rapport sur le RPC. Les hypothèses sont établies en insistant davantage sur les tendances historiques que sur celles à court terme. Elles reflètent l'application de notre meilleur jugement et sont dites ici « basées sur la meilleure estimation ». Ces hypothèses ont été choisies en tenant compte que certains liens les unissent.

Le tableau 11 résume les plus importantes hypothèses utilisées dans notre étude.

Tableau 11 Hypothèses démographiques basées sur la meilleure estimation

Canada			
Indice synthétique de fécondité	1,60		
Taux de migration nette	0,50 % de la population jusqu'en 2015 0,54 % de la population à compter de 2020		
Mortalité	Tables de mortalité du Canada 1995-1997		
		<u>2005</u>	<u>2025</u>
Espérance de vie au Canada à la naissance	Hommes	78,0 ans	80,7 ans
	Femmes	82,6 ans	84,1 ans

La combinaison des hypothèses avec les données historiques et les projections concernant la fécondité, la mortalité et la migration est abordée de façon plus détaillée aux sections VI, VII et VIII respectivement. Tant la volatilité de ces facteurs que la nature à long terme des projections font en sorte que les résultats réels ne correspondront pas exactement aux hypothèses.

V. Population initiale

Les estimations de la population fournies par Statistique Canada au 1^{er} juillet 2003, selon l'âge et le sexe, servent de point de départ aux projections de la population. Ces estimations proviennent du Recensement de 2001 et sont ajustées pour tenir compte du sous-dénombrement lors du recensement. La population comprend tous les résidents non permanents d'après le Recensement. Selon les estimations de la population au 1^{er} juillet 2003, le Canada comptait 15 662 000 hommes et 15 968 000 femmes, soit au total 31 630 000 personnes.

VI. Taux de fécondité

A. Taux de fécondité selon le groupe d'âge et selon la cohorte

Le taux de fécondité à un âge donné correspond au nombre moyen de naissances vivantes par femme de cet âge au cours de l'année. L'indice synthétique de fécondité d'une année correspond au nombre moyen d'enfants qui seraient nés d'une femme au cours de sa vie si les taux de fécondité par groupe d'âge, observés ou hypothétiques, pour cette année se réalisaient. Par ailleurs, le taux de fécondité selon la cohorte représente le nombre moyen d'enfants nés d'une femme au cours de sa vie pour l'ensemble des femmes nées au cours d'une année donnée. De ces deux taux, le taux de fécondité selon la cohorte est considéré comme un meilleur indice des tendances de la fécondité au fil du temps puisqu'il permet de suivre cette fécondité d'une génération à l'autre. Pour analyser ces deux taux, les données historiques disponibles remontant à l'année 2001 inclusivement ont été examinées.

L'indice synthétique de fécondité et le taux de fécondité selon la cohorte ont nettement chuté au cours des 50 dernières années. L'indice synthétique est passé d'un sommet de 3,9 en 1959 à un plancher récent d'environ 1,5 à la fin des années 90. Il a ensuite quelque peu augmenté pour atteindre environ 1,7 au début des années 90. Au cours des deux dernières décennies, cet indice a été, en moyenne, d'environ 1,62 et s'établissait à 1,51 en 2001.

Le taux de fécondité selon la cohorte a également chuté, passant de 3,4 au début des années 60 à 1,7 à la fin des années 90. Il était en moyenne d'environ 1,80 au cours des deux dernières décennies et s'établissait à 1,71 en 2001. Ce taux repose sur l'hypothèse d'un âge moyen à la maternité de 29 ans. L'âge moyen à la maternité pour une année donnée est l'âge moyen de toutes les mères qui ont entre 15 et 49 ans cette année-là. À 29 ans, l'âge moyen à la maternité est proche de son niveau ultime actuel et projeté.

Les variations du taux de fécondité découlent de l'évolution de nombreux facteurs, notamment les comportements sociaux et les conditions économiques. Aux fins de notre étude, nous supposons que l'indice synthétique de fécondité s'établira à 1,60 à compter de 2016. Cette hypothèse ultime reflète les tendances historiques des taux de fécondité selon le groupe d'âge au cours des 15 dernières années. Elle est légèrement supérieure aux taux observés récemment. Une faible augmentation de l'indice synthétique de fécondité est prévue à moyen terme du fait que les femmes tendent encore à donner naissance à leur premier enfant à un âge plus avancé à cause de séjours plus longs dans le réseau de l'enseignement, d'une participation accrue au monde du travail et d'un mariage plus tardif. La situation économique est également réputée s'améliorer à moyen terme, ce qui pourrait aider les familles à planifier de nouvelles naissances. Le taux de fécondité selon la cohorte devrait continuer de baisser pour atteindre 1,60 en 2013. Les taux de fécondité devraient rester inférieurs au niveau de remplacement de 2,1, c'est-à-dire le taux requis pour que les naissances et les décès suffisent à maintenir la population à son niveau actuel, abstraction faite de l'effet de la migration.

Les tableaux 12 et 13 et le graphique 7 indiquent les niveaux historiques et réputés de l'indice synthétique de fécondité et du taux de fécondité selon la cohorte pour certaines

années. Le tableau 12 précise également les taux de fécondité selon le groupe d'âge. De façon générale, ces taux ont diminué au cours des quatre dernières décennies chez les femmes de moins de 30 ans. Pour celles âgées de 15 à 19 ans, le taux était déjà très faible en 2003, à 16,2 par 1 000 femmes, et il est supposé qu'il s'y maintiendra car il n'y a pas eu de changements au niveau de l'utilisation des méthodes contraceptives et que les adolescents les connaissent généralement. Chez les 20 à 24 ans, les taux de fécondité ont reculé plus lentement. Cela s'explique probablement par une sensibilisation accrue aux méthodes contraceptives et par des séjours plus longs dans le réseau de l'enseignement. Il est prévu dans le cas de ce groupe que le taux de fécondité diminuera légèrement pour s'établir à 51,4. Le groupe des 25 à 29 ans affiche également une progression plus lente des taux de fécondité. Il est prévu que la participation des femmes au marché du travail continuera d'augmenter mais plafonnera au cours des 10 prochaines années et que le report des naissances s'estompera avec la prospérité économique. Par conséquent, le taux de fécondité de ce groupe demeurera en légère baisse pour 10 ans encore.

Le taux de fécondité des 30 à 34 ans affiche une progression relativement lente. Selon de récentes études de Statistique Canada, le pourcentage des naissances hors mariage croît rapidement. Il semble que les membres de ce groupe soient davantage pressés d'avoir des enfants. Il est prévu que le taux de fécondité de ce groupe continuera d'augmenter graduellement pendant 15 ans.

Il y a eu également des hausses des taux de fécondité chez les plus de 34 ans. Compte tenu de la stabilité relative des mariages pour ces groupes et de l'amélioration des conditions économiques, il est prévu que les taux continueront de progresser graduellement pendant 15 ans.

Les taux de fécondité selon la cohorte, qui figurent au tableau 12, sont étoffés au tableau 13. Par exemple, le taux de fécondité selon la cohorte de 1,80 en 1991 s'applique aux femmes nées en 1962, c'est-à-dire en supposant que l'âge moyen des mères était de 29 ans. L'indice synthétique de fécondité et le taux de fécondité selon la cohorte finissent par se rejoindre pour correspondre à l'hypothèse ultime de 1,60 à compter de 2016 puisque les femmes nées en 1987 ou après atteindront l'âge de 29 ans à compter de 2016.

Les années figurant au bas du graphique 7 correspondent à l'année civile dans le cas de l'indice synthétique de fécondité, et à l'année où une femme avait 29 ans ou a atteint cet âge aux fins du taux de fécondité selon la cohorte.

Tableau 12 Taux de fécondité selon le groupe d'âge, l'année civile et la cohorte

Année civile	Taux annuel de fécondité selon le groupe d'âge (par 1 000 femmes)							Indice synthétique de fécondité par femme	Taux de fécondité selon la cohorte par femme ^(*)
	15-19	20-24	25-29	30-34	35-39	40-44	45-49		
1941	30,7	138,4	159,8	122,3	80,0	31,6	3,7	2,83	2,82
1951	48,1	188,7	198,8	144,5	86,5	30,9	3,1	3,50	3,22
1961	58,2	233,6	219,2	144,9	81,1	28,5	2,4	3,84	3,29
1971	40,1	134,4	142,0	77,3	33,6	9,4	0,6	2,19	2,51
1981	25,9	91,4	123,2	66,7	19,1	3,2	0,2	1,65	1,91
1991	26,0	77,5	120,3	83,6	28,3	3,9	0,2	1,70	1,80
2001	16,3	56,1	97,9	89,9	35,5	6,1	0,3	1,51	1,71
2004	16,2	53,3	93,2	94,4	38,2	6,6	0,3	1,51	1,70
2008	16,2	51,4	87,0	100,3	41,8	7,3	0,3	1,52	1,66
2012	16,2	51,4	82,3	106,3	45,3	7,9	0,4	1,55	1,61
2016+	16,2	51,4	82,3	112,2	48,9	8,6	0,4	1,60	1,60

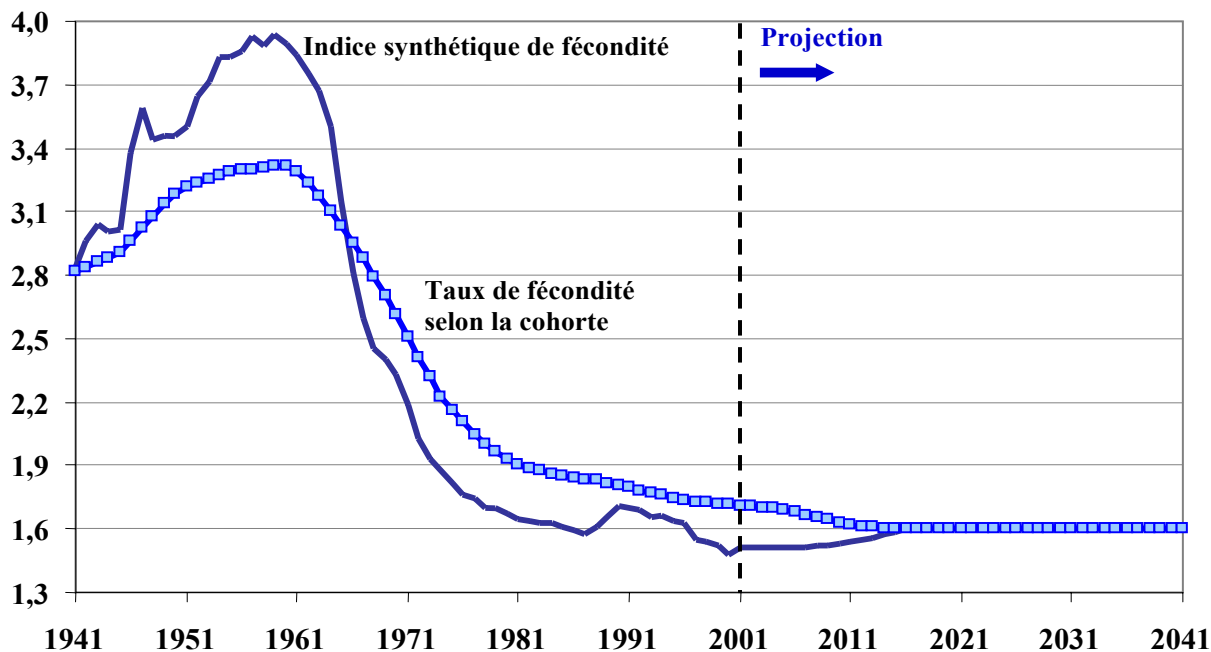
(*) Pour une femme ayant 29 ans cette année-là.

Tableau 13 Taux de fécondité selon le groupe d'âge et l'année de naissance de la mère, selon la cohorte

Année de naissance de la femme	Taux annuel de fécondité selon le groupe d'âge (par 1 000 femmes)							Taux de fécondité selon la cohorte par femme
	15-19	20-24	25-29	30-34	35-39	40-44	45-49	
1912	29,5	122,1	153,6	134,9	89,1	31,5	2,6	2,82
1922	28,7	149,6	200,9	152,9	86,2	23,9	1,1	3,22
1932	45,0	213,4	223,5	128,2	42,2	5,8	0,2	3,29
1942	59,6	205,6	148,1	66,8	19,2	3,0	0,2	2,51
1952	42,7	112,7	124,3	70,6	26,0	4,6	0,2	1,91
1962	28,2	84,7	119,4	86,0	33,9	6,6	0,4	1,80
1972	24,4	71,9	99,8	94,4	42,6	8,3	0,4	1,71
1975	25,4	65,4	95,6	98,8	45,3	8,6	0,4	1,70
1979	22,4	56,6	90,1	104,8	48,4	8,6	0,4	1,66
1983	17,6	52,5	84,2	110,4	48,9	8,6	0,4	1,61
1987+	16,2	51,4	82,3	112,2	48,9	8,6	0,4	1,60

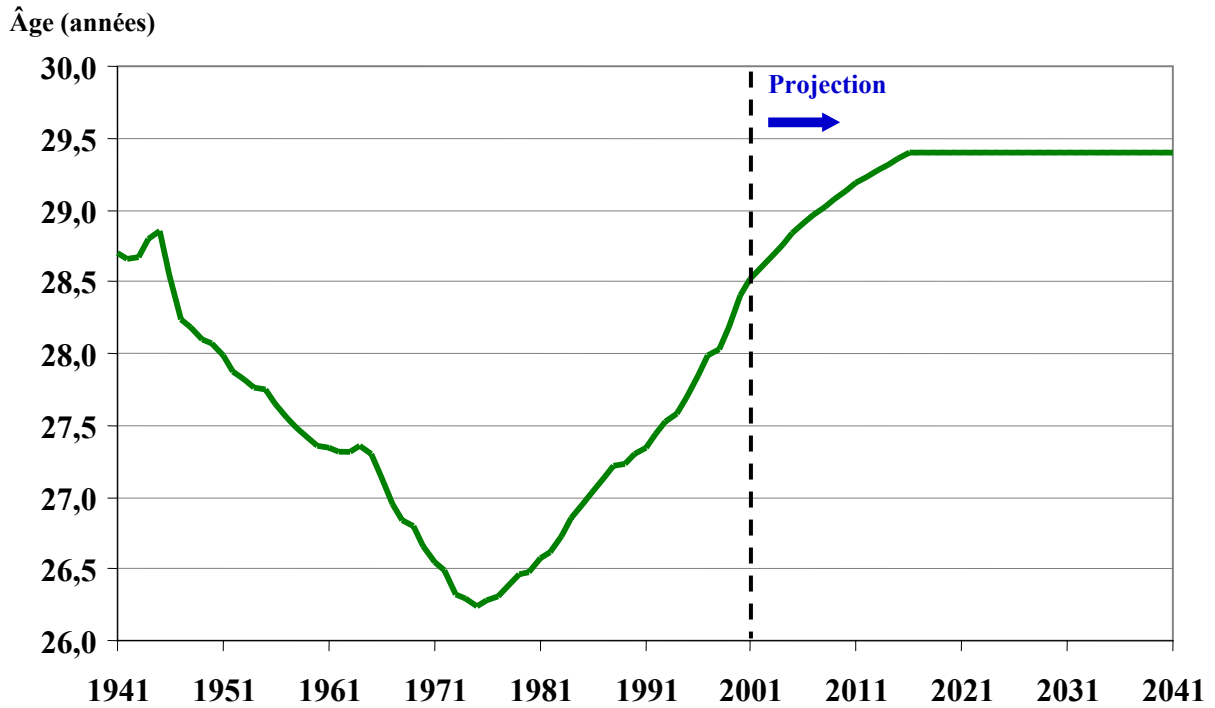
Nota : Les taux de fécondité en dessous de la ligne pointillée sont partiellement ou entièrement projetés.

Graphique 7 Indice synthétique de fécondité et taux de fécondité selon la cohorte



De façon générale, les taux de fécondité ont diminué dans les groupes plus jeunes et augmentés chez les groupes plus âgés. À mesure que cette tendance s'est accentuée à compter du milieu des années 70, l'âge moyen à la maternité a augmenté de façon correspondante. En 1945, l'âge moyen à la maternité s'établissait à 28,8 ans. Dans l'ensemble, il a ensuite augmenté pour s'établir à 26,2 ans en 1975 et 28,7 ans en 2003. Il est prévu que les taux de fécondité à des âges plus avancés seront plus élevés en raison du report des naissances. Par conséquent l'âge moyen à la maternité continuera d'augmenter et plafonnera, à terme, à 29,4 ans en 2016. Le graphique 8 illustre l'évolution de l'âge moyen à la maternité.

Graphique 8 Âge moyen à la maternité



B. Sexe à la naissance

Le ratio des garçons aux filles à la naissance est réputé se maintenir à 1,056 et correspond aux données historiques des 25 dernières années.

VII. Mortalité

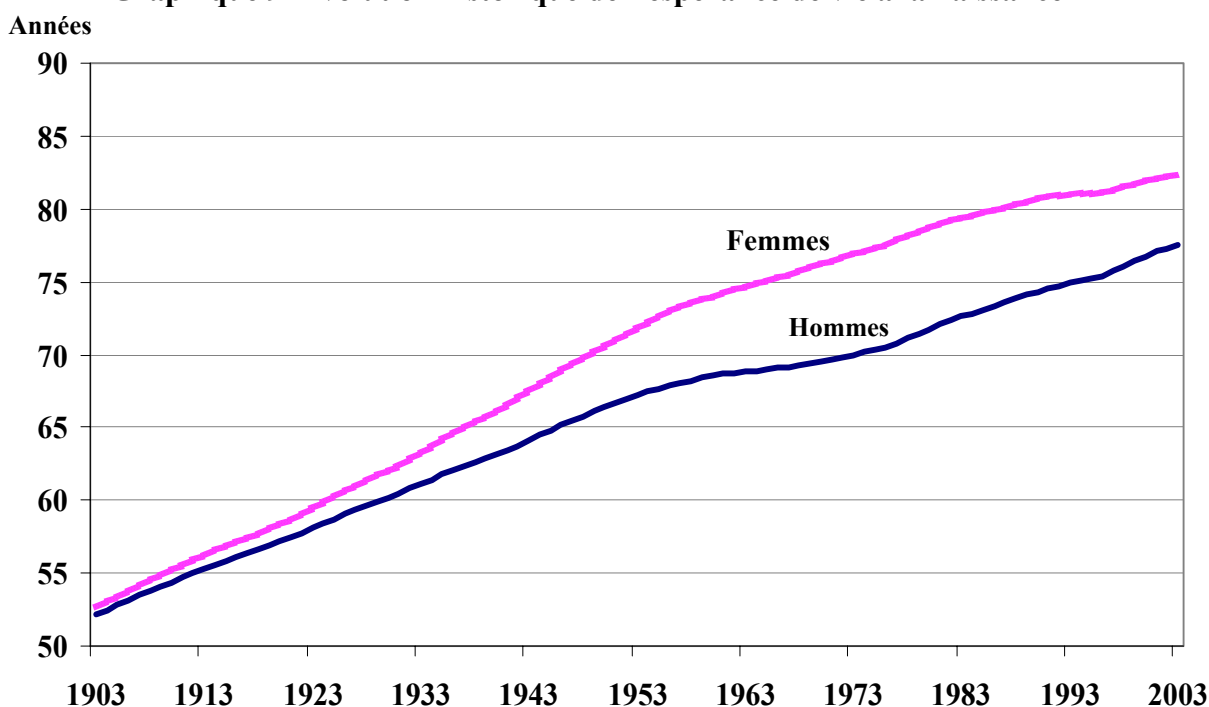
A. Évolution historique de l'espérance de vie

L'espérance de vie a énormément progressé à travers le monde au XX^e siècle. En 1900, au Canada, près de 75 % de la population décédait avant d'avoir atteint 65 ans. Pour fin de comparaison, en 2003, près de 88 % de la population pouvait s'attendre à décéder après 65 ans.

Le graphique 9 illustre la progression de l'espérance de vie à la naissance chez les hommes et les femmes depuis un siècle. L'accroissement rapide de l'espérance de vie au cours de la première moitié du XX^e siècle est surtout attribuable à une diminution de la mortalité des nourrissons et des enfants. La vaccination et d'autres interventions d'ordre médical, conjuguées à de meilleures conditions sanitaires et à une meilleure qualité de vie globale, ont toutes nettement contribué à abaisser la mortalité des nourrissons et des enfants. Par conséquent, les groupes d'âge plus jeunes ont déjà bénéficié de la majeure partie de l'accroissement de l'espérance de vie qui risque de les caractériser. Cela signifie que les augmentations futures devront survenir à des âges plus avancés. Les données du graphique 9 ne tiennent pas compte des améliorations futures de l'espérance de vie. Autrement dit, pour une année donnée, l'espérance de vie est déterminée par la probabilité de survie d'un âge à l'autre pour cette année. Les améliorations de l'espérance de vie sont abordées à la sous-section suivante.

Comme dans le cas du 21^e rapport sur le RPC, les taux de mortalité historiques reposent sur les données observées jusqu'en 2001, tandis que les taux de mortalité de 2002 et de 2003 sont des estimations.

Graphique 9 Évolution historique de l'espérance de vie à la naissance



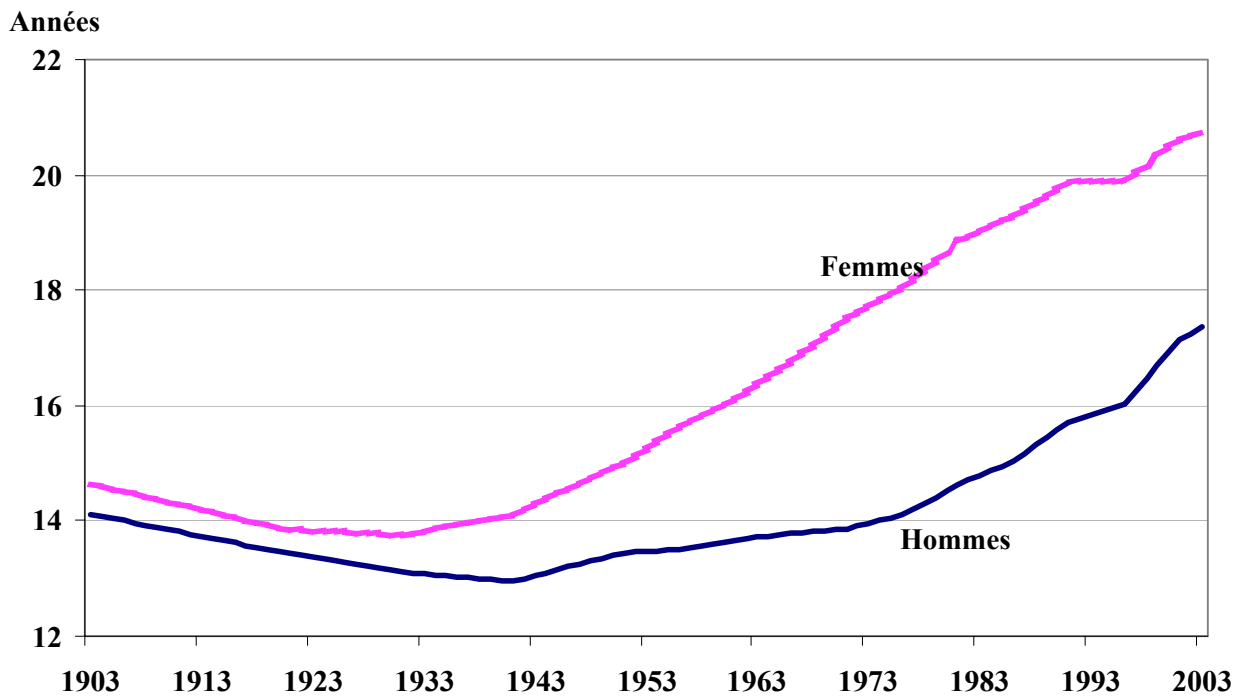
Les garçons et les filles nés en 1903 pouvaient s'attendre à vivre environ 52,1 et 52,7 ans respectivement. En 1953, ces chiffres atteignaient 67,2 et 71,9 respectivement, et, en 2003, ils avaient encore augmenté pour atteindre 77,5 ans pour les garçons et 82,4 ans pour les filles. L'écart de l'espérance de vie s'est creusé pour atteindre plus de sept ans au milieu des années 70. Depuis, il est en régression puisque l'espérance de vie des hommes a progressé davantage que celle des femmes.

À mesure que la population vieillit, il est intéressant d'examiner l'espérance de vie à des âges plus avancés. Le graphique 10 indique l'espérance de vie à 65 ans chez les hommes et les femmes. Comme pour le graphique 9, les améliorations futures de la mortalité à compter de 65 ans ne sont pas prises en compte.

En 2003, les hommes et les femmes de 65 ans pouvaient s'attendre à vivre encore 17,4 et 20,7 ans respectivement. L'écart de l'espérance de vie entre les femmes et les hommes à 65 ans s'est également rétréci, mais seulement plus récemment.

Au cours des premières décennies du XX^e siècle, il y a eu un accroissement de la mortalité tant chez les hommes que chez les femmes à 65 ans, ce qui a fait diminuer l'espérance de vie. Cela s'explique peut-être du fait que, au début du XX^e siècle, 65 ans représentait un âge nettement plus avancé qu'aujourd'hui, de sorte que les gens de 65 ans à l'époque ont connu une hausse de la mortalité semblable à celle observée chez les femmes de 85 ans et plus au cours des dernières années.

Graphique 10 Évolution historique de l'espérance de vie à 65 ans



B. Améliorations futures des taux de mortalité selon l'âge

Les taux de mortalité tirés de la publication de Statistique Canada intitulée *Tables de mortalité, Canada, provinces et territoires, 1995-1997* servent de points de départ pour

la projection des taux de mortalité. Afin de refléter l'amélioration soutenue anticipée de l'espérance de vie, les taux de mortalité pour la période de 1995 à 1997 ont été projetés à 2001 à partir des améliorations réelles de la mortalité entre 1996 et 2001. L'espérance de vie à la naissance et à 65 ans était comparable aux données publiées par Statistique Canada en 2001. Les taux de mortalité obtenus en 2001 ont ensuite été projetés à la fin de la période de projection de la même manière que pour le 21^e rapport sur le RPC. Les taux d'amélioration ultimes ont été fixés pour l'année 2026. Le tableau 14 indique l'hypothèse des taux d'amélioration de la mortalité et le tableau 15, les taux de mortalité résultants pour diverses années de la période de projection.

Tableau 14 Amélioration annuelle des taux de mortalité

Âge	Hommes		Femmes	
	2002-2006	2026+	2002-2006	2026+
	(%)	(%)	(%)	(%)
0	2,25	1,35	2,50	1,25
1 - 14	3,89	0,95	3,36	0,85
15 - 44	3,13	0,80	1,51	0,70
45 - 64	2,50	0,65	1,64	0,55
65 - 84	1,80	0,50	1,06	0,50
85 - 99	0,11	0,40	0,03	0,40

Il est prévu que l'amélioration de la mortalité diminuera avec l'âge. Cette hypothèse est conforme aux données historiques. L'une des raisons expliquant la diminution des améliorations est que, dans l'ensemble, il est plus facile de se remettre d'une maladie à un jeune âge plutôt qu'à un âge avancé. Il faudra plus de temps pour enrayer les principales maladies qui affectent les aînés, y compris les troubles cardiaques et respiratoires, le cancer, les accidents cérébrovasculaires, le diabète et la démence.

Tableau 15 Taux de mortalité
(nombre de décès par 1 000 personnes)

Âge	Hommes				Femmes			
	2003	2025	2050	2075	2003	2025	2050	2075
0	5,09	3,36	2,40	1,71	4,38	2,83	2,07	1,51
10	0,10	0,05	0,04	0,03	0,09	0,05	0,04	0,04
20	0,78	0,51	0,41	0,34	0,29	0,22	0,19	0,16
30	0,89	0,52	0,42	0,35	0,38	0,28	0,24	0,20
40	1,52	1,01	0,83	0,68	0,88	0,73	0,61	0,52
50	3,34	2,35	2,00	1,70	2,18	1,69	1,47	1,28
60	8,97	5,96	5,06	4,30	5,56	4,24	3,69	3,22
65	15,21	10,38	9,02	7,84	8,98	7,12	6,25	5,49
70	24,90	17,98	15,87	14,00	14,42	11,98	10,57	9,32
75	39,96	30,18	26,63	23,49	23,91	19,73	17,40	15,35
80	65,17	52,77	46,55	41,07	41,64	35,24	31,09	27,43
85	105,13	94,10	84,28	75,48	73,74	68,11	61,00	54,63

Selon les taux de mortalité projetés, une baisse continue est observée au fil du temps. Par exemple, le taux de mortalité des hommes de 65 ans devrait diminuer, passant de 15,21 décès par 1 000 personnes en 2003 à 7,84 décès par 1 000 personnes en 2075. L'écart entre les taux de mortalité des hommes et des femmes à un âge donné devrait également se résorber à long terme.

C. Espérance de vie

L'hypothèse est faite que l'espérance de vie des Canadiens et des Canadiennes continuera d'augmenter, mais plus lentement qu'au XX^e siècle. L'espérance de vie à la naissance d'un garçon devrait passer de 77,5 ans en 2003 à 83,4 ans en 2075. Chez les filles, elle devrait passer de 82,4 à 86,5 ans. Ces hypothèses supposent qu'il n'y aura pas d'améliorations futures de la mortalité. Par contre, en tenant compte des améliorations futures à cet égard, l'espérance de vie des hommes passera de 82,9 à 86,8 ans et celle des femmes, de 86,2 à 89,7 ans au cours de cette même période. Puisque la longévité tend à continuer d'augmenter, l'espérance de vie avec améliorations est jugée plus réaliste que celle qui en fait abstraction.

L'espérance de vie a considérablement augmenté au cours des 25 dernières années, ce qui est reflété à court terme dans les projections. Par la suite, l'on s'attend à ce que la progression de l'espérance de vie ralentisse, en accord avec l'hypothèse du faible taux d'amélioration de la mortalité à compter de 2026. Il est également prévu que l'écart de l'espérance de vie entre les femmes et les hommes continuera de s'amenuiser au fil du temps, sans toutefois disparaître complètement.

Les tableaux 16 et 17 permettent de comparer l'espérance de vie avec et sans améliorations futures de la mortalité. Le tableau 16 indique l'espérance de vie projetée à divers âges pour certaines années en supposant qu'il n'y aura pas d'amélioration future de la mortalité. Le tableau 17 fait état des mêmes chiffres pour l'espérance de vie, mais en tenant compte d'améliorations futures de la mortalité. L'évolution historique et projetée de l'espérance de vie à la naissance des hommes et des femmes, avec et sans améliorations futures de la mortalité, figure au graphique 11, tandis que le graphique 12 présente une évolution semblable pour l'âge 65.

Les améliorations de la mortalité ont un impact plus marqué sur l'accroissement prévu de l'espérance de vie à des âges moins élevés qu'à ceux plus avancés puisque les facteurs d'amélioration diminuent avec l'âge et sont appliqués sur une plus longue période. Par exemple, en 2075, les améliorations de la mortalité se traduisent par l'ajout de plus de 3 ans à l'espérance de vie des hommes et des femmes à la naissance par rapport à l'espérance de vie en l'absence de ces améliorations (soit 86,8 moins 83,4, ou 3,4 pour les hommes, et 89,7 moins 86,5, ou 3,2 pour les femmes). À 30 ans, la hausse n'est plus que de 2 ans pour les deux sexes et, à 85 ans, elle chute à 0,1 an.

Tableau 16 Espérances de vie, sans améliorations après l'année indiquée*

Âge	Hommes				Femmes			
	2003	2025	2050	2075	2003	2025	2050	2075
0	77,5	80,7	82,0	83,4	82,4	84,1	85,3	86,5
10	68,0	71,0	72,3	73,6	72,9	74,4	75,6	76,7
20	58,3	61,1	62,4	63,7	63,0	64,5	65,6	66,7
30	48,7	51,4	52,7	53,9	53,2	54,7	55,8	56,8
40	39,2	41,7	42,9	44,1	43,4	44,9	45,9	47,0
50	29,9	32,3	33,4	34,5	34,0	35,3	36,3	37,3
60	21,3	23,3	24,3	25,3	25,0	26,1	27,1	28,0
65	17,4	19,1	20,0	20,9	20,7	21,7	22,6	23,5
70	13,8	15,2	16,0	16,8	16,8	17,6	18,4	19,2
75	10,7	11,7	12,4	13,1	13,1	13,8	14,5	15,2
80	8,0	8,6	9,2	9,8	9,8	10,3	10,9	11,5
85	5,8	6,1	6,6	7,1	7,1	7,3	7,8	8,3

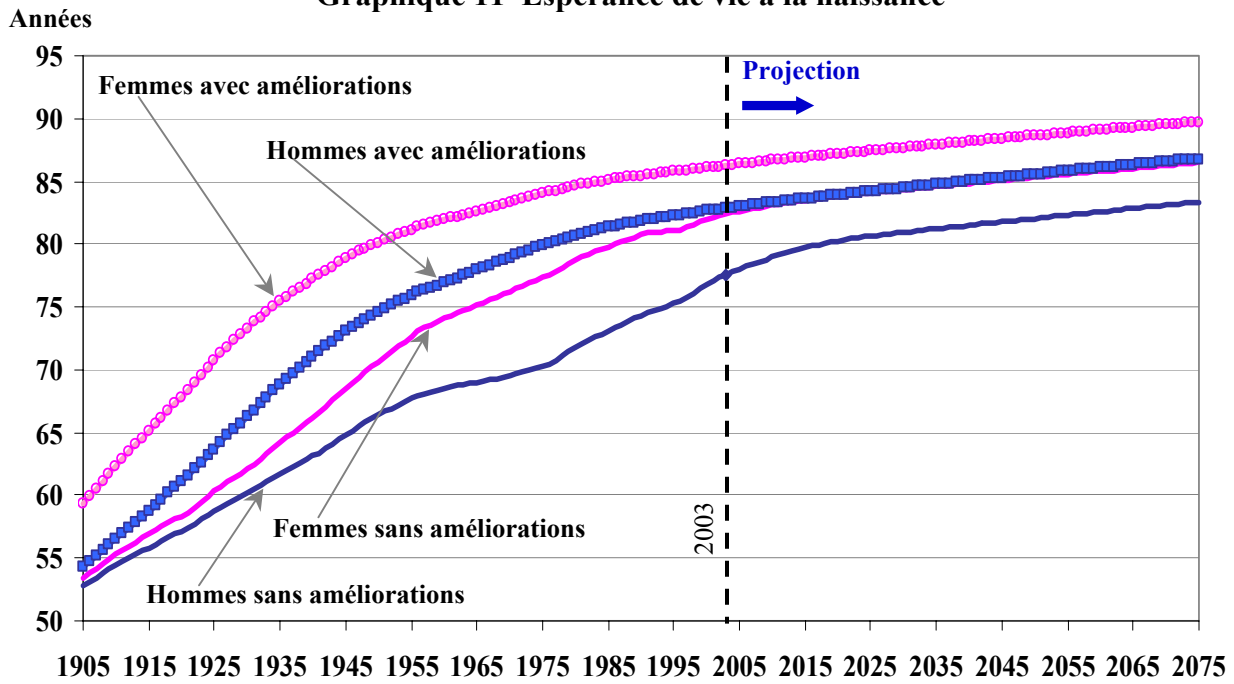
* Espérance de vie basée sur l'année civile d'après les taux de mortalité de l'année donnée.

Tableau 17 Espérances de vie, avec améliorations après l'année indiquée**

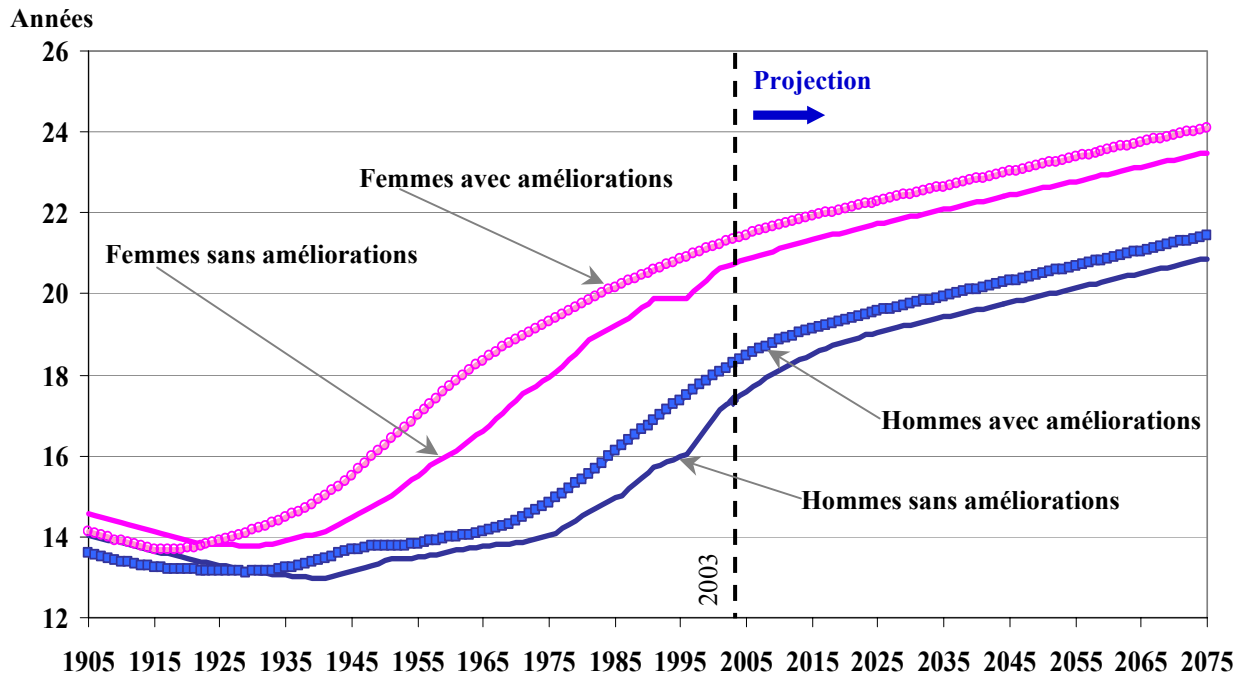
Âge	Hommes				Femmes			
	2003	2025	2050	2075	2003	2025	2050	2075
0	82,9	84,2	85,5	86,8	86,2	87,4	88,6	89,7
10	72,8	74,0	75,3	76,5	76,2	77,3	78,4	79,5
20	62,4	63,7	64,9	66,2	65,9	66,9	68,1	69,1
30	52,2	53,4	54,7	55,9	55,6	56,6	57,7	58,8
40	42,1	43,3	44,5	45,6	45,4	46,4	47,5	48,6
50	32,1	33,4	34,5	35,6	35,4	36,4	37,5	38,5
60	22,6	24,0	25,0	26,0	25,8	26,8	27,8	28,8
65	18,3	19,6	20,5	21,4	21,3	22,3	23,2	24,1
70	14,4	15,5	16,4	17,2	17,1	18,0	18,8	19,7
75	11,0	11,9	12,7	13,4	13,3	14,0	14,8	15,5
80	8,1	8,8	9,4	10,0	9,9	10,4	11,1	11,7
85	5,9	6,2	6,7	7,2	7,1	7,4	7,9	8,4

** Espérance de vie de la cohorte tenant compte de l'amélioration future de la longévité; diffère donc de l'espérance de vie basée sur l'année civile, qui repose sur les taux de mortalité de l'année donnée.

Graphique 11 Espérance de vie à la naissance



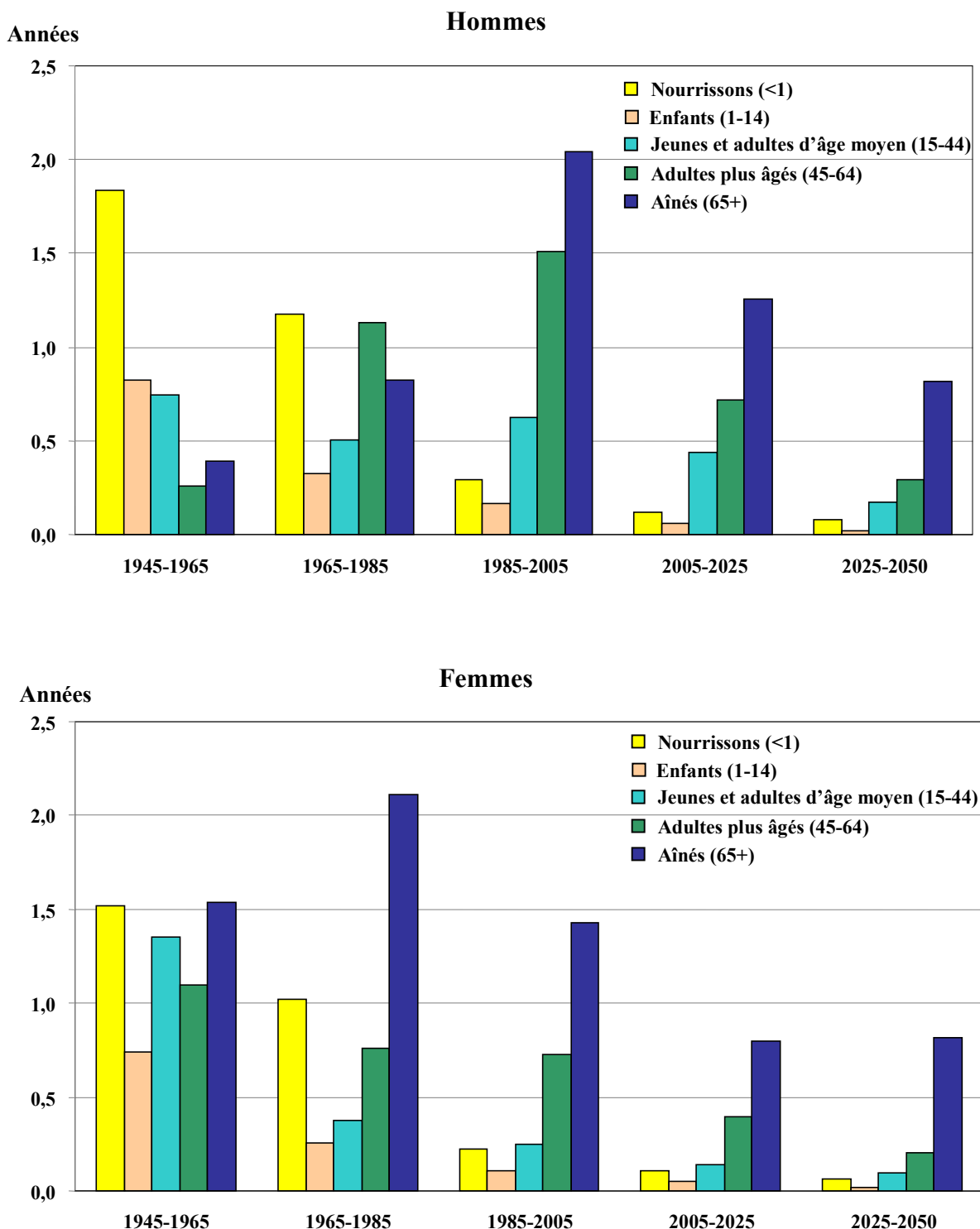
Graphique 12 Espérance de vie à 65 ans



Puisque la majeure partie des gains au chapitre de l'espérance de vie ont déjà été réalisés à des âges moins élevés, il est prévu que les membres des groupes d'âge plus avancés profiteront de gains relativement plus importants à ce chapitre à l'avenir.

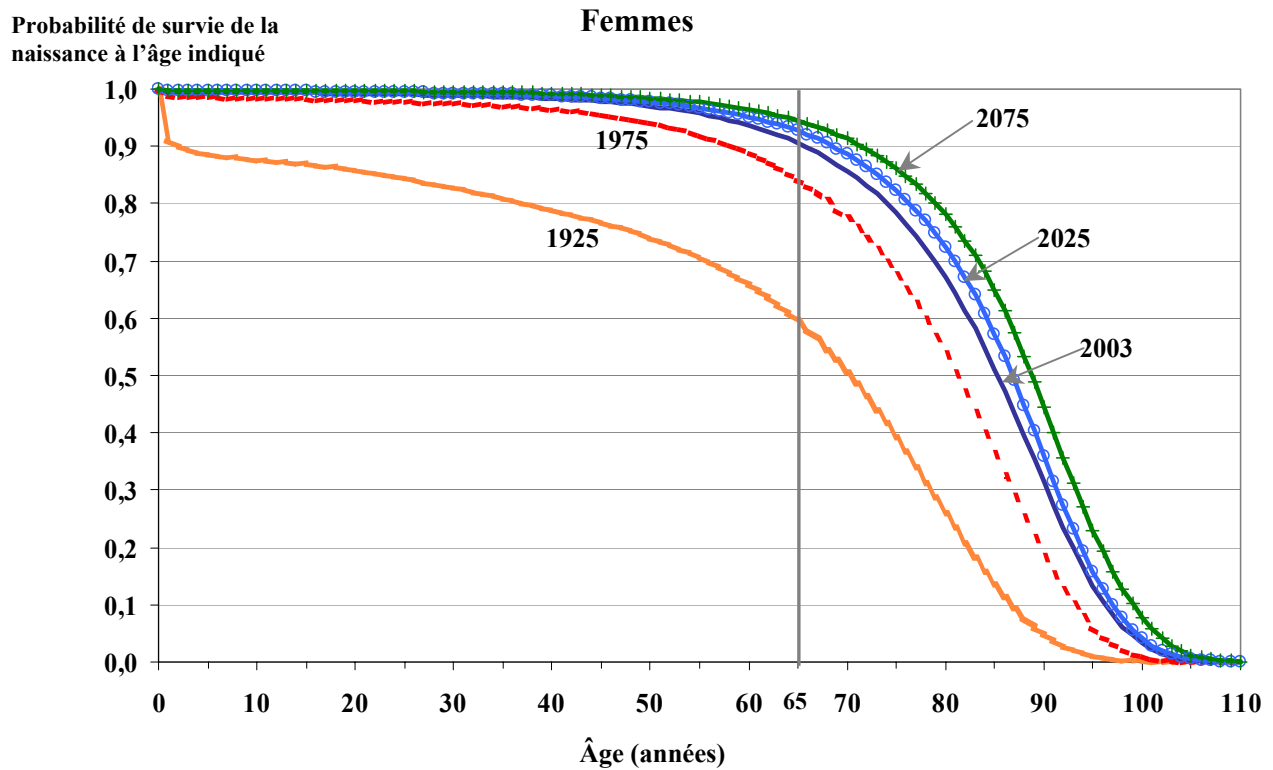
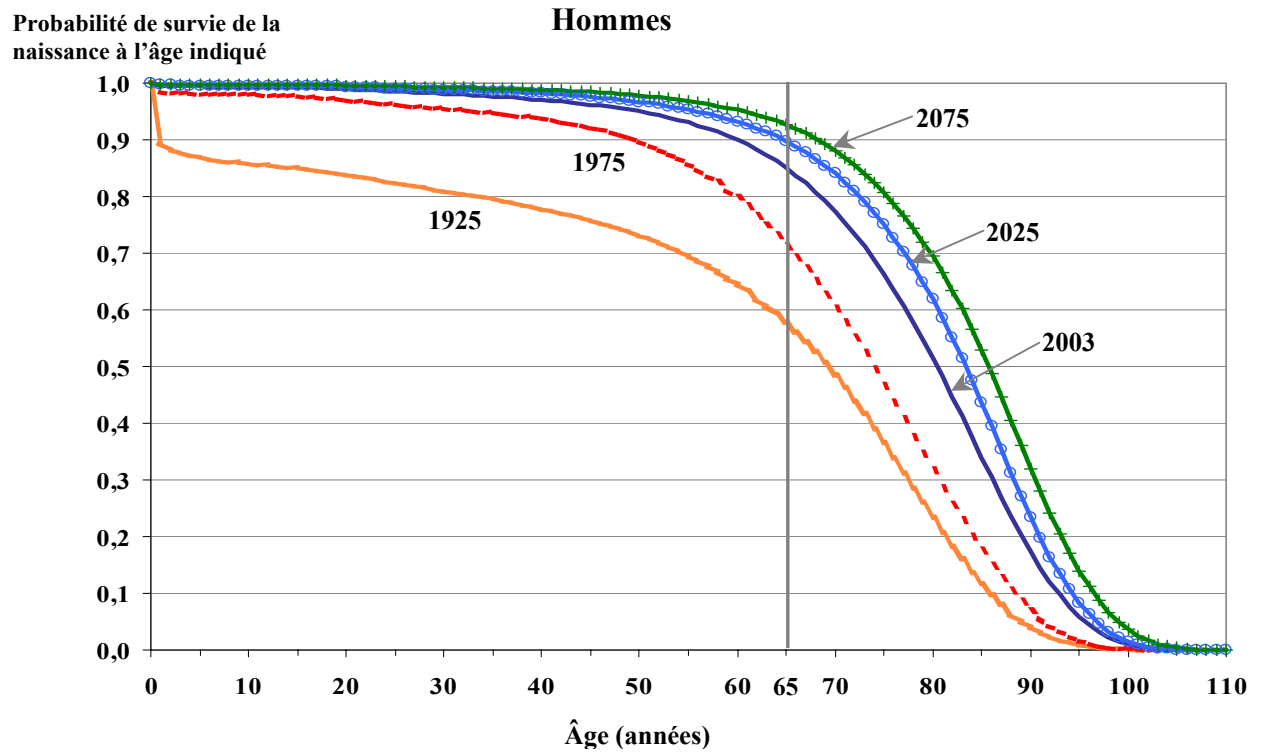
Le graphique 13 illustre la contribution relative historique et projetée à l'accroissement de l'espérance de vie, selon le sexe et le groupe d'âge. Les gains importants chez les nourrissons et les enfants au début du XX^e siècle s'estompent rapidement, tandis que la contribution des groupes d'âge plus avancés devient plus évidente au fil du temps.

Graphique 13 Contribution à l'augmentation de l'espérance de vie à la naissance



Les courbes de survie du graphique 14 signifient qu'il est peu probable qu'un nouveau-né atteigne un âge très avancé. Une courbe de survie à la naissance indique la probabilité qu'un nouveau-né atteigne un âge donné. La rectangularisation des courbes de survie au fil du temps entre 1925 et 2075 résulte de l'accroissement prévu de l'espérance de vie et du fait que l'âge maximal que l'on puisse atteindre est fixé à 110 ans. La probabilité de survivre au-delà de 110 ans est pratiquement nulle. Comme en témoigne l'intersection du trait vertical à 65 ans et des courbes de survie, la probabilité d'atteindre l'âge de 65 ans a considérablement augmenté par le passé. Un garçon né en 1925 avait une probabilité de 58 % d'atteindre l'âge de 65 ans. En 2003, cette probabilité avait grimpé à 85 % et, en 2075, elle devrait atteindre 93 %. Dans le cas d'une fille née en 1925, sa probabilité d'atteindre l'âge de 65 ans était de 60 %; cette probabilité a atteint 91 % en 2003 et devrait s'établir à 95 % en 2075. Il est prévu que les probabilités de survie continueront d'augmenter, mais plus lentement que par le passé.

Graphique 14 Courbes de survie à la naissance

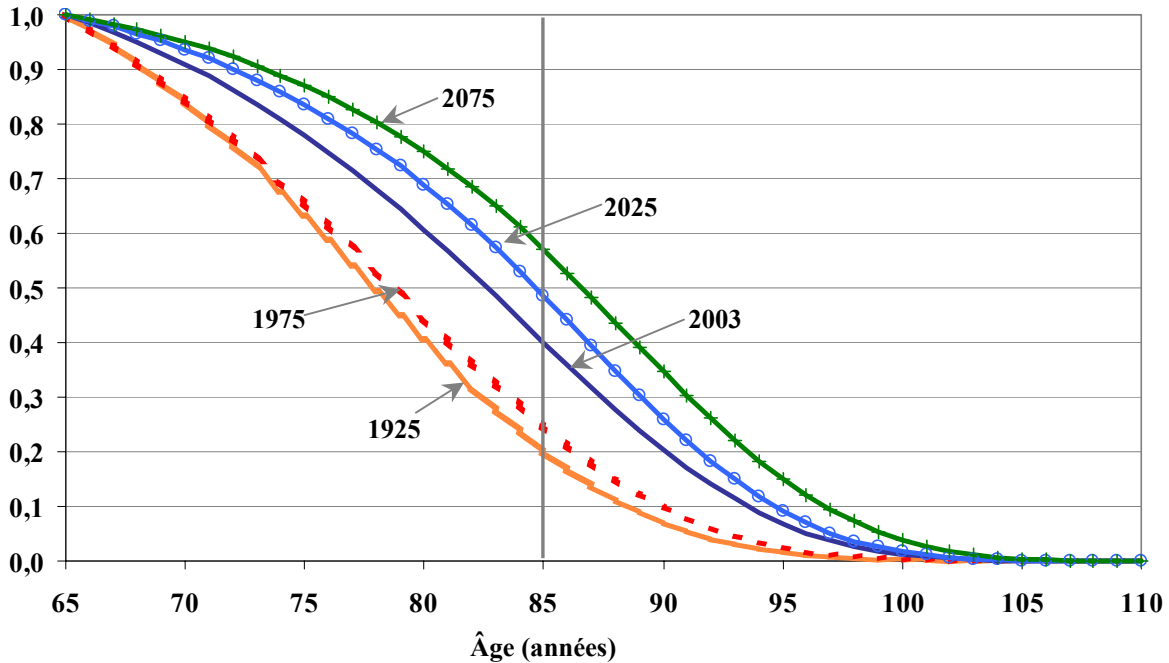


Les courbes de survie peuvent également être examinées à d'autres âges. À mesure que de plus en plus de gens atteignent l'âge normal de la retraite de 65 ans, il est intéressant de considérer les probabilités de survie à compter de cet âge. Le graphique 15 est semblable au graphique 14, sauf que la probabilité de survie est mesurée à partir de 65 ans.

Graphique 15 Courbes de survie à 65 ans

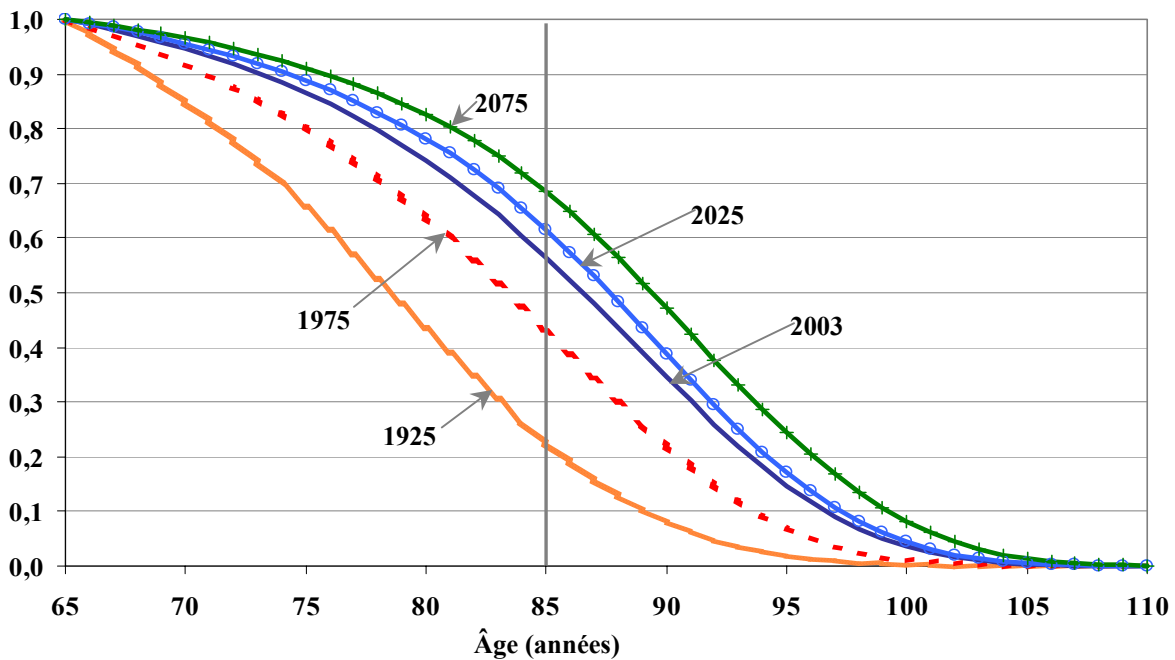
Probabilité de survie de
65 ans à l'âge indiqué

Hommes



Probabilité de survie de
65 ans à l'âge indiqué

Femmes



D'importants gains au chapitre de la probabilité de survie à compter de 65 ans ont déjà été réalisés. Entre 1925 et 2003, la probabilité qu'un homme de 65 ans atteigne l'âge de 85 ans a doublé, passant de 20 % à 40 %, et devrait atteindre 57 % en 2075. La probabilité pour une femme de 65 ans d'atteindre l'âge de 85 ans a plus que doublé, passant de 23 % à 56 % entre 1925 et 2003 et devrait grimper à 69 % en 2075. Ces probabilités sont illustrées dans les graphiques par l'intersection du trait vertical à 85 ans avec les courbes de survie. Les probabilités de survie à 65 ans devraient augmenter encore, mais plus lentement que par le passé.

De façon générale la probabilité de survivre à un âge plus avancé a augmenté depuis un siècle, et cette tendance devrait se poursuivre à un rythme plus lent. Le graphique 18 indique le nombre de personnes et la proportion de la population qui devraient atteindre des âges plus élevés. Plus particulièrement, la population de 65 ans et plus devrait plus que doubler, passant de 4,1 millions de personnes, ou 13 % de la population, en 2003, à 8,9 millions, ou 23 % de la population, en 2030. En 2075, 11,2 millions de personnes, ou 25 % de la population, feront partie de ce groupe. Le nombre des 80 ans et plus devrait également plus que doubler, passant de 1,0 million de personnes, ou 3 % de la population, en 2003 à 2,3 millions de personnes, ou 6 % de la population, en 2030. En 2075, ce groupe devrait englober 4,3 millions de personnes, ou 10 % de la population.

Une autre façon d'envisager le vieillissement de la population est de considérer la proportion de décès et l'âge moyen au décès au fil du temps (tableaux 19 et 20). Il est prévu que les décès chez les 85 ans et plus constitueront, à terme, la plus forte proportion de décès par rapport aux groupes d'âge plus jeunes, à mesure que les proportions des groupes plus jeunes diminueront. En 2075, plus de 57 % de tous les décès surviendront chez les 85 ans et plus. C'est ainsi que l'âge moyen au décès pour les deux sexes devrait être nettement supérieur à 80 ans en 2075.

Tableau 18 Population atteignant des âges plus avancés, nombre et proportions

Âge	Population (en milliers)						Proportion de la population (%)					
	2003	2010	2020	2030	2050	2075	2003	2010	2020	2030	2050	2075
65	243	318	468	509	515	514	0,8	1,0	1,3	1,3	1,2	1,2
70	218	241	380	487	479	474	0,7	0,7	1,0	1,3	1,2	1,1
75	185	194	271	403	404	441	0,6	0,6	0,7	1,0	1,0	1,0
80	139	159	182	293	348	407	0,4	0,5	0,5	0,8	0,8	0,9
85	75	104	118	170	289	322	0,2	0,3	0,3	0,4	0,7	0,7
90	29	51	65	77	173	195	0,1	0,2	0,2	0,2	0,4	0,4
65+	4 060	4 767	6 655	8 894	10 314	11 220	12,8	14,2	18,4	23,0	24,9	25,3
80+	1 034	1 306	1 566	2 297	3 674	4 305	3,3	3,9	4,3	5,9	8,9	9,7

Tableau 19 Répartition des décès selon le groupe d'âge, nombre et proportions

Année civile/ Groupe d'âge	Décès					Proportion de décès (%)				
	0-64	65-74	75-84	85+	Total	0-64	65-74	75-84	85+	Total
1950	58 400	28 000	26 000	11 400	123 700	47,2	22,6	21,0	9,2	100,0
1975	61 200	37 500	41 000	27 200	167 000	36,7	22,4	24,6	16,3	100,0
2003	51 900	46 000	70 000	59 700	227 600	22,8	20,2	30,8	26,2	100,0
2025	45 300	63 500	102 100	122 300	333 200	13,6	19,1	30,7	36,7	100,0
2050	40 000	61 100	131 600	276 600	509 400	7,9	12,0	25,8	54,3	100,0
2075	35 800	54 500	136 200	303 500	530 100	6,8	10,3	25,7	57,3	100,0

Tableau 20 Âge moyen au décès

Année	Hommes	Femmes
2003	70,1	76,4
2025	76,3	80,1
2050	81,1	84,4
2075	82,5	85,5

Il est également intéressant de considérer, au fil du temps, la fourchette d'âges où un pourcentage donné de décès est anticipé. Par exemple, prenons le chiffre de 70 % et examinons la progression, au fil du temps, de la fourchette d'âges pour laquelle surviendront 70 % des décès, comme l'indique le tableau 21. Ce tableau permet de constater les importants progrès historiques de l'espérance de vie. En 1925, environ 70 % des garçons nés cette année-là sont décédés entre 16 et 83 ans, c'est-à-dire que 15 % de ces garçons sont décédés prématurément avant l'âge de 16 ans et que les 15 % qui étaient les plus forts sont décédés à plus de 83 ans. En 2003, cette fourchette a progressé et a été réduite pour s'établir entre 66 et 90 ans. La fourchette chez les femmes a subi un déplacement et un rétrécissement comparable. Ici encore, il est prévu que cette tendance se poursuivra, mais plus lentement qu'auparavant.

Tableau 21 Évolution de la fourchette d'âge dans laquelle un pourcentage donné de décès est prévu

Année	Fourchette des hommes			Fourchette des femmes		
	15 %	70 %	15 %	15 %	70 %	15 %
1925	(0-15)	(16-83)	(84+)	(0-23)	(24-84)	(85+)
1950	(0-50)	(51-84)	(85+)	(0-55)	(56-86)	(87+)
1975	(0-55)	(56-86)	(87+)	(0-64)	(65-91)	(92+)
2003	(0-65)	(66-90)	(91+)	(0-70)	(71-94)	(95+)
2025	(0-69)	(70-92)	(93+)	(0-73)	(74-95)	(96+)
2050	(0-70)	(71-93)	(94+)	(0-74)	(75-96)	(97+)
2075	(0-72)	(73-94)	(95+)	(0-75)	(76-97)	(98+)

En 2002, près de 75 % des décès à des âges plus avancés étaient dus à des maladies du système circulatoire ou respiratoire, ou à des tumeurs. Il faudrait d'importants progrès de la médecine pour faire échec à ses causes afin de prolonger sensiblement l'espérance de vie à des âges plus avancés.

Même si l'espérance de vie a considérablement augmenté au XX^e siècle, l'âge maximum que l'on peut atteindre n'a guère progressé depuis des siècles. Les progrès de la médecine et l'amélioration des niveaux de vie ont prolongé l'espérance de vie prévue, mais l'âge maximum qu'un être humain peut atteindre n'a pas beaucoup augmenté. Cela s'explique en bonne partie du fait que le processus de vieillissement lui-même soulève encore beaucoup de questions. Jusqu'à ce que les mystères entourant le vieillissement soient compris, il sera difficile d'atteindre un âge maximum supérieur à 120 ans.

Même s'il est prévu que l'espérance de vie continuera d'augmenter, il est possible que des facteurs liés à la santé et à l'environnement freinent cette progression. L'incidence croissante de l'obésité chez les enfants et les adultes et le risque de complications connexes plus tard dans la vie comme le diabète et les maladies cardiaques qui en découlent, peuvent atténuer la progression projetée de l'espérance de vie. La menace de pandémies mondiales résultant de formes plus virulentes de maladies infectieuses est également une réalité qui peut avoir une incidence sur la longévité.

D. Comparaison des indicateurs du vieillissement entre les pays du G-8

Le Canada et les autres pays du G-8 (la France, l'Allemagne, l'Italie, le Japon, la Russie, le Royaume-Uni et les États-Unis) devraient tous voir leur population vieillir au fil du temps. Cette progression peut être observée au moyen de différents indicateurs du vieillissement. Le tableau 22 permet de comparer les pays du G-8 d'après divers indicateurs du vieillissement. Les données pour le Canada sont dérivées de celles du 21^e rapport sur le RPC, alors que les chiffres pour les autres pays du G-8 découlent de projections de la population mondiale établies par les Nations Unies.

Le tableau 22 montre que seuls l'Italie et le Japon devraient dépasser le Canada au chapitre de l'espérance de vie, tandis que la Russie demeurera loin derrière les autres pays à ce chapitre. L'âge médian dans tous les pays du G-8 devrait augmenter. Au Canada, il sera plus élevé qu'aux États-Unis, tout en demeurant nettement inférieur à celui de l'Allemagne, de l'Italie et du Japon.

Le vieillissement de la population de ces pays est mis davantage en évidence par les proportions projetées des 19 ans et moins, des 20 à 64 ans et des 65 ans et plus puisqu'on prévoit généralement que la population de moins de 65 ans chutera tandis que celle des 65 ans et plus augmentera. De plus, le groupe des 80 ans et plus augmentera sensiblement dans certains pays d'ici 2025, et plus particulièrement en Allemagne, en Italie et au Japon.

Le ratio de dépendance total des moins de 20 ans et des plus de 64 ans par rapport aux 20 à 64 ans augmentera également dans la plupart des pays. Au Canada, ce ratio devrait passer de 0,59 (soit la somme de 24,2 et de 13,1 divisée par 62,7) en 2005 à 0,72 (soit la somme de 21,0 et de 20,8 divisée par 58,2) en 2025, ce qui représente une

augmentation absolue de 0,13. Pour fin de comparaison, aux États-Unis, ce ratio devrait passer de 0,68 à 0,75, soit une augmentation absolue 0,07. Le Japon est, de loin, le pays où le ratio de dépendance total augmentera le plus; il passera de 0,64 à 0,86 (hausse absolue de 0,22) au cours de cette même période. Exception faite de la Russie, dont le ratio de dépendance total s'établira alors à 0,65, tous les pays du G-8 devraient afficher un ratio de dépendance total supérieur à 0,70 en 2025.

Les taux de croissance de la population de la plupart des pays sont en déclin, et deviendront même négatifs en Allemagne, en Italie, au Japon et en Russie. La progression de l'espérance de vie et le ralentissement général de l'accroissement de la population entraînera le vieillissement de cette dernière. Par conséquent, les pays du G-8 devront se livrer une concurrence de plus en plus vive pour attirer et conserver des travailleurs spécialisés grâce à l'immigration. De plus, à mesure que leur population vieillira, les pays du G-8 seront sans doute confrontés à des défis socio-économiques plus importants.

Tableau 22 Comparaison des indicateurs du vieillissement entre les pays du G-8

	Canada ^(*)	France	Allemagne	Italie	Japon	Russie	R.-U.	É.-U.
Espérance de vie à la naissance								
2005-2010	80,7	80,0	79,3	80,6	82,8	65,0	79,0	77,9
2010-2015	81,3	80,7	80,0	81,2	83,7	65,6	79,6	78,5
2015-2020	81,8	81,3	80,6	81,8	84,5	66,9	80,2	79,1
2020-2025	82,2	81,9	81,2	82,4	85,3	68,2	80,8	79,6
Âge médian								
2005	38,6	39,3	42,1	42,3	42,9	37,3	39,0	36,1
2010	40,0	40,5	44,1	44,3	44,4	37,9	40,3	36,6
2015	41,1	41,6	45,9	46,5	46,1	38,8	40,9	37,0
2020	42,0	42,5	46,9	48,6	48,0	40,0	41,2	37,6
2025	43,0	43,3	47,1	50,5	50,0	41,7	41,4	38,3
Pourcentage des 19 ans et moins								
2005	24,2	24,5	20,2	18,9	19,1	23,7	24,7	28,0
2010	22,7	23,9	18,8	18,6	18,4	21,1	23,4	27,2
2015	21,5	23,5	18,0	17,9	18,1	21,2	22,4	26,3
2020	21,0	23,0	17,8	17,3	17,5	22,0	22,1	25,8
2025	21,0	22,3	18,1	16,6	17,1	21,8	22,4	25,2
Pourcentage des 20 à 64 ans								
2005	62,7	58,9	61,0	61,1	61,1	62,6	59,4	59,7
2010	63,1	59,2	60,8	60,3	59,1	66,3	60,1	60,0
2015	62,3	57,5	61,2	59,1	55,9	65,5	59,5	59,6
2020	60,6	56,2	60,2	58,2	54,4	62,9	59,1	58,4
2025	58,2	55,1	58,0	57,0	53,8	60,6	57,8	57,1
Pourcentage des 65 ans et plus								
2005	13,1	16,6	18,8	20,0	19,7	13,8	16,0	12,3
2010	14,2	16,9	20,4	21,1	22,5	12,6	16,5	12,8
2015	16,2	19,0	20,7	23,0	26,0	13,3	18,1	14,1
2020	18,4	20,8	22,1	24,5	28,1	15,2	18,8	15,8
2025	20,8	22,6	23,9	26,4	29,1	17,6	19,8	17,7
Pourcentage des 80 ans et plus								
2005	3,5	4,7	4,4	5,1	4,8	2,2	4,4	3,6
2010	3,9	5,4	5,1	6,1	6,3	2,9	4,6	3,7
2015	4,1	5,8	5,6	7,0	7,8	3,0	4,7	3,6
2020	4,3	5,9	6,9	7,8	9,1	3,5	4,9	3,7
2025	4,9	6,0	7,5	8,4	10,6	3,0	5,3	4,1
Taux d'augmentation annuelle de la population (%)								
2005-2010	0,81	0,34	0,00	0,03	0,06	-0,45	0,28	0,92
2010-2015	0,79	0,26	-0,05	-0,12	-0,07	-0,48	0,30	0,85
2015-2020	0,78	0,20	-0,06	-0,24	-0,20	-0,53	0,35	0,77
2020-2025	0,70	0,14	-0,08	-0,29	-0,30	-0,59	0,37	0,68

(*) Les projections pour le Canada reposent sur les données du 21^e rapport sur le RPC. Celles des autres pays du G-8 s'appuient sur les projections démographiques des Nations Unies, révisées en 2004.

VIII. Migration

A. Immigration et émigration

Le phénomène de la migration comporte trois volets : l'immigration, l'émigration et le groupe de ceux qui émigrent pour ensuite revenir au Canada. L'émigration nette représente donc l'excédent de l'émigration sur ceux qui quittent mais reviennent éventuellement. Par ailleurs, la migration nette représente donc l'excédent de l'immigration sur l'émigration nette, c'est-à-dire le nombre net de gens qui immigrent au Canada.

Les données historiques sur l'immigration et l'émigration ont été volatiles et constituent donc des paramètres volatils de l'augmentation de la population au cours des années à venir. Cette volatilité résulte de nombreux facteurs dont les politiques gouvernementales, l'économie et les attitudes sociales. Entre 1975 et 2003, l'immigration annuelle au Canada a oscillé entre 84 000 et 267 000, l'émigration annuelle s'est située entre 40 000 et 78 000 et le nombre annuel de gens rentrant au Canada a varié entre 14 000 et 38 000.

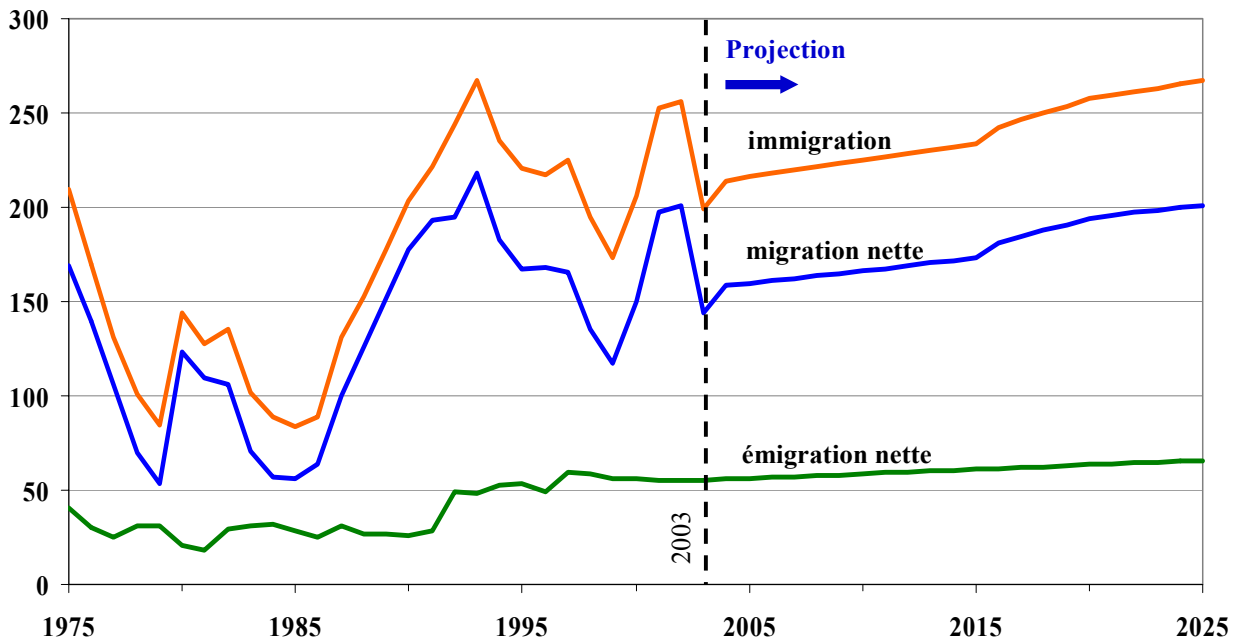
En 2003, plus de 199 000 personnes ont immigré au Canada alors que plus de 73 000 ont émigré et, de ce dernier groupe, près de 18 000 sont rentrés au pays. C'est ainsi que, en 2003, il y a eu 144 000 migrants nets, soit 0,45 % de la population. Les graphiques 16 et 17 indiquent l'évolution historique et projetée de la migration, en termes absolus et en pourcentage de la population, tandis que le tableau 23 montre l'évolution de la migration selon ses composantes.

B. Hypothèses de migration à court et à long terme

À court terme, soit entre 2004 et 2015, il est prévu que le taux de migration nette sera de 0,50 % de la population, ce qui devrait être viable au cours de cette période compte tenu de l'expansion prévue de l'économie. Dans des circonstances économiques plus favorables, l'émigration diminuerait probablement. Un niveau de 0,50 % correspond également à la moyenne des 30 dernières années. Pour la période de 2015 à 2020, cette proportion augmente graduellement pour s'établir à 0,54 % afin de tenir compte de la pénurie de main-d'œuvre anticipée. À long terme, c'est-à-dire à compter de 2020, il est prévu que cette proportion demeurera constante, à 0,54 %. Le niveau ultime de 0,54 % correspond à la moyenne des 15 à 20 dernières années. À mesure que la population augmente, cela se traduira par une population migrante de plus en plus importante. Il est prévu que le nombre de migrants nets au Canada augmentera graduellement, passant d'environ 144 000 en 2003 à plus de 201 000 en 2025, puis à plus de 238 000 en 2075.

La répartition des immigrants, des émigrants et des Canadiens de retour au pays, selon l'âge et le sexe, utilisée aux fins des projections démographiques correspond à la moyenne des données de Statistique Canada pour 1999 à 2003.

Graphique 16 Évolution de la migration
 (en milliers)



Graphique 17 Évolution de la migration en pourcentage de la population

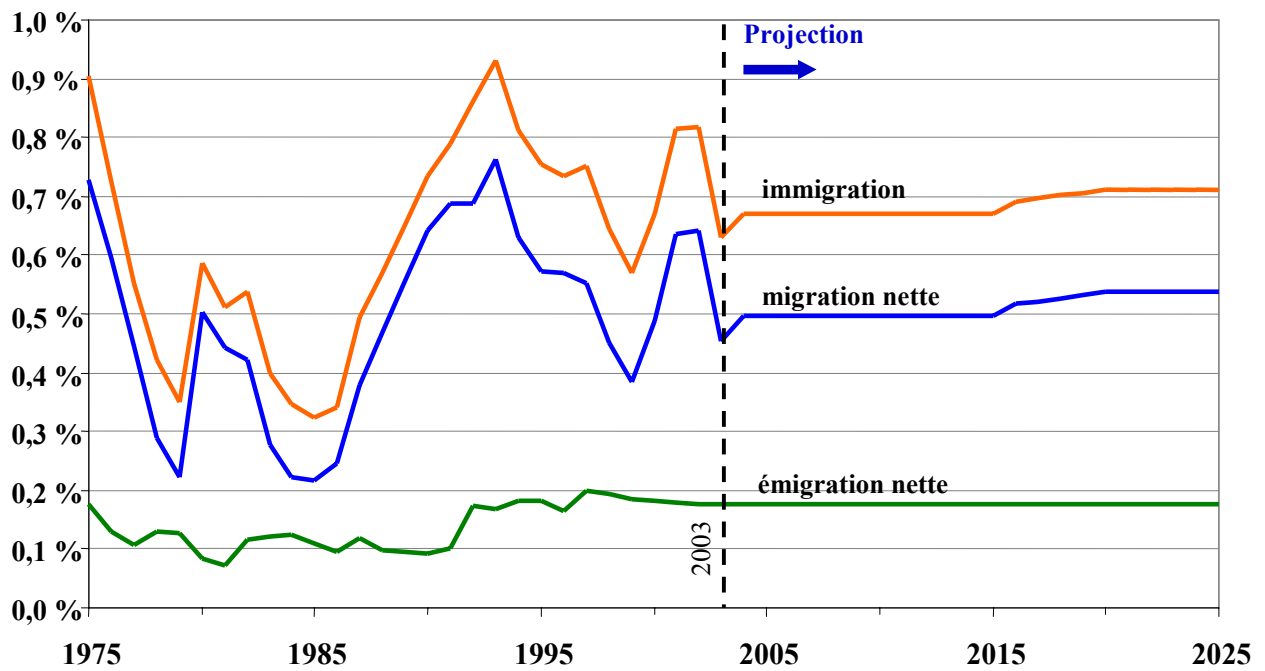


Tableau 23 Évolution de la migration selon la composante

Année (se terminant le 30 juin)	Immigration	Émigration	Retour au pays	Émigration nette	Migration nette
1975	209 300	78 000	37 500	40 500	168 800
1985	83 900	55 200	27 100	28 100	55 800
1995	220 700	71 800	18 400	53 400	167 300
2003	199 200	73 500	17 900	55 600	143 600
2004	214 200	73 700	17 900	55 800	158 400
2005	216 000	74 400	18 100	56 300	159 700
2006	217 800	75 000	18 300	56 700	161 000
2007	219 600	75 600	18 400	57 200	162 400
2008	221 300	76 200	18 600	57 700	163 700
2009	223 100	76 800	18 700	58 100	165 000
2010	224 900	77 400	18 800	58 600	166 300
2015	233 900	80 500	19 600	60 900	173 000
2020	257 600	83 700	20 400	63 400	194 200
2025	266 900	86 800	21 100	65 700	201 300
2030	275 000	89 400	21 800	67 700	207 400
2050	295 000	95 900	23 400	72 600	222 500
2075	315 800	102 700	25 000	77 700	238 100

C. Répartition selon l'âge et le sexe

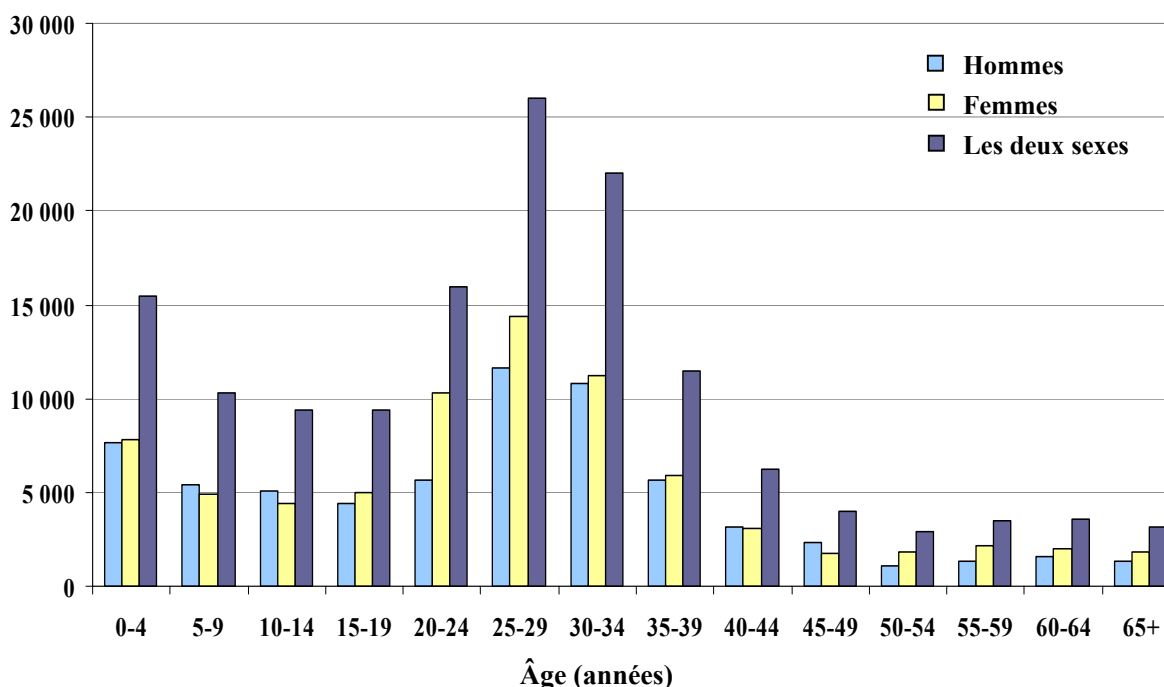
Selon les données historiques, les immigrants au Canada étaient relativement jeunes. En 1975, près de 88 % des hommes et 85 % des femmes qui ont immigré au Canada avaient moins de 40 ans. De ce nombre, 59 % des hommes et 57 % des femmes avaient entre 20 et 39 ans. Cette prépondérance des immigrants relativement jeunes s'est maintenue entre 1975 et 2003. Cette dernière année, 79 % des hommes et 80 % des femmes qui ont immigré au Canada avaient moins de 40 ans et, dans ce groupe, 62 % des hommes et 66 % des femmes avaient entre 20 et 39 ans. De plus, les enfants de moins de 10 ans comptaient pour une proportion considérable des moins de 40 ans (20 % en 2003). Les immigrants de 55 ans et plus ne représentaient que 6 % de l'ensemble des immigrants en 1975; leur proportion a généralement augmenté jusqu'au milieu des années 80 pour atteindre 16 % avant de reculer de façon globale à 7 % en 2003.

Toujours selon les données historiques, les émigrants nets étaient aussi relativement jeunes. Toutefois, une plus forte proportion d'entre eux avait 40 ans ou plus comparativement aux immigrants. En 2003, la proportion d'émigrants nets de plus de 40 ans était de 31 % pour les deux sexes, comparativement à 21 % pour les hommes et 20 % pour les femmes dans le cas des immigrants. Une autre différence à souligner à l'égard des données historiques est que le nombre d'émigrants nets âgés de moins de 5 ans et de ceux de 20 à 24 ans a été beaucoup plus faible que celui des immigrants de ces mêmes groupes d'âge. Chez les émigrants nets, ces groupes d'âge ont pesé

relativement peu sur la répartition tandis que, dans le cas des immigrants, aucune tendance n'a été décelée.

La répartition résultante des migrants nets (l'excédent des immigrants sur les émigrants nets) est relativement plus jeune que celle des immigrants : 84 % des migrants nets avaient moins de 40 ans en 2003 et la concentration autour des âges de moins de 10 ans et de 20 à 39 ans restait évidente. En 2003, 31 % de tous les migrants nets avaient moins de 20 ans, 67 % avaient entre 20 et 64 ans et seulement 2 % avaient plus de 65 ans. Le graphique 18 illustre la répartition des migrants nets en 2003.

Graphique 18 Répartition des migrants nets selon l'âge et le sexe en 2003

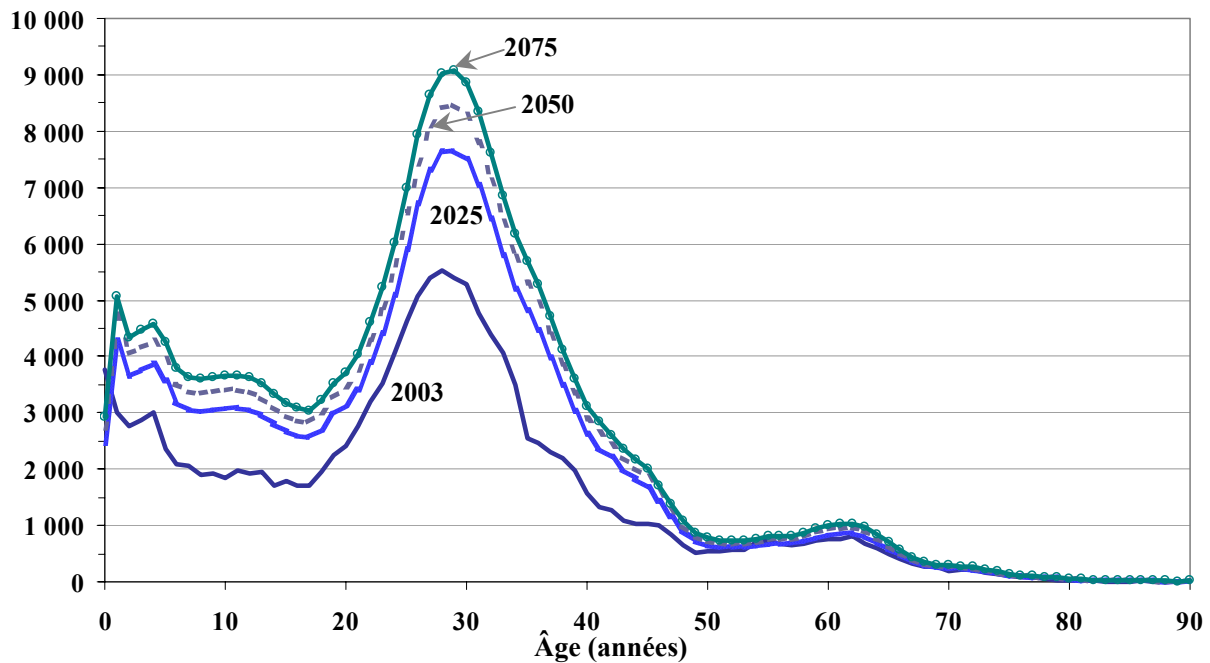


Il est prévu que l'évolution de la répartition des migrants nets selon l'âge demeurera semblable à la tendance historique, et que cette évolution sera similaire pour les hommes et les femmes. La répartition des migrants nets selon l'âge pour certaines années figure au graphique 19. Le nombre de migrants nets devrait continuer d'afficher des pics à des âges moins élevés, c'est-à-dire autour de la fin de la vingtaine, et, quoique dans une moindre mesure, chez les jeunes enfants. Le nombre de migrants près de la retraite, à l'âge de la retraite ou ayant dépassé l'âge de la retraite devrait demeurer relativement faible. Ce facteur est important puisqu'on prévoit que, à mesure que la population vieillira sous l'effet d'une plus grande longévité et du fait que le taux de fécondité demeurera inférieur au niveau de remplacement, le Canada comptera de plus en plus sur la migration pour disposer de travailleurs spécialisés pour remplacer ceux qui ont pris leur retraite ou ont quitté la population active pour d'autres raisons.

Au plan historique, l'âge moyen des immigrants et des émigrants nets a été inférieur à celui de la population générale. Par conséquent, l'âge moyen des migrants nets est également inférieur à celui de la population générale, comme l'indique le tableau 4 à la section III. En 2003, l'âge moyen des migrants était de 26,0 ans pour les hommes et de

26,9 ans pour les femmes. Par comparaison, l'âge moyen de la population générale était de 36,5 ans chez les hommes et de 38,6 ans chez les femmes. Toujours en 2003, pour les deux sexes combinés, l'âge moyen des immigrants, des émigrants nets et des migrants nets s'établissait à 28,3, 33,0 et 26,5 ans respectivement. Par comparaison, l'âge moyen de la population générale était de 37,6 ans en 2003.

Graphique 19 Répartition des migrants nets selon l'âge



Autrefois, le nombre de migrantes était généralement au moins aussi élevé que celui des migrants (tableau 24). Dorénavant, il est prévu qu'il le dépassera et que cet écart augmentera de façon graduelle. Le nombre de migrantes devrait croître de façon graduelle, passant d'environ 76 000 en 2003 à 124 000 en 2075. Chez les hommes, la hausse sera aussi graduelle, leur nombre passant de 67 000 à 114 000 au cours de cette même période.

Tableau 24 Migration nette selon le sexe

Année (se terminant le 30 juin)	Hommes	Femmes	Total
1975	87 200	81 600	168 800
1985	25 100	30 600	55 800
1995	78 300	89 000	167 300
2003	67 200	76 400	143 600
2004	75 500	82 900	158 400
2005	76 100	83 600	159 700
2006	76 700	84 300	161 000
2007	77 400	85 000	162 400
2008	78 000	85 700	163 700
2009	78 600	86 400	165 000
2010	79 200	87 100	166 300
2015	82 400	90 600	173 000
2020	92 700	101 500	194 200
2025	96 100	105 100	201 300
2030	99 000	108 300	207 400
2050	106 200	116 200	222 500
2075	113 700	124 400	238 100

IX. Analyses de sensibilité

Les projections de cette étude ont été dérivées à l'aide des mêmes hypothèses démographiques basées sur la meilleure estimation que le 21^e rapport sur le RPC. Compte tenu de la variabilité des principaux déterminants de la population (fécondité, mortalité et migration) et de la durée de la période de projection, il est certain que les résultats réels ne seront pas entièrement conformes aux hypothèses basées sur la meilleure estimation. Les analyses de sensibilité sont effectuées en projetant la population à l'aide d'hypothèses de rechange.

Les analyses de sensibilité ont été effectuées en modifiant séparément chacune des trois principales hypothèses et en maintenant les deux autres au niveau correspondant à la meilleure estimation. Deux analyses ont été faites pour chacune des hypothèses. Les hypothèses de rechange retenues visent à présenter un large éventail de résultats potentiels à long terme. Il n'est toutefois pas possible de simplement combiner les résultats parce qu'une modification à une hypothèse donnée peut se répercuter sur une autre à des degrés divers. Chacune de ces analyses de sensibilité est dite « élevée » ou « faible » par rapport à l'hypothèse correspondante basée sur la meilleure estimation.

Les analyses de sensibilité abordées dans la présente section se fondent sur une approche déterministe (c.-à-d. en supposant que les données de chaque hypothèse se situent à l'intérieur d'une fourchette déterminée) et prévoient uniquement un large éventail de résultats possibles pour chaque hypothèse.

Les analyses de sensibilité appliquées au taux de fécondité sont les mêmes que celles du 21^e rapport sur le RPC. L'analyse de « faible » mortalité et les deux analyses de la migration diffèrent de celles du 21^e rapport sur le RPC au sens où elles présentent des scénarios plus extrêmes que ceux de ce rapport.

A. Fécondité

Selon l'hypothèse basée sur la meilleure estimation concernant l'indice synthétique de fécondité, celui-ci augmentera légèrement, passant de 1,51 en 2001 à un niveau ultime de 1,60 en 2016. Cette hypothèse a des effets générationnels à long terme puisqu'une génération de nouveau-nés produit une génération de futures mères qui sont elles-mêmes sujettes à la même hypothèse. L'ampleur de cet effet cumulatif dépend de l'hypothèse du taux de fécondité.

Selon l'hypothèse de faible fécondité, le taux de fécondité recule à un niveau ultime de 1,30 en 2016. Cela représente la continuité de la tendance à la baisse observée. Par contre, l'hypothèse de fécondité élevée prévoit que le taux de fécondité augmentera pour atteindre un niveau ultime de 1,90 en 2016. Cela représente un retour aux niveaux habituels du début des années 70.

Le tableau 25 compare l'écart des taux annuels de fécondité et de l'indice synthétique de fécondité, de même que l'âge moyen des mères, d'après l'hypothèse de faible fécondité, l'hypothèse basée sur la meilleure estimation et l'hypothèse de fécondité élevée pour certaines années. L'effet des hypothèses de faible fécondité et de fécondité élevée sur les taux de fécondité annuels devrait être le plus marqué chez les femmes de

30 à 34 ans, et l'âge moyen des mères devrait se stabiliser à 29,4 ans pour les trois hypothèses puisque la tendance au report des naissances est maintenue.

Tableau 25 Indice synthétique de fécondité et âge moyen à la maternité sous diverses hypothèses de fécondité

Année	Taux annuel de fécondité selon le groupe d'âge (par 1 000 femmes)							Indice synthétique de fécondité par femme	Âge moyen à la maternité
	15-19	20-24	25-29	30-34	35-39	40-44	45-49		
Faible fécondité									
2004	13,2	47,5	88,6	90,2	36,3	6,3	0,3	1,41	28,9
2008	13,2	41,8	76,2	90,5	37,5	6,5	0,3	1,33	29,2
2012	13,2	41,8	66,9	90,8	38,6	6,8	0,3	1,29	29,4
2016+	13,2	41,8	66,9	91,2	39,7	7,0	0,3	1,30	29,4
Meilleure estimation									
2004	16,2	53,3	93,2	94,4	38,2	6,6	0,3	1,51	28,8
2008	16,2	51,4	87,0	100,3	41,8	7,3	0,3	1,52	29,0
2012	16,2	51,4	82,3	106,3	45,3	7,9	0,4	1,55	29,2
2016+	16,2	51,4	82,3	112,2	48,9	8,6	0,4	1,60	29,4
Fécondité élevée									
2004	19,2	59,1	97,8	98,6	40,0	6,9	0,3	1,61	28,6
2008	19,2	61,0	97,8	110,1	46,0	8,0	0,4	1,71	28,9
2012	19,2	61,0	97,7	121,7	52,1	9,1	0,4	1,81	29,1
2016+	19,2	61,0	97,7	133,2	58,1	10,2	0,5	1,90	29,4

Sous l'hypothèse de faible fécondité, la population croît beaucoup plus lentement et atteint des niveaux inférieurs de 4 % en 2030, et de 18 % en 2075, à ceux de l'hypothèse basée sur la meilleure estimation. La proportion de la population comprise dans les groupes d'âge plus jeunes diminue puisque la fécondité plus faible fait en sorte que la population vieillit plus rapidement. En 2075, la proportion des 65 ans et plus grimpe à 30 % et celle des 80 ans et plus augmente pour s'établir à 12 % (tableau 26). Pour fin de comparaison, ces proportions sont de 25 % et 10 % respectivement selon l'hypothèse basée sur la meilleure estimation.

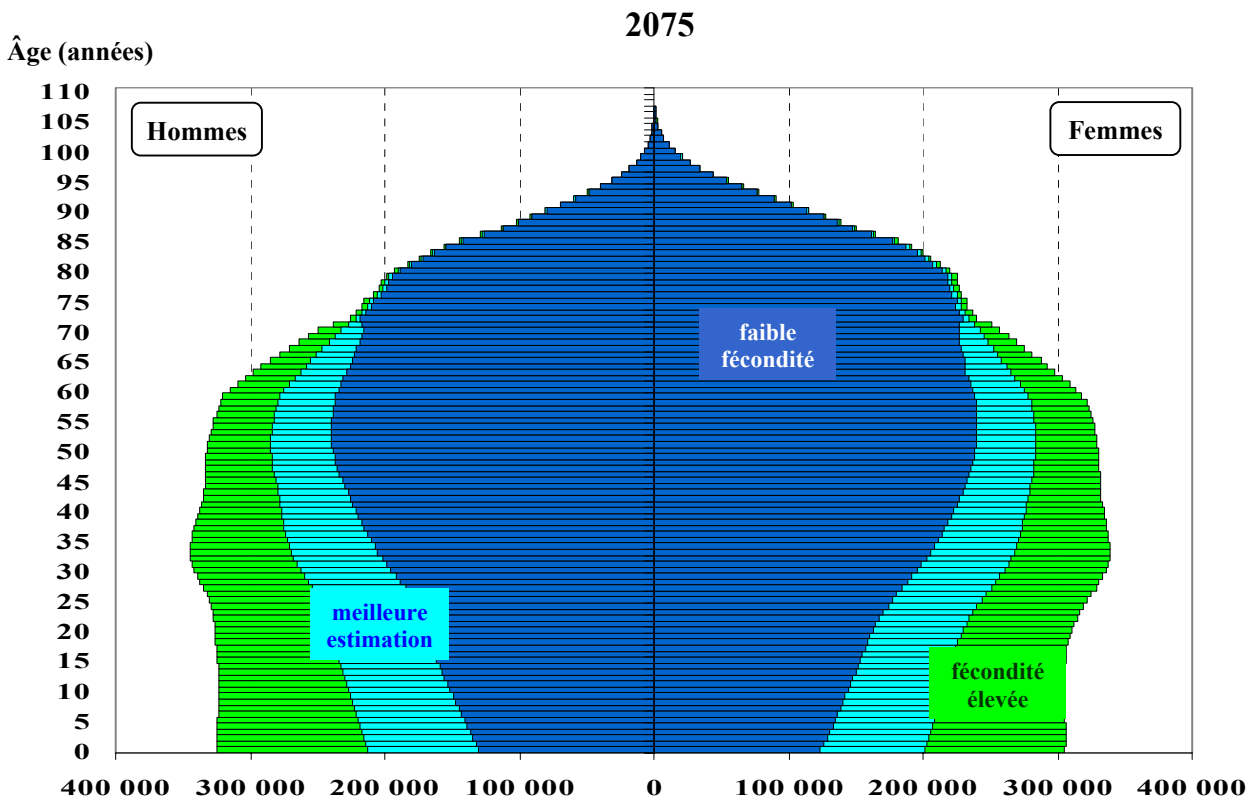
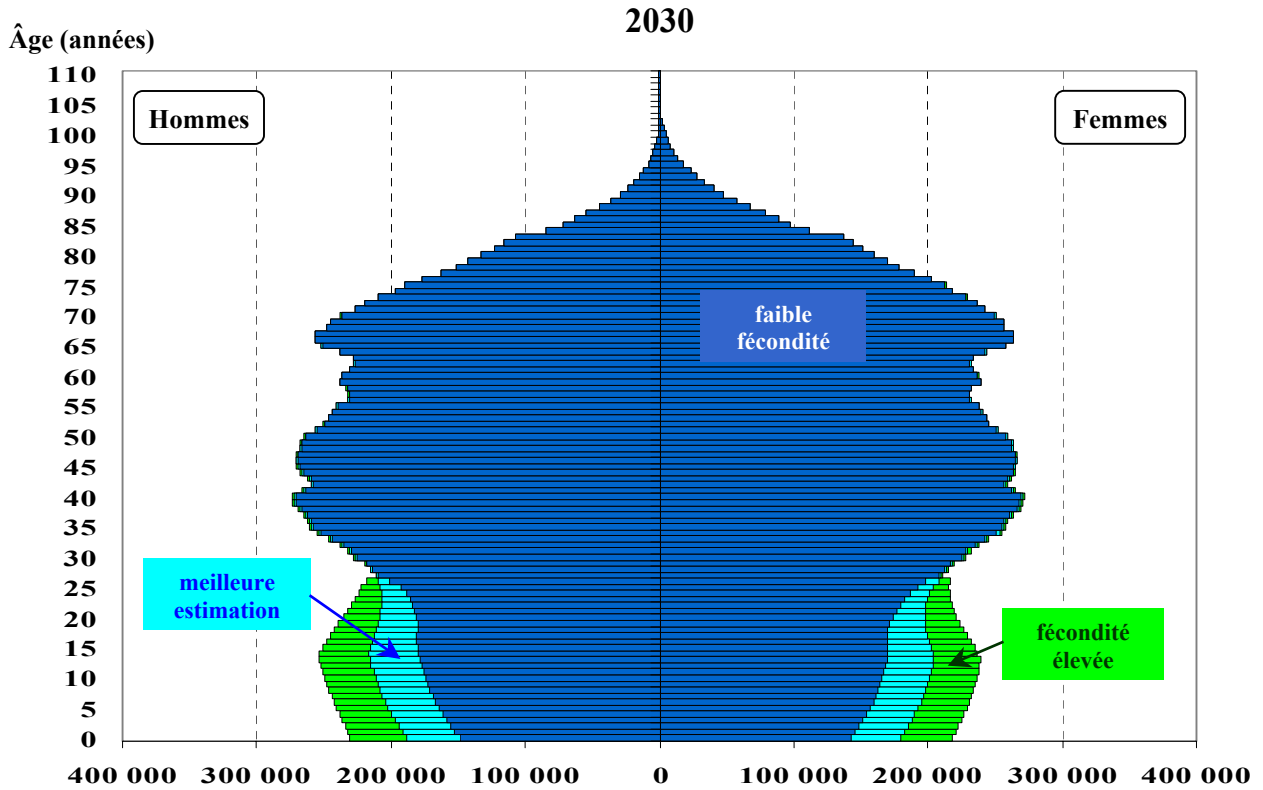
Tableau 26 Population par groupe d'âge (en milliers) et proportions relatives sous diverses hypothèses de fécondité

Année	Tous les âges	0-19		20-64		65 et plus		80 et plus	
2003	31 630	7 902	25,0 %	19 667	62,2 %	4 060	12,8 %	1 034	3,3 %
Faible fécondité									
2005	32 121	7 751	24,1 %	20 152	62,7 %	4 219	13,1 %	1 119	3,5 %
2010	33 236	7 351	22,1 %	21 118	63,5 %	4 767	14,3 %	1 306	3,9 %
2015	34 262	6 927	20,2 %	21 689	63,3 %	5 646	16,5 %	1 444	4,2 %
2020	35 272	6 714	19,0 %	21 905	62,1 %	6 654	18,9 %	1 566	4,4 %
2025	36 176	6 646	18,4 %	21 727	60,1 %	7 803	21,6 %	1 824	5,0 %
2030	36 876	6 647	18,0 %	21 340	57,9 %	8 889	24,1 %	2 297	6,2 %
2050	37 349	6 164	16,5 %	20 901	56,0 %	10 284	27,5 %	3 669	9,8 %
2075	36 140	5 858	16,2 %	19 449	53,8 %	10 832	30,0 %	4 268	11,8 %
Meilleure estimation									
2005	32 162	7 791	24,2 %	20 152	62,7 %	4 219	13,1 %	1 119	3,5 %
2010	33 482	7 595	22,7 %	21 120	63,1 %	4 767	14,2 %	1 306	3,9 %
2015	34 819	7 475	21,5 %	21 698	62,3 %	5 647	16,2 %	1 444	4,1 %
2020	36 202	7 619	21,0 %	21 928	60,6 %	6 655	18,4 %	1 566	4,3 %
2025	37 495	7 878	21,0 %	21 813	58,2 %	7 805	20,8 %	1 825	4,9 %
2030	38 608	8 056	20,9 %	21 659	56,1 %	8 894	23,0 %	2 297	5,9 %
2050	41 367	8 229	19,9 %	22 824	55,2 %	10 314	24,9 %	3 674	8,9 %
2075	44 274	8 811	19,9 %	24 242	54,8 %	11 220	25,3 %	4 305	9,7 %
Fécondité élevée									
2005	32 202	7 831	24,3 %	20 152	62,6 %	4 219	13,1 %	1 119	3,5 %
2010	33 729	7 839	23,2 %	21 123	62,6 %	4 767	14,1 %	1 306	3,9 %
2015	35 378	8 024	22,7 %	21 707	61,4 %	5 647	16,0 %	1 444	4,1 %
2020	37 134	8 526	23,0 %	21 951	59,1 %	6 656	17,9 %	1 567	4,2 %
2025	38 820	9 114	23,5 %	21 899	56,4 %	7 807	20,1 %	1 825	4,7 %
2030	40 359	9 483	23,5 %	21 978	54,5 %	8 898	22,0 %	2 298	5,7 %
2050	45 702	10 582	23,2 %	24 776	54,2 %	10 344	22,6 %	3 678	8,0 %
2075	53 766	12 598	23,4 %	29 551	55,0 %	11 617	21,6 %	4 344	8,1 %

Sous l'hypothèse de fécondité élevée, la population augmente beaucoup plus rapidement pour s'établir à des niveaux supérieurs de 5 % en 2030, et de 21 % en 2075, à ceux de l'hypothèse basée sur la meilleure estimation. La proportion de la population comprise dans les groupes d'âge plus jeunes progresse puisque le taux de fécondité plus élevé fait en sorte que la population vieillit moins rapidement. En 2075, la proportion des 65 ans et plus grimpe à 22 % et celle des 80 ans et plus, à 8 %.

Le graphique 20 compare l'effet résultant sur la structure de la population par groupe d'âge en 2030 et en 2075 selon l'hypothèse basée sur la meilleure estimation, l'hypothèse de faible fécondité et l'hypothèse de fécondité élevée. Il montre aussi les différences dans la taille de la population et les tendances au rajeunissement ou au vieillissement de la population selon l'hypothèse retenue. En 2030, les effets des différentes hypothèses de fécondité sont observables jusqu'à l'âge de 27 ans environ, après quoi les populations fusionnent alors que l'effet de la fécondité disparaît. En 2075, les effets des différentes hypothèses sont beaucoup plus prononcés, les populations ne fusionnant qu'autour de 80 ans.

Graphique 20 Structure par âge de la population sous diverses hypothèses de fécondité



D'après l'hypothèse de faible fécondité, la population est plus âgée puisqu'elle vieillit plus rapidement que sous l'hypothèse basée sur la meilleure estimation, et cela s'amplifie avec le temps. Les ratios de dépendance des jeunes et des retraités à la population en âge de travailler (tableau 27) en témoignent. En 2075, le ratio de dépendance des jeunes recule à 30 jeunes par 100 travailleurs, ce qui est beaucoup moins que le ratio correspondant de l'hypothèse basée sur la meilleure estimation (36 jeunes par 100 travailleurs). Le ratio de dépendance des retraités augmente sensiblement pour atteindre 56 retraités par 100 travailleurs, ce qui est nettement plus élevé que les 46 retraités par 100 travailleurs prévus par l'hypothèse basée sur la meilleure estimation. L'effet combiné des ratios des jeunes et des retraités donne lieu à un ratio de dépendance total de 86 jeunes et retraités par 100 travailleurs en 2075, ce qui dépasse celui de 83 jeunes et retraités par 100 travailleurs prévu par l'hypothèse basée sur la meilleure estimation.

Selon l'hypothèse de fécondité élevée, la population est plus jeune puisqu'elle vieillit moins rapidement que sous l'hypothèse basée sur la meilleure estimation, et cet effet s'amplifie avec le temps. En 2075, le ratio de dépendance des jeunes grimpe à 43 jeunes par 100 travailleurs, ce qui est beaucoup plus élevé que ce que prévoit l'hypothèse basée sur la meilleure estimation. Le ratio de dépendance des retraités atteint 39 retraités par 100 travailleurs, ce qui est beaucoup plus faible que d'après l'hypothèse basée sur la meilleure estimation. Il y a encore des hausses marquées dans les groupes d'âge avancé puisque la population continue de vieillir, ce qui compense l'effet d'une plus grande fécondité. Toutefois, ces augmentations sont beaucoup plus ténues que sous l'hypothèse de faible fécondité. L'effet combiné des ratios des jeunes et des retraités donne lieu à un ratio de dépendance total de 82 jeunes et retraités par 100 travailleurs en 2075, ce qui est moins élevé que celui de l'hypothèse basée sur la meilleure estimation.

Tableau 27 Ratios de dépendance sous diverses hypothèses de fécondité
(par 100 personnes en âge de travailler)

Année	Faible fécondité			Meilleure estimation			Fécondité élevée		
	0-19 à 20-64	65+ à 20-64	0-19 et 65+ à 20-64	0-19 à 20-64	65+ à 20-64	0-19 et 65+ à 20-64	0-19 à 20-64	65+ à 20-64	0-19 et 65+ à 20-64
2003	40	21	61	40	21	61	40	21	61
2005	38	21	59	39	21	60	39	21	60
2010	35	23	57	36	23	59	37	23	60
2020	31	30	61	35	30	65	39	30	69
2030	31	42	73	37	41	78	43	40	84
2050	29	49	79	36	45	81	43	42	84
2075	30	56	86	36	46	83	43	39	82

B. Mortalité

On prévoit que les améliorations de la mortalité se poursuivront. Les taux ultimes d'amélioration ont été établis en ajustant les résultats d'une étude détaillée de l'Office of the Chief Actuary of the United States Social Security Administration sur les

tendances de la mortalité selon l'âge, le sexe et la cause du décès pour refléter, en partie, les écarts historiques des améliorations de la mortalité entre le Canada et les États-Unis. Les taux d'amélioration sont maintenus à leur niveau actuel pour les 5 premières années de la période de projection puis diminuent progressivement pour atteindre leurs niveaux ultimes en 2026.

Sous l'hypothèse de faible mortalité, il est prévu que les améliorations sont plus rapides. Les taux d'amélioration sont réputés atteindre progressivement 350 % des niveaux de l'hypothèse basée sur la meilleure estimation en 2026. Par comparaison, sous l'hypothèse de mortalité élevée, les améliorations sont réputées être plus lentes et les taux d'amélioration diminuent progressivement pour descendre à 0 en 2026. Le tableau 14 de la section VII indique les taux d'amélioration de la mortalité selon l'hypothèse basée sur la meilleure estimation.

À mesure que la mortalité varie, l'espérance de vie en fait autant. Les tableaux 28 et 29 montrent l'espérance de vie à la naissance, à 65 ans et à 80 ans d'après les trois hypothèses pour certaines années. Le graphique 21 compare les espérances de vie historiques et projetées à la naissance selon l'hypothèse et le sexe. Le tableau 28 et le graphique 21 ne prévoient aucune amélioration de la mortalité après les années indiquées, tandis que le tableau 29 comprend les améliorations de la mortalité.

Tableau 28 Espérances de vie sous diverses hypothèses de mortalité sans améliorations après l'année indiquée

	Hommes			Femmes		
	Mortalité élevée	Meilleure estimation	Faible mortalité	Mortalité élevée	Meilleure estimation	Faible mortalité
2010						
À la naissance	78,9	79,0	79,0	83,1	83,1	83,2
À 65 ans	18,1	18,1	18,2	21,1	21,1	21,2
À 80 ans	8,2	8,2	8,3	9,9	9,9	10,0
2030						
À la naissance	80,1	80,9	82,9	83,6	84,4	86,1
À 65 ans	18,7	19,2	20,6	21,4	21,9	23,2
À 80 ans	8,4	8,7	9,6	10,0	10,4	11,3
2075						
À la naissance	80,1	83,4	90,3	83,6	86,5	92,7
À 65 ans	18,7	20,9	26,3	21,4	23,5	28,6
À 80 ans	8,4	9,8	13,7	10,0	11,5	15,5

L'effet de l'hypothèse de mortalité devient plus prononcé au fil du temps. En 2010, un nouveau-né ne verrait guère de différence dans son espérance de vie sous l'hypothèse de faible mortalité ou de mortalité élevée par rapport à l'hypothèse basée sur la meilleure estimation (tableau 28). Toutefois, en 2075, l'espérance de vie d'un nouveau-né serait réduite d'environ 3 ans sous l'hypothèse de mortalité élevée et augmentée de 6 et 7 ans respectivement sous l'hypothèse de faible mortalité et d'après l'hypothèse basée sur la meilleure estimation. L'accroissement marqué de l'effet au fil du temps se manifeste également à des âges plus avancés. Par exemple, une femme âgée de 80 ans en 2010 pourrait s'attendre à vivre encore 10 ans sous l'hypothèse de faible mortalité, mais seulement 0,1 an de plus d'après l'hypothèse basée sur la meilleure estimation. En 2075, cette femme vivrait encore 15,5 ans, soit 4 ans de plus que sous l'hypothèse basée sur la meilleure estimation.

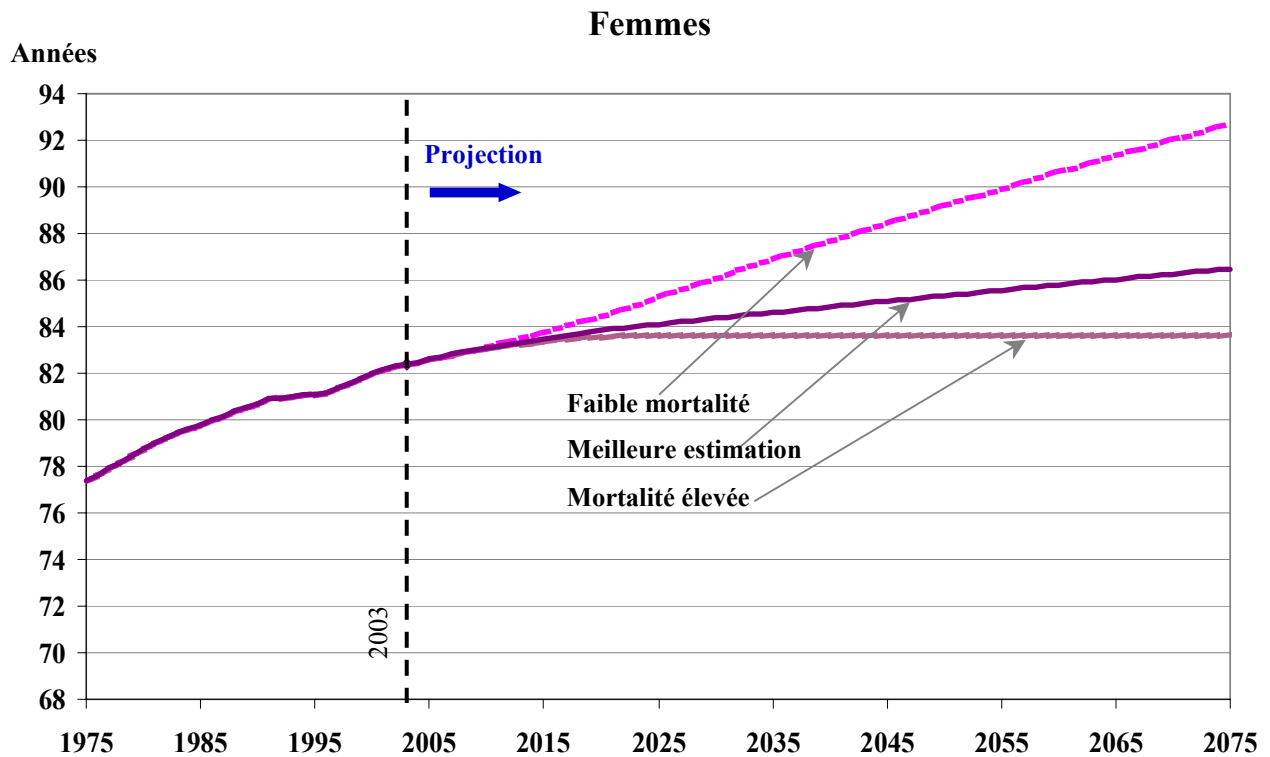
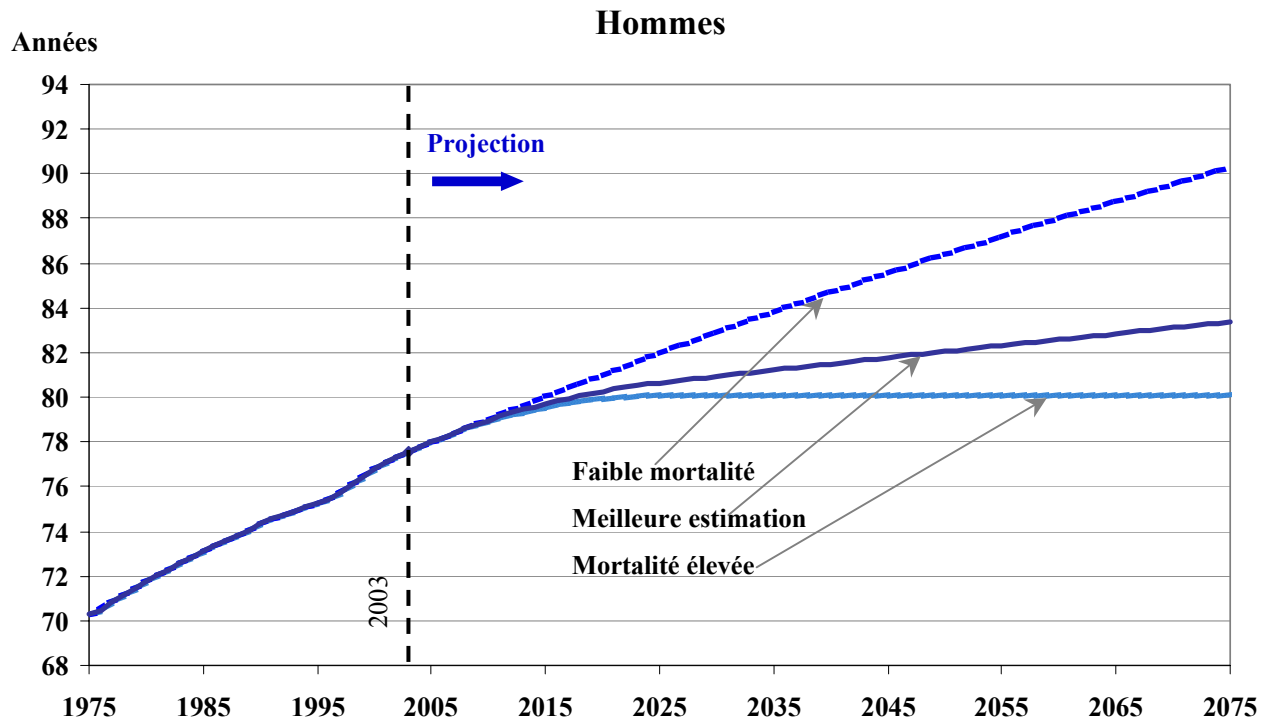
Tableau 29 Espérances de vie sous diverses hypothèses de mortalité avec améliorations après l'année indiquée

		Hommes			Femmes		
		Mortalité élevée	Meilleure estimation	Faible mortalité	Mortalité élevée	Meilleure estimation	Faible mortalité
2010	À la naissance	80,0	83,3	91,7	83,6	86,6	94,5
	À 65 ans	18,5	18,8	19,8	21,3	21,7	22,8
	À 80 ans	8,3	8,3	8,5	9,9	10,0	10,3
2030	À la naissance	80,1	84,5	95,1	83,6	87,7	97,5
	À 65 ans	18,7	19,8	22,6	21,4	22,5	25,4
	À 80 ans	8,4	8,9	10,2	10,0	10,6	12,0
2075	À la naissance	80,1	86,8	100,5	83,6	89,7	102,4
	À 65 ans	18,7	21,4	28,8	21,4	24,1	31,3
	À 80 ans	8,4	10,0	14,7	10,0	11,7	16,5

Dans les tableaux 28 et 29, l'espérance de vie en 2030 et en 2075, sous l'hypothèse de mortalité élevée est la même. Cela s'explique du fait que, d'après cette hypothèse, aucune amélioration de la mortalité n'est réputée survenir après 2025.

Si l'on fait abstraction des améliorations futures de la mortalité, l'espérance de vie à la naissance devrait dépasser 90 ans en 2075 pour les hommes et les femmes sous l'hypothèse de faible mortalité. Si l'on tient compte des améliorations de la mortalité, l'espérance de vie à la naissance devrait dépasser 95 ans en 2030 et 100 ans en 2075, tant chez les hommes que les femmes, sous l'hypothèse de faible mortalité.

Graphique 21 Espérance de vie à la naissance sous diverses hypothèses de mortalité sans améliorations après l'année indiquée



Sous l'hypothèse de faible mortalité, la population atteint, en 2075, un niveau supérieur de 8 % à celui prévu par l'hypothèse basée sur la meilleure estimation. À long terme, l'effet est plus prononcé à des âges avancés dans la mesure où le faible taux de mortalité ajoute davantage à la population en âge avancé qu'à la population plus jeune. En 2075, la proportion des 65 ans et plus est de 29 % et celle des 80 ans et plus, de 14 % (tableau 30).

Tableau 30 Population selon l'âge (en milliers) et proportions relatives sous diverses hypothèses de mortalité

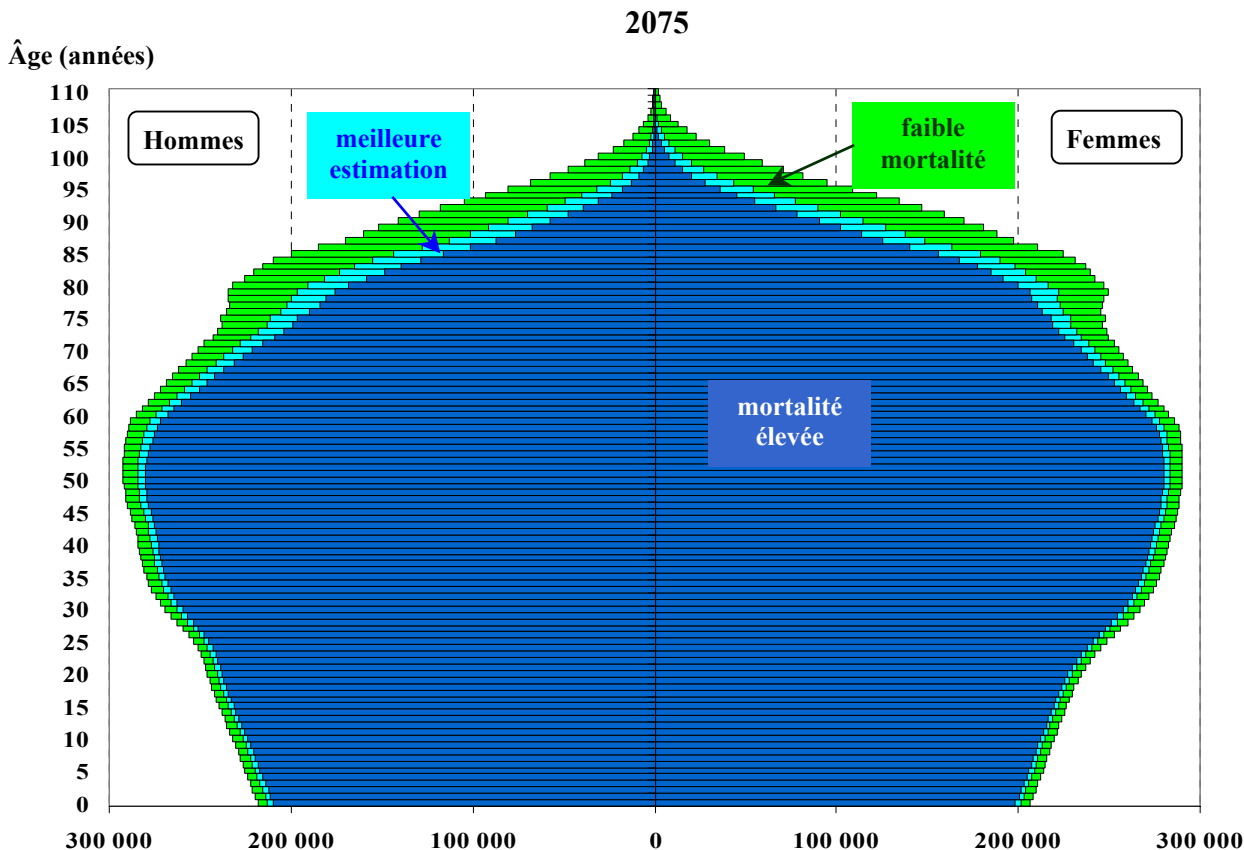
Année	Tous les âges	0-19		20-64		65 est plus		80 est plus	
2003	31 630	7 902	25,0 %	19 667	62,2 %	4 060	12,8 %	1 034	3,3 %
Faible mortalité									
2005	32 162	7 791	24,2 %	20 152	62,7 %	4 219	13,1 %	1 119	3,5 %
2010	33 485	7 595	22,7 %	21 121	63,1 %	4 769	14,2 %	1 308	3,9 %
2015	34 843	7 476	21,5 %	21 703	62,3 %	5 664	16,3 %	1 454	4,2 %
2020	36 282	7 622	21,0 %	21 944	60,5 %	6 716	18,5 %	1 602	4,4 %
2025	37 683	7 883	20,9 %	21 847	58,0 %	7 953	21,1 %	1 910	5,1 %
2030	38 975	8 068	20,7 %	21 718	55,7 %	9 190	23,6 %	2 476	6,4 %
2050	43 027	8 294	19,3 %	23 067	53,6 %	11 665	27,1 %	4 686	10,9 %
2075	47 918	9 019	18,8 %	24 886	51,9 %	14 012	29,2 %	6 504	13,6 %
Meilleure estimation									
2005	32 162	7 791	24,2 %	20 152	62,7 %	4 219	13,1 %	1 119	3,5 %
2010	33 482	7 595	22,7 %	21 120	63,1 %	4 767	14,2 %	1 306	3,9 %
2015	34 819	7 475	21,5 %	21 698	62,3 %	5 647	16,2 %	1 444	4,1 %
2020	36 202	7 619	21,0 %	21 928	60,6 %	6 655	18,4 %	1 566	4,3 %
2025	37 495	7 878	21,0 %	21 813	58,2 %	7 805	20,8 %	1 825	4,9 %
2030	38 608	8 056	20,9 %	21 659	56,1 %	8 894	23,0 %	2 297	5,9 %
2050	41 367	8 229	19,9 %	22 824	55,2 %	10 314	24,9 %	3 674	8,9 %
2075	44 274	8 811	19,9 %	24 242	54,8 %	11 220	25,3 %	4 305	9,7 %
Mortalité élevée									
2005	32 162	7 791	24,2 %	20 152	62,7 %	4 219	13,1 %	1 119	3,5 %
2010	33 481	7 595	22,7 %	21 120	63,1 %	4 766	14,2 %	1 306	3,9 %
2015	34 810	7 475	21,5 %	21 696	62,3 %	5 639	16,2 %	1 439	4,1 %
2020	36 170	7 618	21,1 %	21 921	60,6 %	6 630	18,3 %	1 552	4,3 %
2025	37 417	7 875	21,0 %	21 798	58,3 %	7 745	20,7 %	1 790	4,8 %
2030	38 454	8 051	20,9 %	21 632	56,3 %	8 771	22,8 %	2 225	5,8 %
2050	40 653	8 197	20,2 %	22 703	55,8 %	9 753	24,0 %	3 279	8,1 %
2075	42 652	8 707	20,4 %	23 899	56,0 %	10 046	23,6 %	3 473	8,1 %

Sous l'hypothèse de mortalité élevée, la population atteint, en 2075, un niveau de 4 % supérieur à ce que prévoit l'hypothèse basée sur la meilleure estimation. À long terme, l'effet est plus marqué à des âges avancés dans la mesure où la mortalité plus élevée comprime davantage la population plus âgée que la population plus jeune. En 2075, la proportion des 65 ans et plus augmente à 24 % et celle des 80 ans et plus, à 8 %.

Le graphique 22 compare la structure de la population par groupe d'âge d'après l'hypothèse basée sur la meilleure estimation, l'hypothèse de faible mortalité et celle de mortalité élevée en 2075. Les populations sont indiquées pour l'année 2075 et non pour une année plus récente puisque l'effet des améliorations changeantes de la

mortalité ne devient plus évident qu'à long terme. Le graphique 22 montre les différences sur la taille de la population selon les hypothèses et l'effet à des âges avancés.

Graphique 22 Structure par âge de la population sous diverses hypothèses de mortalité



Sous l'hypothèse de faible mortalité, l'espérance de vie s'accroît, d'où une population plus âgée que sous l'hypothèse basée sur la meilleure estimation. Ce vieillissement s'accroît avec le temps puisque l'effet de la mortalité survient principalement aux âges plus avancés. C'est ainsi que le ratio de dépendance des jeunes n'est guère touché au fil du temps par rapport à l'hypothèse basée sur la meilleure estimation (tableau 31). Toutefois, le ratio de dépendance des retraités augmente à 56 retraités par 100 travailleurs en 2075, ce qui est nettement plus élevé que le ratio prévu par l'hypothèse basée sur la meilleure estimation. L'effet combiné des ratios de jeunes et de retraités se traduit par un ratio de dépendance total de 93 jeunes et retraités par 100 travailleurs en 2075, ce qui est beaucoup plus élevé que ce que prévoit l'hypothèse basée sur la meilleure estimation.

Sous l'hypothèse de mortalité élevée par rapport à l'hypothèse basée sur la meilleure estimation, l'espérance de vie diminue, ce qui donne lieu à une population plus jeune dont le rajeunissement s'amplifie au fil du temps. Puisque l'effet de la mortalité se fait surtout sentir à des âges plus avancés, le ratio de dépendance des jeunes ne varie guère au fil du temps. En contre-partie, le ratio de dépendance des retraités grimpe à 42 retraités par 100 travailleurs, ce qui est inférieur à ce que prévoit l'hypothèse basée

sur la meilleure estimation. Il y a quand même des hausses appréciables dans les groupes d'âges plus avancés puisque le vieillissement de la population l'emporte sur la mortalité accrue. Toutefois, ces augmentations sont beaucoup plus modestes que sous l'hypothèse de faible mortalité. L'effet combiné des ratios de jeunes et de retraités donne lieu à un ratio de dépendance total de 78 jeunes et retraités par 100 travailleurs en 2075, ce qui est beaucoup plus faible que celui prévu par l'hypothèse basée sur la meilleure estimation

Tableau 31 Ratios de dépendance sous diverses hypothèses de mortalité
(par 100 personnes en âge de travailler)

Année	Faible mortalité			Meilleure estimation			Mortalité élevée		
	0-19 à 20-64	65+ à 20-64	0-19 et 65+ à 20-64	0-19 à 20-64	65+ à 20-64	0-19 et 65+ à 20-64	0-19 à 20-64	65+ à 20-64	0-19 et 65+ à 20-64
2003	40	21	61	40	21	61	40	21	61
2005	39	21	60	39	21	60	39	21	60
2010	36	23	59	36	23	59	36	23	59
2020	35	31	65	35	30	65	35	30	65
2030	37	42	79	37	41	78	37	41	78
2050	36	51	87	36	45	81	36	43	79
2075	36	56	93	36	46	83	36	42	78

C. Migration

Sous l'hypothèse basée sur la meilleure estimation, le taux ultime de migration est fixé à 0,54 % de la population à compter de 2020. Ce niveau est atteint en deux étapes. Premièrement, il demeure constant à 0,50 % 2004 et 2015 pour atteindre progressivement le niveau ultime de 0,54 % en 2020. Le niveau ultime de migration est conforme aux données observées depuis 15 à 25 ans. Soulignons que la « migration » s'entend ici de la migration nette.

L'hypothèse de faible migration (nulle) prévoit que le taux de migration atteindra le niveau ultime de 0 % de la population en 2010 et s'y maintiendra par la suite. Cela représente le scénario extrême de migration nulle à compter de 2010, de sorte que l'accroissement de la population serait entièrement naturel, et donc attribuable à l'excédent des naissances sur les décès. Par comparaison, l'hypothèse de migration élevée prévoit que le taux de migration nette augmentera à un niveau ultime de 1 % de la population en 2010 et s'y maintiendra par la suite. Cette hypothèse est plus élevée que la cible d'immigration d'environ 1 % à long terme déterminée par Citoyenneté et Immigration Canada dans son plan d'immigration pour 2002 intitulé *Maintenir l'engagement du Canada en matière d'immigration*. L'hypothèse est plus élevée que cette cible puisqu'elle s'applique à la migration nette, et non uniquement à l'immigration.

Le graphique 23 compare le nombre de migrants nets par groupe d'âge sous l'hypothèse basée sur la meilleure estimation et l'hypothèse de migration élevée en 2030 et en 2075. En 2010, il est prévu que la migration nette sous l'hypothèse de faible immigration est nulle, de sorte qu'elle ne figure pas dans ce graphique. La tendance

des pics relatifs pour les âges inférieurs à 5 ans et entre 25 et 29 ans sous l'hypothèse basée sur la meilleure estimation se retrouve également dans l'hypothèse de migration élevée, mais de façon plus prononcée. Le tableau 32 indique les projections du total de migrants pour certaines années.

Graphique 23 Migration nette selon l'âge sous diverses hypothèses de migration
 (en milliers)

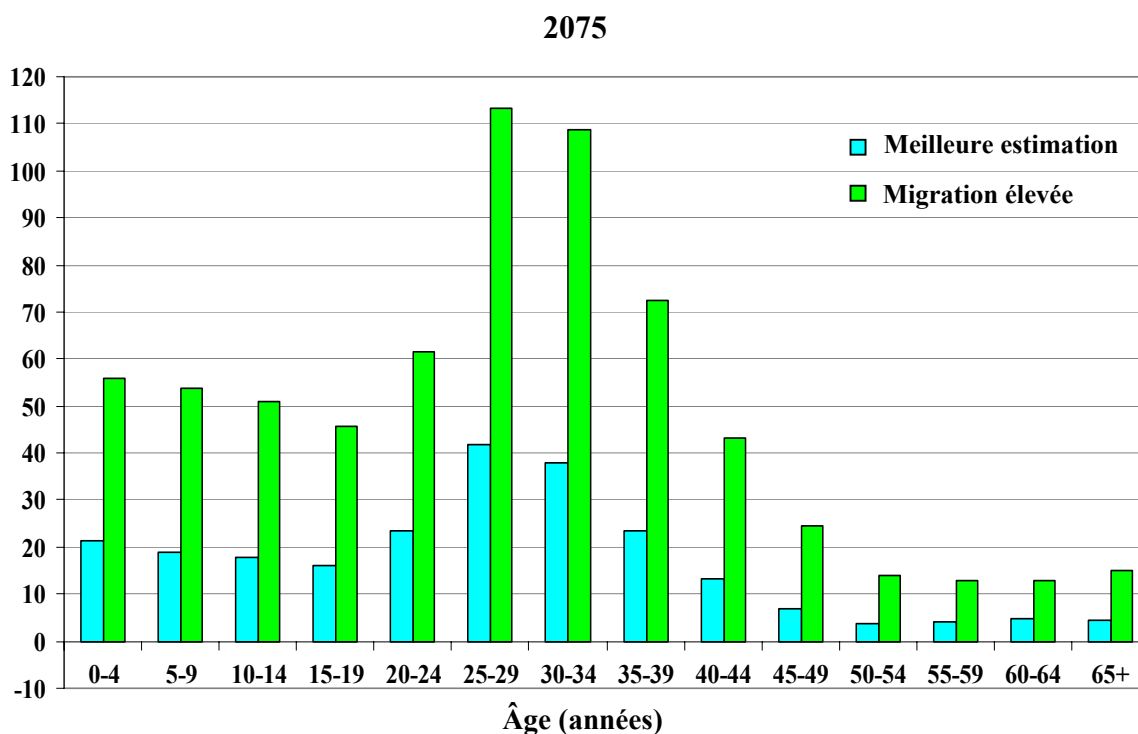
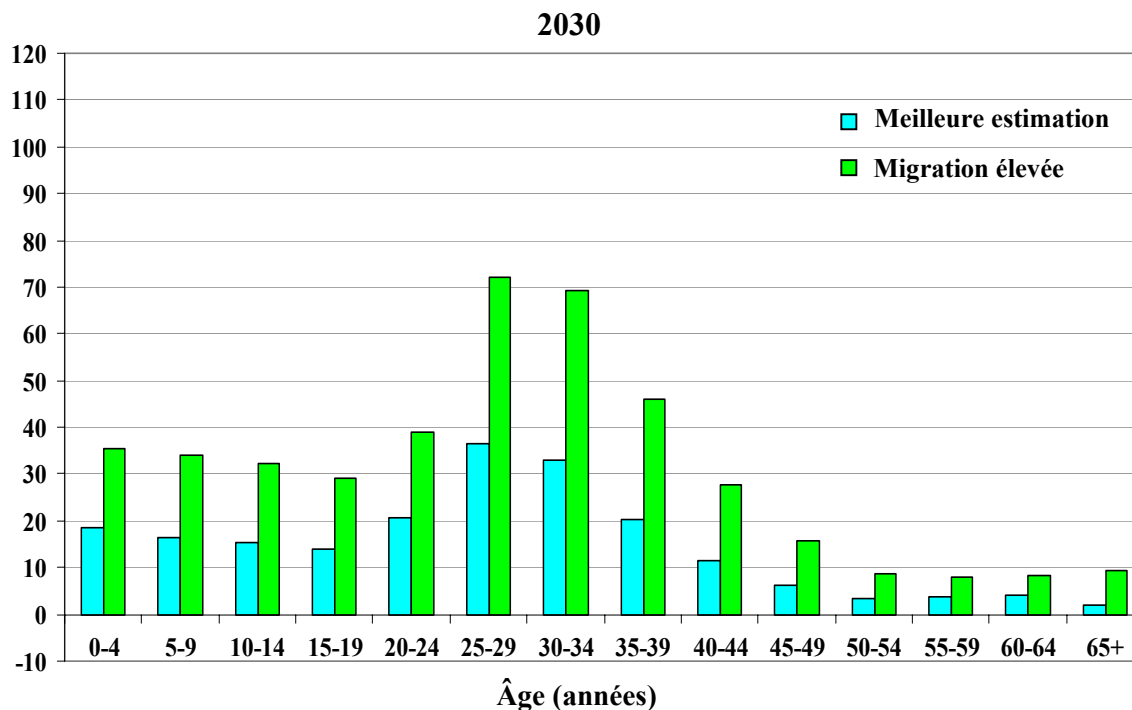


Tableau 32 Migration nette sous diverses hypothèses de migration

Hypothèse	Migrants nets
Faible migration	
2004	123 300
2010	0
2030	0
2075	0
Meilleure estimation	
2004	158 400
2010	166 300
2030	207 400
2075	238 100
Migration élevée	
2004	168 500
2010	337 200
2030	435 700
2075	684 900

Puisque les migrants sont généralement jeunes (en 2003, 84 % d'entre eux avaient moins de 40 ans), le niveau de migration peut avoir un impact significatif sur la taille de la population et sur sa composition selon l'âge. Dans le cas d'une migration nulle, la population croîtrait beaucoup plus lentement pour atteindre des niveaux inférieurs de 14 % en 2030 et de 43 % en 2075 à ceux de l'hypothèse basée sur la meilleure estimation (tableau 33). Cela représente de loin le plus important déclin de la population comparativement aux hypothèses de faible fécondité et de fécondité élevée. De plus, la population vieillit plus rapidement que sous les deux autres hypothèses parce que les migrants nets sont relativement plus jeunes que la population générale, ce qui freine le vieillissement de cette dernière. En leur absence, cet effet d'atténuation est éliminé. En 2075, la proportion des 65 ans et plus grimpe à 30 % et celle des 80 ans et plus, à 13 %.

Tableau 33 Population selon le groupe d'âge (en milliers) et proportions relatives sous diverses hypothèses de migration

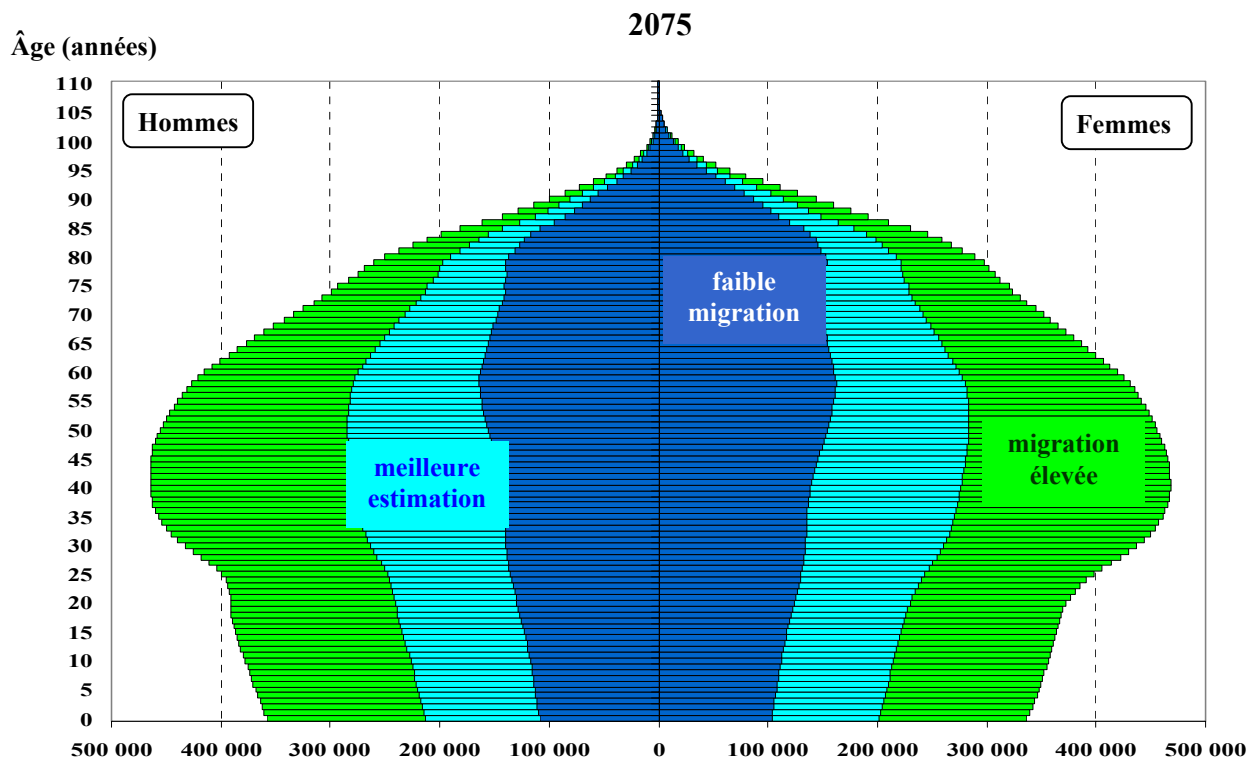
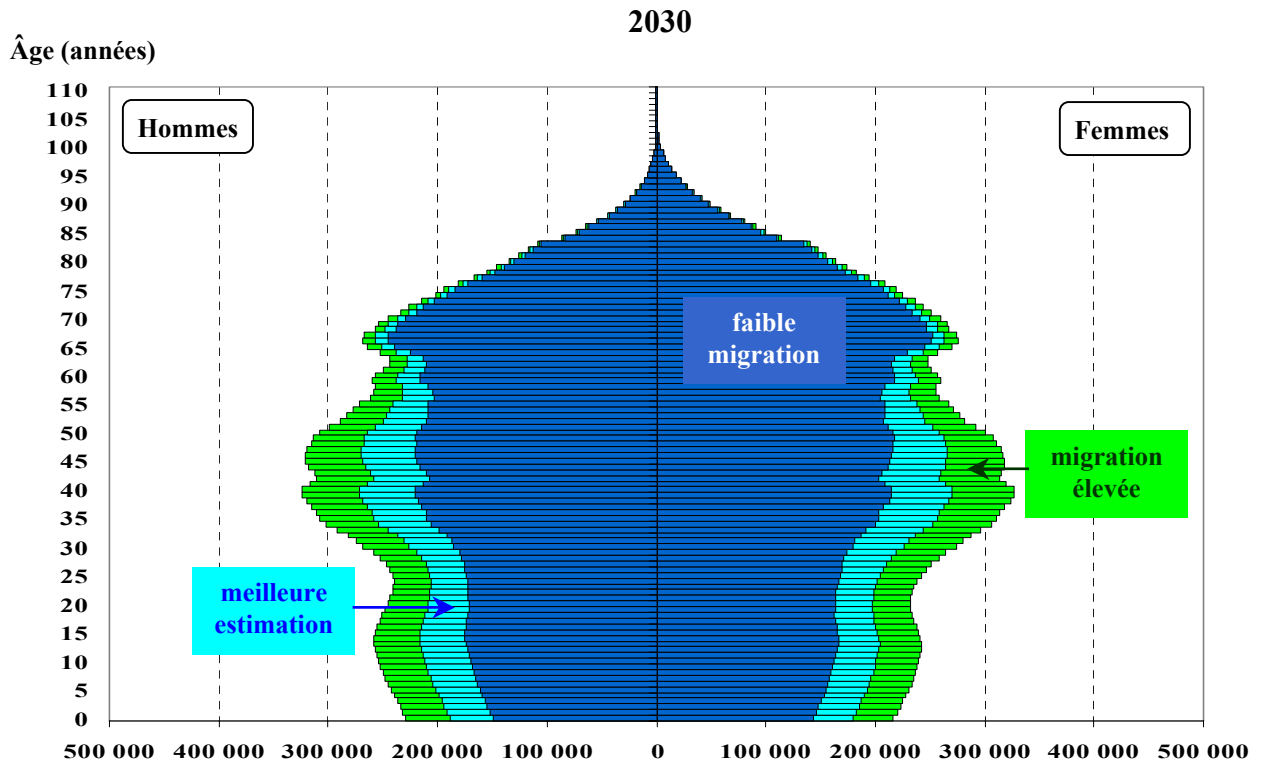
Année	Tous les âges	0-19		20-64		65 et plus		80 et plus	
2003	31 630	7 902	25,0 %	19 667	62,2 %	4 060	12,8 %	1 034	3,3 %
Faible migration									
2005	32 068	7 763	24,2 %	20 089	62,6 %	4 216	13,1 %	1 119	3,5 %
2010	32 742	7 368	22,5 %	20 628	63,0 %	4 746	14,5 %	1 304	4,0 %
2015	33 116	6 951	21,0 %	20 575	62,1 %	5 590	16,9 %	1 437	4,3 %
2020	33 379	6 758	20,2 %	20 072	60,1 %	6 549	19,6 %	1 552	4,7 %
2025	33 442	6 667	19,9 %	19 143	57,2 %	7 632	22,8 %	1 798	5,4 %
2030	33 243	6 511	19,6 %	18 112	54,5 %	8 620	25,9 %	2 252	6,8 %
2050	30 136	5 461	18,1 %	15 763	52,3 %	8 912	29,6 %	3 444	11,4 %
2075	25 382	4 593	18,1 %	13 121	51,7 %	7 668	30,2 %	3 226	12,7 %
Meilleure estimation									
2005	32 162	7 791	24,2 %	20 152	62,7 %	4 219	13,1 %	1 119	3,5 %
2010	33 482	7 595	22,7 %	21 120	63,1 %	4 767	14,2 %	1 306	3,9 %
2015	34 819	7 475	21,5 %	21 698	62,3 %	5 647	16,2 %	1 444	4,1 %
2020	36 202	7 619	21,0 %	21 928	60,6 %	6 655	18,4 %	1 566	4,3 %
2025	37 495	7 878	21,0 %	21 813	58,2 %	7 805	20,8 %	1 825	4,9 %
2030	38 608	8 056	20,9 %	21 659	56,1 %	8 894	23,0 %	2 297	5,9 %
2050	41 367	8 229	19,9 %	22 824	55,2 %	10 314	24,9 %	3 674	8,9 %
2075	44 274	8 811	19,9 %	24 242	54,8 %	11 220	25,3 %	4 305	9,7 %
Migration élevée									
2005	32 208	7 805	24,2 %	20 183	62,7 %	4 220	13,1 %	1 119	3,5 %
2010	34 135	7 795	22,8 %	21 555	63,1 %	4 786	14,0 %	1 308	3,8 %
2015	36 484	7 987	21,9 %	22 796	62,5 %	5 700	15,6 %	1 450	4,0 %
2020	38 987	8 472	21,7 %	23 758	60,9 %	6 757	17,3 %	1 580	4,1 %
2025	41 529	9 087	21,9 %	24 467	58,9 %	7 974	19,2 %	1 851	4,5 %
2030	44 038	9 629	21,9 %	25 246	57,3 %	9 162	20,8 %	2 342	5,3 %
2050	53 940	11 398	21,1 %	30 778	57,1 %	11 764	21,8 %	3 907	7,2 %
2075	69 187	14 621	21,1 %	39 225	56,7 %	15 341	22,2 %	5 488	7,9 %

L'hypothèse de migration nette de 1 % de la population peut être considérée comme étant élevée, surtout en raison de la concurrence que d'autres pays industrialisés de premier plan feront au Canada pour attirer des travailleurs spécialisés de l'étranger. D'après cette hypothèse, la population croît beaucoup plus rapidement pour atteindre des niveaux supérieurs de 14 % en 2030 et de 56 % en 2075 à ce que prévoit l'hypothèse basée sur la meilleure estimation. Cela représente la plus forte augmentation de la population par rapport aux hypothèses de fécondité élevée et de faible mortalité. De plus, la population vieillit plus lentement que sous les deux autres hypothèses. Il en est ainsi pour la même raison, mentionnée précédemment, concernant les migrants nets, soit le coup de frein qu'ils donnent au vieillissement de la population. En 2075, les 65 ans et plus interviennent pour 22 % de la population et les 80 ans et plus, pour 8 %.

Le graphique 24 compare la structure de la population par groupe d'âge en 2030 et en 2075 selon l'hypothèse basée sur la meilleure estimation, celle de migration nulle et celle de migration élevée. Le graphique 24 montre les différences entre les hypothèses

en ce qui touche la taille de la population et la concentration vers les âges plus jeunes ou plus élevés.

Graphique 24 Structure par âge de la population sous diverses hypothèses de migration



Sous l'hypothèse de faible migration (nulle), la population décroît et vieillit plus rapidement que selon l'hypothèse basée sur la meilleure estimation. Cela s'explique du fait que les migrants sont relativement plus jeunes que la population générale, de sorte que leur absence contribue de façon marquée à la diminution et au vieillissement de la population. Cet effet est largement perçu comme touchant la population en âge de travailler puisque le gonflement de la répartition selon l'âge sous l'hypothèse basée sur la meilleure estimation se dissipe essentiellement en 2075 selon l'hypothèse de migration nulle. Cet effet s'observe également par l'évolution des ratios de dépendance (Tableau 34). Le ratio de dépendance des jeunes chute à 35 jeunes par 100 travailleurs en 2075, ce qui est légèrement inférieur à l'hypothèse basée sur la meilleure estimation. Par comparaison, le ratio de dépendance des retraités augmente plus pour s'établir à 58 retraités par 100 travailleurs, ce qui est nettement plus élevé que ce que prévoit l'hypothèse basée sur la meilleure estimation. L'effet combiné des ratios des jeunes et des retraités produit un ratio de dépendance total de 93 jeunes et retraités par 100 travailleurs en 2075, ce qui est bien plus élevé que prévu sous l'hypothèse basée sur la meilleure estimation.

D'après l'hypothèse de migration élevée, la population croît de façon marquée et vieillit plus lentement que sous l'hypothèse basée sur la meilleure estimation. Le gonflement de la répartition autour de la population en âge de travailler devient beaucoup plus évident en 2075 d'après cette hypothèse comparativement à celle basée sur la meilleure estimation. Le ratio de dépendance des jeunes grimpe à 37 jeunes par 100 travailleurs en 2075, ce qui est légèrement plus élevé que celui prévu par l'hypothèse basée sur la meilleure estimation. Le ratio de dépendance des retraités augmente moins pour s'établir à seulement à 39 retraités par 100 travailleurs, ce qui est beaucoup plus faible que sous l'hypothèse basée sur la meilleure estimation. Il y a encore des augmentations appréciables chez les groupes d'âge avancé puisque la population continue de vieillir, ce qui compense l'effet d'une migration nette plus importante. Toutefois, ces hausses sont plus ténues que sous l'hypothèse de faible migration. L'effet combiné des ratios des jeunes et des retraités produit un ratio de dépendance total de 76 jeunes et retraités par 100 travailleurs en 2075, ce qui est beaucoup plus bas que prévu d'après l'hypothèse basée sur la meilleure estimation.

Tableau 34 Ratios de dépendances sous diverses hypothèses de migration
 (par 100 personnes en âge de travailler)

Année	Faible migration			Meilleure estimation			Migration élevée		
	0-19 à 20-64	65+ à 20-64	0-19 et 65+ à 20-64	0-19 à 20-64	65+ à 20-64	0-19 et 65+ à 20-64	0-19 à 20-64	65+ à 20-64	0-19 et 65+ à 20-64
2003	40	21	61	40	21	61	40	21	61
2005	39	21	60	39	21	60	39	21	60
2010	23	59	36	23	59	36	22	58	23
2020	33	66	35	30	65	36	28	64	33
2030	48	84	37	41	78	38	36	74	48
2050	35	57	91	36	45	81	37	38	75
2075	35	58	93	36	46	83	37	39	76

X. Annexes

A. Méthodologie

Notre démarche est la même que celle employée dans le 21^e rapport actuariel sur le RPC. À l'instar de ce dernier, nos projections couvrent une longue période, ce qui permet de bien évaluer l'impact à venir des tendances historiques et projetées des facteurs démographiques. Les estimations actuarielles contenues dans notre étude reposent sur des données initiales qui constituent le point de départ des projections, les hypothèses « basées sur la meilleure estimation » quant à la situation démographique future et une méthode permettant de transposer cette information en des estimations de la taille et de la composition à venir de la population.

La population du Canada au 1^{er} juillet 2003 sert de point de départ. Ce chiffre est ensuite projeté selon l'âge et le sexe d'une année à l'autre en ajoutant les naissances et les migrants nets et en soustrayant les décès. Le nombre de migrants nets représente l'excédent des immigrants sur les émigrants, tout en tenant compte de ceux qui émigrent mais reviennent éventuellement au Canada. L'application des hypothèses de fécondité, de mortalité et de migration basées sur la meilleure estimation à la population de départ permet de calculer le nombre annuel de naissances, de décès et de migrants nets.

B. Population du Canada projetée selon l'âge et le sexe, 2003-2075* (en milliers)

Groupe d'âge	Sexe	Année au 1 ^{er} juillet							
		2003	2005	2010	2015	2020	2025	2030	2035
0-4	Hommes	877,3	868,5	895,6	948,0	987,1	985,3	969,6	958,2
	Femmes	837,0	826,9	844,8	890,3	936,2	938,9	925,8	912,4
	Les deux sexes	1 714,3	1 695,3	1 740,4	1 838,3	1 923,3	1 924,1	1 895,4	1 870,6
5-9	Hommes	998,6	959,3	904,8	933,5	989,6	1 031,1	1 030,7	1 016,3
	Femmes	951,1	915,8	861,0	880,4	929,4	977,5	981,6	969,7
	Les deux sexes	1 949,7	1 875,1	1 765,8	1 813,9	1 919,0	2 008,6	2 012,3	1 986,0
10-14	Hommes	1 084,8	1 076,1	991,8	938,7	970,9	1 029,1	1 071,9	1 072,7
	Femmes	1 032,9	1 022,6	944,7	891,2	913,7	964,7	1 014,0	1 019,0
	Les deux sexes	2 117,6	2 098,7	1 936,5	1 829,9	1 884,6	1 993,8	2 085,9	2 091,7
15-19	Hommes	1 088,8	1 086,6	1 103,3	1 020,5	970,7	1 004,9	1 064,3	1 108,0
	Femmes	1 031,8	1 035,1	1 048,9	972,2	921,7	946,1	998,1	1 048,3
	Les deux sexes	2 120,5	2 121,7	2 152,2	1 992,7	1 892,4	1 951,0	2 062,4	2 156,3
20-24	Hommes	1 119,0	1 132,3	1 109,7	1 127,9	1 048,2	1 000,4	1 035,6	1 095,8
	Femmes	1 069,5	1 084,3	1 074,6	1 090,2	1 017,6	969,6	995,6	1 048,9
	Les deux sexes	2 188,5	2 216,6	2 184,4	2 218,0	2 065,8	1 970,0	2 031,2	2 144,7
25-29	Hommes	1 074,0	1 113,0	1 179,5	1 159,5	1 182,9	1 106,6	1 061,0	1 097,9
	Femmes	1 044,2	1 080,3	1 152,2	1 145,4	1 167,8	1 099,5	1 054,3	1 082,6
	Les deux sexes	2 118,1	2 193,3	2 331,6	2 304,9	2 350,7	2 206,1	2 115,3	2 180,5
30-34	Hommes	1 124,8	1 117,0	1 179,8	1 249,5	1 237,3	1 265,4	1 192,3	1 149,2
	Femmes	1 103,9	1 095,9	1 152,1	1 227,0	1 227,9	1 255,0	1 189,8	1 147,2
	Les deux sexes	2 228,7	2 212,9	2 331,9	2 476,5	2 465,1	2 520,5	2 382,1	2 296,5
35-39	Hommes	1 247,4	1 180,7	1 160,9	1 226,0	1 301,6	1 293,3	1 323,5	1 252,5
	Femmes	1 233,8	1 167,6	1 142,4	1 200,7	1 280,8	1 285,2	1 314,4	1 251,1
	Les deux sexes	2 481,2	2 348,2	2 303,3	2 426,7	2 582,4	2 578,5	2 637,9	2 503,5
40-44	Hommes	1 364,3	1 372,5	1 200,4	1 182,7	1 251,6	1 329,3	1 322,5	1 353,8
	Femmes	1 355,0	1 358,3	1 191,1	1 167,4	1 229,0	1 311,1	1 316,8	1 347,0
	Les deux sexes	2 719,3	2 730,8	2 391,5	2 350,1	2 480,6	2 640,5	2 639,3	2 700,8
45-49	Hommes	1 251,6	1 304,7	1 377,6	1 208,8	1 194,3	1 264,6	1 342,9	1 337,0
	Femmes	1 264,2	1 309,0	1 363,5	1 198,4	1 177,0	1 239,6	1 322,1	1 328,5
	Les deux sexes	2 515,7	2 613,8	2 741,2	2 407,2	2 371,3	2 504,3	2 665,0	2 665,5
50-54	Hommes	1 078,8	1 138,7	1 293,3	1 367,1	1 202,7	1 189,7	1 260,1	1 338,2
	Femmes	1 097,7	1 162,8	1 303,7	1 358,8	1 196,8	1 176,6	1 239,4	1 321,7
	Les deux sexes	2 176,5	2 301,5	2 597,0	2 725,9	2 399,5	2 366,3	2 499,5	2 659,9
55-59	Hommes	913,9	997,0	1 117,1	1 271,3	1 346,3	1 186,7	1 174,9	1 245,0
	Femmes	928,5	1 017,8	1 153,4	1 293,7	1 349,9	1 191,4	1 172,3	1 235,1
	Les deux sexes	1 842,5	2 014,8	2 270,5	2 564,9	2 696,2	2 378,1	2 347,3	2 480,1
60-64	Hommes	684,8	746,8	966,5	1 086,8	1 239,8	1 315,1	1 161,5	1 151,4
	Femmes	712,0	773,1	1 002,5	1 137,1	1 276,7	1 333,4	1 179,3	1 161,6
	Les deux sexes	1 396,8	1 520,0	1 969,1	2 223,9	2 516,4	2 648,4	2 340,8	2 313,0
65-69	Hommes	552,2	575,0	705,4	917,4	1 035,9	1 184,4	1 257,8	1 113,4
	Femmes	595,7	619,4	749,3	972,2	1 104,5	1 241,1	1 297,1	1 149,4
	Les deux sexes	1 147,9	1 194,4	1 454,7	1 889,6	2 140,4	2 425,5	2 555,0	2 262,8
70-74	Hommes	484,2	487,7	517,7	641,0	838,6	950,9	1 089,4	1 158,8
	Femmes	554,9	554,1	582,6	706,6	918,5	1 045,3	1 175,8	1 230,2
	Les deux sexes	1 039,1	1 041,7	1 100,3	1 347,6	1 757,1	1 996,1	2 265,2	2 389,0
75-79	Hommes	358,8	377,6	408,3	439,6	549,9	723,5	823,6	946,6
	Femmes	480,7	485,9	497,5	526,2	640,9	835,3	952,7	1 073,7
	Les deux sexes	839,4	863,5	905,8	965,8	1 190,8	1 558,7	1 776,3	2 020,3
80-84	Hommes	221,6	241,2	280,0	307,4	335,9	424,6	562,0	643,9
	Femmes	362,0	383,5	400,5	413,1	440,5	539,8	706,2	808,8
	Les deux sexes	583,7	624,7	680,5	720,5	776,4	964,4	1 268,2	1 452,7
85-89	Hommes	97,2	108,2	145,4	171,4	190,1	210,9	269,9	360,4
	Femmes	199,7	215,8	268,5	282,2	292,9	315,5	390,0	513,5
	Les deux sexes	297,0	324,0	413,9	453,6	483,0	526,4	659,9	873,9
90+	Hommes	39,8	45,3	58,8	79,0	96,6	110,4	125,6	160,0
	Femmes	113,3	125,2	153,2	190,5	210,5	223,5	243,4	295,7
	Les deux sexes	153,1	170,5	212,0	269,5	307,0	333,9	369,0	455,8
0-19	Hommes	4 049,4	3 990,5	3 895,5	3 840,7	3 918,3	4 050,4	4 136,5	4 155,2
	Femmes	3 852,8	3 800,3	3 699,4	3 634,1	3 701,1	3 827,2	3 919,5	3 949,4
	Les deux sexes	7 902,2	7 790,9	7 594,9	7 474,8	7 619,3	7 877,5	8 056,0	8 104,7
20-39	Hommes	4 565,2	4 543,0	4 629,8	4 762,9	4 770,0	4 665,7	4 612,5	4 595,5
	Femmes	4 451,3	4 428,0	4 521,3	4 663,2	4 694,0	4 609,4	4 554,2	4 529,8
	Les deux sexes	9 016,5	8 971,0	9 151,1	9 426,1	9 464,0	9 275,1	9 166,6	9 125,2
40-59	Hommes	4 608,6	4 812,9	4 988,4	5 029,8	4 994,9	4 970,4	5 100,4	5 274,1
	Femmes	4 645,4	4 848,0	5 011,7	5 018,3	4 952,7	4 918,8	5 050,7	5 232,3
	Les deux sexes	9 254,0	9 660,9	10 000,1	10 048,1	9 947,5	9 889,2	10 151,1	10 506,3
60-79	Hommes	2 079,9	2 187,1	2 597,9	3 084,8	3 664,1	4 173,9	4 332,4	4 370,1
	Femmes	2 343,3	2 432,5	2 831,9	3 342,1	3 940,6	4 455,0	4 604,9	4 614,9
	Les deux sexes	4 423,2	4 619,6	5 429,8	6 426,8	7 604,7	8 628,8	8 937,3	8 985,1
80+	Hommes	358,6	394,7	484,3	557,8	622,6	745,9	957,5	1 164,3
	Femmes	675,1	724,5	822,2	885,8	943,9	1 078,8	1 339,6	1 618,1
	Les deux sexes	1 033,7	1 119,2	1 306,5	1 443,6	1 566,4	1 824,6	2 297,1	2 782,4
Tous les âges	Hommes	15 661,7	15 928,2	16 595,9	17 276,0	17 969,8	18 606,2	19 139,3	19 559,2
	Femmes	15 967,9	16 233,4	16 886,5	17 543,5	18 232,2	18 889,1	19 468,8	19 944,5
	Les deux sexes	31 629,7	32 161,6	33 482,4	34 819,5	36 202,1	37 495,2	38 608,1	39 503,7

* Les projections sont basées sur des estimés de la population au 1^{er} juillet 2003.

B. Population du Canada projetée selon l'âge et le sexe, 2003-2075* (en milliers)

Groupe d'âge	Sexe	Année au 1 ^{er} juillet							
		2040	2045	2050	2055	2060	2065	2070	2075
0-4	Hommes	970,6	999,7	1 027,8	1 042,3	1 046,0	1 049,1	1 059,6	1 078,1
	Femmes	919,4	945,1	973,2	989,8	994,6	996,9	1 005,2	1 021,6
	Les deux sexes	1 890,1	1 944,8	2 001,0	2 032,1	2 040,6	2 046,0	2 064,8	2 099,7
5-9	Hommes	1 005,9	1 019,1	1 048,8	1 077,7	1 092,8	1 097,2	1 101,0	1 112,3
	Femmes	957,3	965,0	991,3	1 020,1	1 037,3	1 042,8	1 045,8	1 054,8
	Les deux sexes	1 963,2	1 984,1	2 040,2	2 097,7	2 130,2	2 140,0	2 146,8	2 167,1
10-14	Hommes	1 059,1	1 049,5	1 063,3	1 093,6	1 123,1	1 138,9	1 143,9	1 148,4
	Femmes	1 007,9	996,1	1 004,4	1 031,3	1 060,5	1 078,4	1 084,4	1 088,0
	Les deux sexes	2 067,0	2 045,6	2 067,7	2 124,9	2 183,6	2 217,3	2 228,3	2 236,4
15-19	Hommes	1 109,6	1 096,7	1 087,7	1 102,1	1 132,9	1 162,9	1 179,3	1 185,0
	Femmes	1 054,1	1 043,6	1 032,3	1 041,2	1 068,5	1 098,3	1 116,7	1 123,3
	Les deux sexes	2 163,7	2 140,3	2 120,0	2 143,2	2 201,5	2 261,2	2 296,0	2 308,3
20-24	Hommes	1 140,3	1 142,5	1 130,2	1 121,8	1 136,7	1 168,1	1 198,7	1 215,6
	Femmes	1 100,1	1 106,8	1 097,1	1 086,6	1 096,2	1 124,3	1 154,9	1 174,1
	Les deux sexes	2 240,4	2 249,3	2 227,4	2 208,4	2 232,9	2 292,5	2 353,6	2 389,8
25-29	Hommes	1 159,4	1 204,9	1 208,2	1 196,9	1 189,5	1 205,4	1 237,9	1 269,4
	Femmes	1 137,7	1 190,3	1 198,3	1 189,9	1 180,7	1 191,6	1 221,1	1 253,1
	Les deux sexes	2 297,1	2 395,2	2 406,5	2 386,8	2 370,2	2 397,1	2 459,0	2 522,5
30-34	Hommes	1 188,1	1 251,0	1 297,9	1 302,5	1 292,6	1 286,7	1 304,1	1 337,9
	Femmes	1 177,4	1 234,1	1 288,1	1 297,4	1 290,4	1 282,7	1 295,1	1 326,0
	Les deux sexes	2 365,5	2 485,1	2 585,9	2 599,9	2 583,1	2 569,4	2 599,2	2 664,0
35-39	Hommes	1 211,0	1 250,9	1 314,8	1 362,5	1 368,2	1 359,5	1 354,6	1 373,1
	Femmes	1 210,0	1 241,2	1 298,8	1 353,7	1 364,0	1 358,1	1 351,4	1 364,8
	Les deux sexes	2 421,0	2 492,2	2 613,6	2 716,2	2 732,2	2 717,5	2 706,0	2 737,9
40-44	Hommes	1 284,0	1 243,6	1 284,1	1 348,4	1 396,7	1 403,1	1 395,1	1 391,0
	Femmes	1 284,8	1 244,6	1 276,5	1 334,5	1 389,9	1 400,9	1 395,6	1 389,7
	Les deux sexes	2 568,8	2 488,2	2 560,5	2 682,9	2 786,6	2 803,9	2 790,8	2 780,7
45-49	Hommes	1 368,9	1 300,3	1 260,8	1 301,7	1 366,2	1 414,9	1 421,9	1 414,6
	Femmes	1 359,1	1 297,7	1 258,2	1 290,3	1 348,6	1 404,2	1 415,5	1 410,8
	Les deux sexes	2 728,0	2 598,0	2 518,9	2 592,0	2 714,8	2 819,0	2 837,4	2 825,4
50-54	Hommes	1 333,1	1 365,2	1 297,9	1 259,3	1 300,4	1 364,9	1 413,6	1 421,1
	Femmes	1 328,5	1 359,3	1 298,8	1 259,9	1 292,3	1 350,5	1 406,2	1 417,8
	Les deux sexes	2 661,6	2 724,6	2 596,7	2 519,3	2 592,6	2 715,4	2 819,8	2 838,9
55-59	Hommes	1 322,6	1 318,4	1 350,7	1 285,1	1 247,9	1 289,0	1 353,3	1 402,1
	Femmes	1 317,0	1 324,4	1 355,4	1 296,1	1 258,3	1 290,8	1 349,0	1 404,6
	Les deux sexes	2 639,6	2 642,8	2 706,1	2 581,2	2 506,2	2 579,9	2 702,4	2 806,8
60-64	Hommes	1 221,0	1 297,7	1 294,8	1 327,4	1 264,4	1 229,2	1 270,5	1 334,5
	Femmes	1 224,1	1 305,3	1 313,4	1 344,6	1 287,1	1 250,8	1 283,6	1 341,6
	Les deux sexes	2 445,0	2 602,9	2 608,1	2 672,0	2 551,5	2 480,0	2 554,0	2 676,1
65-69	Hommes	1 105,4	1 173,7	1 248,5	1 247,4	1 280,1	1 221,0	1 188,9	1 230,1
	Femmes	1 133,5	1 195,3	1 275,0	1 284,1	1 315,4	1 260,6	1 226,4	1 259,3
	Les deux sexes	2 238,8	2 369,0	2 523,5	2 531,4	2 595,4	2 481,6	2 415,3	2 489,4
70-74	Hommes	1 028,1	1 022,9	1 088,6	1 159,8	1 161,1	1 193,4	1 140,5	1 112,8
	Femmes	1 092,2	1 078,7	1 139,1	1 216,2	1 226,5	1 257,7	1 206,9	1 176,0
	Les deux sexes	2 120,3	2 101,6	2 227,7	2 376,0	2 387,6	2 451,2	2 347,4	2 288,7
75-79	Hommes	1 009,6	899,0	897,6	958,8	1 024,3	1 028,8	1 060,3	1 016,2
	Femmes	1 125,5	1 001,6	991,6	1 049,7	1 122,7	1 134,6	1 165,5	1 120,6
	Les deux sexes	2 135,1	1 900,6	1 889,2	2 008,5	2 147,0	2 163,4	2 225,8	2 136,8
80-84	Hommes	744,0	797,2	713,9	717,1	771,1	827,7	835,9	865,4
	Femmes	914,6	961,6	859,1	854,0	908,0	974,1	988,2	1 018,1
	Les deux sexes	1 658,6	1 758,8	1 573,0	1 571,1	1 679,1	1 801,8	1 824,1	1 883,5
85-89	Hommes	417,2	486,3	524,7	474,2	481,0	522,8	565,3	576,2
	Femmes	592,3	673,6	711,8	640,0	640,7	686,6	740,3	756,0
	Les deux sexes	1 009,6	1 159,9	1 236,4	1 114,3	1 121,6	1 209,4	1 305,7	1 332,1
90+	Hommes	215,8	262,8	313,4	351,0	340,8	344,6	374,6	413,0
	Femmes	388,3	471,4	551,0	605,8	587,9	584,7	620,8	676,9
	Les deux sexes	604,1	734,2	864,4	956,7	928,7	929,4	995,4	1 089,9
0-19	Hommes	4 145,3	4 165,0	4 227,7	4 315,7	4 394,8	4 448,1	4 483,8	4 523,8
	Femmes	3 938,7	3 949,8	4 001,3	4 082,3	4 161,0	4 216,4	4 252,1	4 287,7
	Les deux sexes	8 083,9	8 114,8	8 228,9	8 398,0	8 555,8	8 664,5	8 736,0	8 811,5
20-39	Hommes	4 698,7	4 849,4	4 951,0	4 983,7	4 987,0	5 019,7	5 092,5	5 196,1
	Femmes	4 625,2	4 772,4	4 882,3	4 927,6	4 931,3	4 956,7	5 022,5	5 118,0
	Les deux sexes	9 323,9	9 621,7	9 833,3	9 911,3	9 918,4	9 976,4	10 117,7	10 314,1
40-59	Hommes	5 308,6	5 227,5	5 193,5	5 194,5	5 311,1	5 471,8	5 584,0	5 628,9
	Femmes	5 289,5	5 226,1	5 188,8	5 180,9	5 289,0	5 446,4	5 566,4	5 622,9
	Les deux sexes	10 598,1	10 453,5	10 382,3	10 375,3	10 600,2	10 918,2	11 150,3	11 251,8
60-79	Hommes	4 364,1	4 393,2	4 529,4	4 693,3	4 729,9	4 672,5	4 660,2	4 693,5
	Femmes	4 575,2	4 580,8	4 719,1	4 894,5	4 951,7	4 903,7	4 882,4	4 897,6
	Les deux sexes	8 939,3	8 974,1	9 248,5	9 587,9	9 681,6	9 576,2	9 542,6	9 591,1
80+	Hommes	1 377,0	1 546,2	1 551,9	1 542,3	1 592,9	1 695,1	1 775,8	1 854,5
	Femmes	1 895,3	2 106,6	2 121,9	2 099,8	2 136,6	2 245,5	2 349,3	2 451,0
	Les deux sexes	3 272,2	3 652,8	3 673,8	3 642,1	3 729,5	3 940,6	4 125,2	4 305,5
Tous les âges	Hommes	19 893,7	20 181,3	20 453,5	20 729,5	21 015,7	21 307,2	21 599,0	21 896,7
	Femmes	20 323,7	20 635,7	20 913,3	21 185,1	21 469,7	21 768,7	22 072,8	22 377,2
	Les deux sexes	40 217,4	40 817,0	41 366,8	41 914,7	42 485,4	43 075,9	43 671,8	44 273,9

* Les projections sont basées sur des estimés de la population au 1^{er} juillet 2003.

C. Accès aux données

Les projections détaillées de la population canadienne selon l'âge et le sexe pour la période de 2003 à 2075 sont disponibles au format Microsoft Excel 2000. Le fichier Excel est disponible en français et en anglais aux adresses suivantes :

http://www.osfi-bsif.gc.ca/app/DocRepository/1/fra/bac/etudes/popcdn_f.xls

http://www.osfi-bsif.gc.ca/app/DocRepository/1/eng/oca/studies/popcdn_e.xls

Le Bureau de l'actuaire en chef apprécierait d'être informé de toute utilisation de ce fichier dans le cadre d'études ultérieures.

D. Bibliographie

Canada. BSIF. Bureau de l'actuaire en chef. *Vingt et unième rapport actuariel sur le Régime de pensions du Canada au 31 décembre 2003*.

Canada. BSIF. Bureau de l'actuaire en chef. *Régime de pensions du Canada – Étude de mortalité*, étude actuarielle n° 3, 2003.

Canada. Statistique Canada. *Tables de mortalité, Canada, provinces et territoires, 1995-1997*.

Canada. Statistique Canada. Recensement de 2001.

Royaume-Uni. "Government Actuary's Department". *"National Population Projections, 2002-Based"*, 2004.

États-Unis. "Social Security Administration. Office of the Chief Actuary". *"Social Security Area Population Projections: 1997"*, Actuarial Study No. 112", 1997.

États-Unis. "Social Security Administration. Office of the Chief Actuary". *"Life Tables for the United States Social Security Area 1900-2100"*, Actuarial Study No. 116", 2002.

"United Nations Population Division. *World Population Prospects: The 2004 Revision Population Database*", 2005.

E. Remerciements

Les personnes suivantes ont participé à l'élaboration de la présente étude :

Patrick Dontigny

Sari Harrel, A.S.A.

Lyse-Ann Lacourse

Jean-Claude Ménard, F.S.A., F.I.C.A.

Michel Millette, F.S.A., F.I.C.A.

Michel Montambeault, F.S.A., F.I.C.A.